

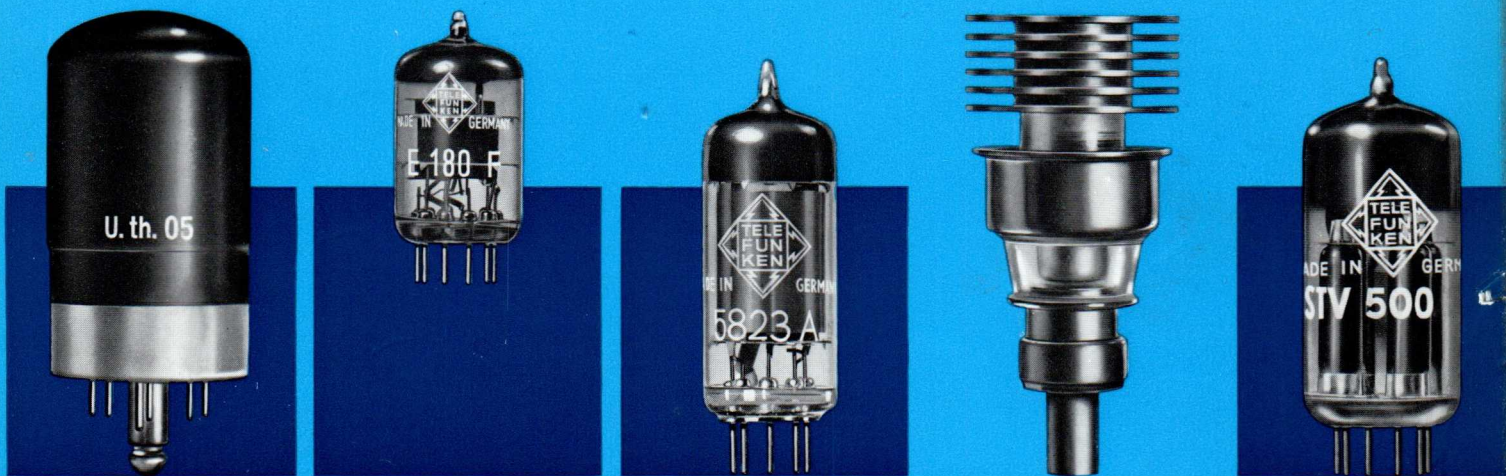


Spezialröhren

Mikrowellen-Röhren
Oszillographen-Röhren
Gasentladungs-Röhren
Photozellen
Langlebensdauer-Röhren
Senderöhren
Vakuum-Kondensatoren

Special tubes

Micro wave tubes
Cathode-ray tubes
Gas-filled tubes
Photo tubes
Special tubes
Transmitting tubes
Vacuum condensers



1960

TELEFUNKEN

14
1880
1881
1882
1883
1884
1885
1886
1887
1888
1889
1890
1891
1892
1893
1894
1895
1896
1897
1898
1899
1900



COMPAGNIE FRANÇAISE
TELEFUNKEN
37, Rue de la Chine, PARIS-XX^e
Téléph. : PYRÉNÉES 05-19 +

Die in diesem Spezialröhren-Prospekt aufgeführten technischen Daten sollen der raschen Orientierung dienen. Damit die erforderliche Übersichtlichkeit erhalten bleibt, werden nur die wesentlichen Angaben gebracht. Deshalb bitten wir, für die Entwicklung und Konstruktion von Geräten und Anlagen nur unsere neuesten verbindlichen Datenblätter zugrunde zu legen. Sie sind in unseren Handbüchern enthalten, die durch Nachträge stets auf den neuesten Stand ergänzt werden. Datenblätter für einzelne Typen senden wir Ihnen auf Wunsch gern zu.

Röhren, die für Erstbestückung von Geräten und Anlagen verwendet werden, sind durch Fettdruck hervorgehoben.

Wir gewähren für die in dieser Röhrenübersicht enthaltenen Spezialröhren eine **Garantie**, die je nach Röhrentype und Anwendungszweck individuell gehandhabt wird.

Diese Garantie wird entweder als Zeitgarantie, unabhängig von den geleisteten Brennstunden, oder als Brennstundengarantie gegeben.

Jeder Röhre wird entsprechend ihrem Anwendungszweck eine Garantiekarte beigelegt. Wir bitten deshalb, bei Röhrenanforderungen uns den Verwendungszweck der Röhren anzugeben, damit die dazugehörige Garantiekarte ausgestellt werden kann.

Wir bitten Sie, die Einzelheiten des Garantiesystems unseren ausführlichen Gewährleistungsbedingungen zu entnehmen, die Ihnen auf Wunsch zur Verfügung stehen.

Unsere technische Abteilung ist bereit, Sie in speziellen Fragen zu beraten.

TELEFUNKEN

G · M · B · H

GESCHÄFTSBEREICH RÖHREN

VERTRIEB

COMPAGNIE FRANÇAISE
TELEFUNKEN
37, Rue de la Chine, PARIS-XX^e
Téléph. : PYRÉNÉES 05-19 +

Herausgeber:

TELEFUNKEN G·M·B·H

Geschäftsbereich Röhren · Vertrieb

Ulm/Donau, Söflinger Straße 100

Copyright 1960 by TELEFUNKEN G·M·B·H, Ulm/Donau · Druck: Brüder Hartmann, Berlin

Printed in Western Germany · Für Lieferung unverbindlich

INHALT

Inhalt nach Typen	4
Die 5 Punkte der TELEFUNKEN-Spezialröhren	6
Spezialröhren	7
Oszillographen-Röhren	27
Schlüssel für Typenbezeichnung	27
Schirmübersicht	27
Klein-Thyratrons	40
Kaltkathoden-Röhren	41
Photozellen	42
Spannungs-Stabilisator-Röhren	45
Scheibenröhren	47
Reflexklystrons	48
Wanderfeld-Röhren	50
Magnetrons	51
Senderöhren	52
Vakuum-Kondensatoren	64
Äquivalenz- und Austauschliste	65
Kurzzeichen	67
für Elektrodenanschlüsse	67
für Spannungen	67
für Ströme	68
für Widerstände	69
für Leistungen	70
Sonstige Kurzzeichen	70
Abmessungen	71
DIN-Bezeichnungen zu den Röhren-Abbildungen	72

CONTENTS

Summary of the types	4
The 5 Points of TELEFUNKEN "Special tubes"	6
Special tubes	7
Cathode-ray tubes	27
Code for tube designation	27
List of screens most commonly used	27
Small thyratrons	40
Cold-cathode tubes	41
Photo tubes	42
Voltage regulator tubes	45
Lighthouse tubes	47
Reflexklystrons	48
Travelling wave tubes	50
Magnetrons	51
Transmitting tubes	52
Vacuum capacitors	64
Equivalent types	65
Symbols	67
for electrodes	67
for voltages	67
for current values	68
for resistances	69
for power values	70
Other symbols	70
Outlines	71
DIN-denotation of the tubes figures	72



TELEFUNKEN

INHALT NACH TYPEN • SUMMARY OF THE TYPES

AC 701	7	DN 18-14	36
AP 43-80	29	DNM 10-12	36
AP 53-80	29	DNM 10-14	37
C 3 m	7	DNM 13-14	37
CC α	10	DNM 16-12	38
D 3 α	7	DNM 16-14	39
DB 7-12 C	30	DP 7-12 C	30
DB 7-14	31	DP 7-14	31
DB 10-14	32	DP 10-14	32
DB 10-18	33	DP 10-18	33
DB 10-54	33	DP 10-54	33
DB 13-12	34	DP 13-14	34
DB 13-14	34	DP 13-54	35
DB 13-18	34	DP 18-14	36
DB 13-54	35	DPM 10-12	36
DB 13-58	35	DPM 10-14	37
DB 18-14	36	DPM 13-14	37
DBM 10-12	36	DPM 16-14	39
DBM 10-14	37	E 80 CF	9
DBM 13-14	37	E 88 CC	10
DBM 13-34	38	E 90 CC	10
DBM 16-12	38	E 92 CC	10
DBM 16-14	39	E 180 F	11
DF 703	8	E 280 F	11
DF 904	8	EAA 901 S	11
DF 906	8	EC 806 S	12
DG 3-12 A	30	EC 903	12
DG 7-12 C	30	ECC 801 S	12
DG 7-14	31	ECC 802 S	13
DG 7-52 A	31	ECC 803 S	13
DG 7-74 A	32	EF 800	13
DG 10-14	32	EF 802	14
DG 10-18	33	EF 804	14
DG 10-54	33	EF 804 S	14
DG 13-14	34	EF 805 S	15
DG 13-18	34	EF 806 S	15
DG 13-54	35	EH 900 S	15
DG 13-58	35	EL 34	16
DG 18-14	36	EL 152	16
DGM 10-12	36	EL 153	17
DGM 10-14	37	EL 156	17
DGM 13-14	37	EL 803	17
DGM 16-12	38	EL 803 S	18
DGM 16-14	39	EL 804	18
DL 907	9	EMM 801	18
DN 7-12 C	30	EZ 150	19
DN 7-14	31	FL 152	19
DN 10-14	32	FZ 11 GH	42
DN 10-18	33	FZ 11 GS	42
DN 10-54	33	FZ 11 VH	42
DN 13-14	34	FZ 11 VS	42
DN 13-18	34	FZ 12 GH	44
DN 13-54	35	FZ 12 GS	44
DN 13-58	35	FZ 12 VH	44



This list is up to date for all the types we are interested in
 (See item 19 64/62)

INHALT NACH TYPEN • SUMMARY OF THE TYPES

FZ 12 VS	44
FZ 21 GS	42
FZ 21 VS	43
FZ 9011 G	43
FZ 9011 V	43
FZ 9012 G	44
FZ 9012 V	44
IM 1	19
IM 5	20
IM 8	20
MF 13-39 / MP 13-39	39
MG 8	51
MG 20	51
MG 2000	51
RFG 5	20
RG 62 D	20
RG 105	21
RK 25	64
RK 50	64
RK 100	64
RK 200	64
RK 500	64
RK 1000	64
RS 285	52
RS 520	52
RS 522	52
RS 523	53
RS 526	53
RS 533	53
RS 565	54
RS 567	54
RS 607	54
RS 614	55
RS 630	55
RS 631	55
RS 635	56
RS 684	56
RS 685	56
RS 686	57
RS 687	57
RS 720	58
RS 722	58
RS 723	58
RS 726	59
RS 732	59
RS 733	59
RS 770	60
RS 782	60
RS 822	60
RS 823	61
RS 826	61
RS 833	61
RS 865	62
RS 867	62

RS 870	62
RS 873	63
RS 876	63
STV 70/6	45
STV 75/15	45
STV 85/8	45
STV 85/10	45
STV 100/25 Z II	45
STV 100/60 Z II	45
STV 108/30	45
STV 150/15	46
STV 150/20	46
STV 150/30	46
STV 150/60	46
STV 150/60 E	46
STV 500/0,1	46
T 113	21
T 116	21
TA 40	47
TK 6	48
TK 8	48
TK 76	48
TL 4	50
TL 6	50
OA 2	46
OA 4 G	41
OB 2	45
OG 3	45
1 A 3	22
1 AD 4	22
2 C 39 A	47
2 C 39 BA	47
2 C 40	47
2 D 21	40
2 K 25	49
3 ARP 1	32
6 AK 5 W	22
6 AQ 5 W	24
723 A/B	49
5654	22
5672	23
5676	23
5678	23
5696	40
5823	41
5823 A	41
5965	24
6005	24
6080	24
6211	25
6397	25
6397 spez.	25
6463	26
7561	26



Die 5 Punkte der TELEFUNKEN-Spezialröhren

Eine große Anzahl von Spezialröhren-Typen wird in Geräten für besondere Anwendungszwecke, z. B. in der Weitverkehrstechnik, in Rechenmaschinen usw. eingesetzt. Um den hier vorkommenden harten Betriebsbedingungen gerecht zu werden, müssen diese Röhren speziellen Fertigungs- und Prüfverfahren unterworfen werden. Die dadurch gewonnenen zusätzlichen Eigenschaften sind durch die „5 Punkte“ gekennzeichnet.

Zuverlässigkeit

Der P-Faktor gibt an, wie groß der Röhrenausfall in Promille je 1000 Std. werden kann. Er liegt bei ca. 1,5‰/1000 je 1000 Std.

Lange Lebensdauer

Für diese Röhre wird eine Lebensdauer von 10000 Std., gemittelt über 100 Röhren, garantiert.

Enge Toleranzen

Bei dieser Röhre sind Streuungen der elektrischen Werte gegenüber Rundfunkröhren eingengt. (Siehe „Allgemeine Daten“.)

Stoß- und Vibrationsfestigkeit

Die Röhre kann Beschleunigungen bis 2,5 g bei 50 Hz längere Zeit sowie Stoßbeschleunigungen bis 500 g kurzzeitig aushalten.

Zwischenschichtfreie Spezialekathode

Die Spezialekathode dieser Röhre schließt das Entstehen einer störenden Zwischenschicht selbst dann aus, wenn sie längere Zeit bei eingeschalteter Heizung ohne Stromentnahme betrieben wird.

Ein einwandfreier Betrieb der Röhren ist nur dann gewährleistet, wenn die Grenzwerte und die Heizspannungstoleranzen eingehalten werden.

The 5 Points of TELEFUNKEN "Special tubes"

Special tube types are mainly used in equipment for special purposes, i.e. in telecommunication and computers. To be reliable at rough operation conditions these tubes are manufactured thoroughly and specially checked. The following "5 Points" show the additional qualities of the tubes manufactured in this manner.



Reliability

The factor P shows how many of 1,000 tubes fail during an operating time of 1,000 hours. It is 1.5‰/1000 for each 1,000 hours.



Long life

10,000 hours of operation time are guaranteed for an average of 100 tubes.



Tight tolerances

In these tubes the tolerances of the electrical values are reduced in comparison with radio tubes. (See "General data".)



Vibration and shock proofed

The tube withstands accelerations of 2.5 g at 50 c/s for a lengthy period and instantaneous shocks of 500 g.



Cathode free from interface

The cathode establishes no interface even in the cases where the heated tube is operated without plate current.

To provide satisfactory performance of the tubes the maximum ratings and the tolerances of the filament voltages should not be exceeded.

Spezialröhren · Special tubes

Type · Anwendung
Type · Application

Allgemeine Daten
General data

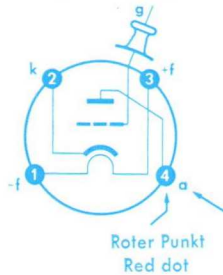
Betriebswerte
Typical operation

Kapazitäten
Capacitances

Grenzwerte
Maximum ratings

AC 701

Triode für
Mikrofon-Verstärker
Triode for
microphone amplifier



Submin
Größe 21 · Outlines 21

$U_f = 4 \text{ V}$
 $I_f \text{ ca. } 100 \text{ mA}$
indirekt geheizt
indirectly heated
by DC
 $U_a = 40 \text{ V}$
 $U_g = 0 \text{ V}$
 $I_a = 4,2 \text{ mA}$
 $S = 3,2 \text{ mA/V}$
 $\mu = 23$
 $U_a = 60 \text{ V}$
 $U_g = -1,6 \text{ V}$
 $I_a = 2,6 \text{ mA}$
 $S = 2,8 \text{ mA/V}$
 $\mu = 23$
 $I_g \leq -10^{-10} \text{ A}$

$U_b = 120 \text{ V}$
 $R_{a=} = 50 \text{ k}\Omega$
 $R_{a=} = 200 \text{ k}\Omega$
 $U_g = -1,6 - 1,6 \text{ V}$
 $R_g = 150 \text{ k}\Omega$
 $C_g = 50 \text{ pF}$
 $I_a = 1,35 \text{ mA}$
 $I_a = 0,39 \text{ mA}$
 $U_{g\sim} = 0,6 \text{ V}$
 $V_{\sim} = 9 \text{ V}$
 $k = 0,4$
 $U_{Grsp}^1) \leq 6 \mu\text{V}$
 $U_{Frsp}^2) \leq 14 \mu\text{V}$

ohne äußere Abschirmung
without external shield
 $c_e = 2 \text{ pF}$
 $c_a = 1,5 \text{ pF}$
 $c_{g1a} = 2,2 \text{ pF}$

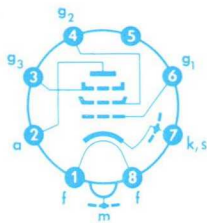
$U_{ao} = 250 \text{ V}$
 $U_a = 120 \text{ V}$
 $N_a = 0,5 \text{ W}$
 $I_k = 5 \text{ mA}$
 $R_g = 180 \text{ M}\Omega$
 $U_{fk} = \pm 100 \text{ V}$
 $R_{fk} = 20 \text{ k}\Omega$

- 1) Die Geräuschspannung ist auf das Gitter der Röhre bezogen und mit einem Geräuschspitzenmessgerät mit eingeschaltetem Ohrfilter nach CCIR-Norm 1949 gemessen.
The noise voltage is referred to the tube grid and measured with a noise peak voltmeter with weighting filter connected in accordance with CCIR Standards 1949.
- 2) Die Fremdspannung ist auf das Gitter der Röhre bezogen und mit einem Geräuschspitzenmessgerät mit abgeschaltetem Ohrfilter gemessen.
The external voltage is referred to the tube grid and measured with a noise peak voltmeter with weighting filter disconnected.

C 3 m

Z LL To Spk

Pentode für
HF/ZF/NF-Verstärker
Pentode for
RF/IF/AF-amplifier



Loctal
Größe 29 · Outlines 29

$U_f = 20 \text{ V} \pm 5\%$
 $I_f = 125 \text{ mA}$
indirekt geheizt
indirectly heated
 $U_a = 220 \text{ V}$
 $U_{g3} = 0 \text{ V}$
 $U_{g2} = 150 \text{ V}$
 $R_k = 250 \Omega$
 $I_a = 16^{+3}_{-2,5} \text{ mA}$
 $I_{g2} = 3 \pm 1 \text{ mA}$
 $S = 6,5^{+1,3}_{-1} \text{ mA/V}$
 $R_i = 250 \text{ k}\Omega$
 $\mu_{g2g1} = 19$
 $r_{aeq} < 2 \text{ k}\Omega$

Leistungsverstärker
Power amplifier
 $U_a = 220 \text{ V}$
 $U_{g3} = 0 \text{ V}$
 $U_{g2} = 150 \text{ V}$
 $R_k = 250 \Omega$
 $I_a = 16 \text{ mA}$
 $I_{g2} = 3 \text{ mA}$
 $R_i = 250 \text{ k}\Omega$
 $R_a = 10 \text{ k}\Omega$
 $N (k = 10\%) = 1 \text{ W}$

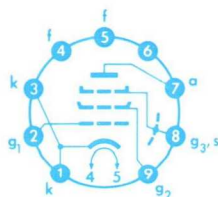
$c_e = 8,5 \text{ pF}$
 $c_a = 6 \text{ pF}$
 $c_{g1a} < 0,018 \text{ pF}$

$U_a = 300 \text{ V}$
 $N_a = 4 \text{ W}$
 $U_{g3} = 300 \text{ V}$
 $N_{g3} = 1 \text{ W}$
 $U_{g2} = 300 \text{ V}$
 $N_{g2} = 1 \text{ W}$
 $I_k = 30 \text{ mA}$
 $R_{g1} = 0,5 \text{ M}\Omega$
 $U_{fk} = 120 \text{ V}$
 $R_{fk} = 20 \text{ k}\Omega$
 $t_{Kolben} = 120 \text{ }^\circ\text{C}$

D 3 a

Z LL To Spk

Pentode für
Breitband-Verstärker
Pentode for
wide-band amplifier



Pico 9 · Noval
Größe 7 · Outlines 7

$U_f = 6,3 \text{ V} \pm 5\%$
 $I_f \text{ ca. } 320 \text{ mA}$
indirekt geheizt
indirectly heated
 $U_{ba} = 190 \text{ V}$
 $U_{g3} = 0 \text{ V}$
 $U_{bg2} = 160 \text{ V}$
 $U_{bg1} = +10 \text{ V}$
 $R_k = 400 \Omega$
 $C_k = 1000 \mu\text{F}$
 $I_a = 22 \pm 1 \text{ mA}$
 $I_{g2} = 6 \text{ mA}$
 $S = 35 \pm 5 \text{ mA/V}$
 $R_i = 120 \text{ k}\Omega$
 $\mu_{g2g1} = 85$

$r_{aeq} = 150 \Omega$
 $r_e (100 \text{ MHz})^1) = 1 \text{ k}\Omega$
 $\frac{S}{2 \pi (c_e + c_a)} = 465 \text{ MHz}$
 $\frac{S}{2 \pi (c_e' + c_a + 5 \text{ pF})^2)} = 232 \text{ MHz}$

$c_e = 10 \pm 1 \text{ pF}$
 $c_e' (I_k = 28 \text{ mA}) = 17 \text{ pF}$
 $c_a = 2 \pm 0,3 \text{ pF}$
 $c_{g1a} < 0,035 \text{ pF}$

$U_{ao} = 400 \text{ V}$
 $U_a = 220 \text{ V}$
 $N_a = 4 \text{ W}$
 $U_{g2o} = 400 \text{ V}$
 $U_{g2} = 180 \text{ V}$
 $N_{g2} = 0,9 \text{ W}$
 $I_k = 29 \text{ mA}$
 $U_{g1} = +0 \text{ V}$
 $U_{g1} = -10 \text{ V}$
 $R_{g1}^3) = 0,5 \text{ M}\Omega$
 $U_{fk} = 60 \text{ V}$
 $R_{fk} = 20 \text{ k}\Omega$
 $t_{Kolben} = 170 \text{ }^\circ\text{C}$

- 1) Beide Kathodenanschlüsse parallelgeschaltet.
The two cathode connections directed in parallel.
- 2) c_e' = Eingangskapazität der Röhre bei Betrieb im Arbeitspunkt, $I_k = 28 \text{ mA}$.
Input capacitance of the tube at operation at operating point, $I_k = 28 \text{ mA}$.
5 pF = Schaltkapazität · Connection-capacitance
- 3) U_{g1} autom. · Cathodes grid bias

Spezialröhren • Special tubes

Type • Anwendung
Type • Application

Allgemeine Daten
General data

Betriebswerte
Typical operation

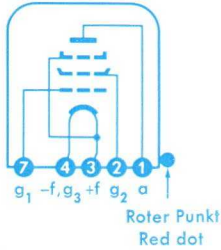
Kapazitäten
Capacitances

Grenzwerte
Maximum ratings

DF 703

Pentode,
Elektrometer-Röhre

Pentode,
electrometer tube



Submin
Größe 16 • Outlines 16

$$U_f = 1,25 \text{ V}$$

$$I_f \text{ ca. } 10 \text{ mA}$$

direkt geheizt
directly heated

Pentode

$$U_a = 8,5 \text{ V}$$

$$U_{g2} = 4,5 \text{ V}$$

$$U_{g1} = -2 \text{ V}$$

$$I_a = 6 \mu\text{A}$$

$$I_{g2} = 3,6 \mu\text{A}$$

$$S = 14 \mu\text{A/V}$$

$$R_i = 8 \text{ M}\Omega$$

$$I_{g1} \leq 3 \times 10^{-15} \text{ A}$$

$$c_e = 2,2 \text{ pF}$$

$$c_{ga^1)} = 2 \text{ pF}$$

¹⁾ Als Triode geschaltet
Connected as triode

Absolute Maxima

$$U_a = 22,5 \text{ V}$$

$$U_{g2} = 22,5 \text{ V}$$

$$I_k = 300 \mu\text{A}$$

$$U_f = 1,25 \text{ V} \pm 20\%$$

Triode, g_2 an a

$$U_{ag2} = 10,5 \text{ V}$$

$$U_{g1} = -3 \text{ V}$$

$$I_{a+g2} = 200 \mu\text{A}$$

$$\mu = 1,8$$

$$S = 175 \mu\text{A/V}$$

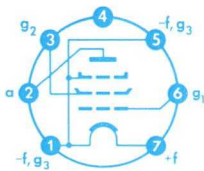
$$I_{g1} \leq 2,5 \times 10^{-13} \text{ A}$$

Bezugspunkt für alle Spannungswerte ist das negative Heizfadenende.

The negative filament terminal is taken as the datum point to which other electrode voltages are referred.

DF 904

HF/ZF-Pentode
für tragbare
Funksprechgeräte
RF/IF-pentode for
portable 2-way radios



Pico 7 • Miniatur
Größe 2 • Outlines 2

$$U_f = 1,4 \text{ V}$$

$$I_f \text{ ca. } 50 \text{ mA}$$

direkt geheizt
directly heated

$$U_a = 90 \text{ V}$$

$$U_{g2} = 90 \text{ V}$$

$$U_{g1} = 0 \text{ V}$$

$$I_a = 1,6 \text{ mA}$$

$$I_{g2} = 0,45 \text{ mA}$$

$$S = 0,9 \text{ mA/V}$$

$$\mu_{g2g1} = 22$$

$$R_i = 1 \text{ M}\Omega$$

$$r_{aeq} \text{ ca. } 12 \text{ k}\Omega$$

$$r_{aeq^1)} \text{ ca. } 3,6 \text{ k}\Omega$$

$$r_{e100} \text{ ca. } 6 \text{ k}\Omega$$

$$R_{i \text{ dyn}} \text{ ca. } 100 \text{ k}\Omega$$

bei $U_{g1} = -0,5 \text{ V}$

$$I_a = 1,2 \text{ mA}$$

$$f = 100 \text{ MHz}$$

¹⁾ Als Triode geschaltet
Connected as triode

$$c_e = 3,6 \text{ pF}$$

$$c_a = 7,5 \text{ pF}$$

$$c_{g1a} \leq 0,01 \text{ pF}$$

$$U_{a0} = 120 \text{ V}$$

$$U_a = 90 \text{ V}$$

$$N_a = 0,35 \text{ W}$$

$$U_{g20} = 120 \text{ V}$$

$$U_{g2} = 90 \text{ V}$$

$$N_{g2} = 0,1 \text{ W}$$

$$I_k = 6,5 \text{ mA}$$

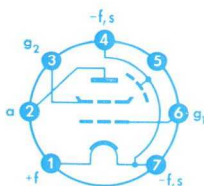
$$R_{g1} = 3 \text{ M}\Omega$$

Bezugspunkt für alle Spannungswerte ist das negative Heizfadenende.

The negative filament terminal is taken as the datum point of which other electrode voltages are referred.

DF 906

HF-Tetrode
für tragbare
Funksprechgeräte
RF-tetrode for
portable 2-way radios



Pico 7 • Miniatur
Größe 2 • Outlines 2

$$U_f = 1,4 \text{ V}$$

$$I_f \text{ ca. } 100 \text{ mA}$$

direkt geheizt
directly heated

$$U_a = 45 \text{ V}$$

$$U_{g2} = 45 \text{ V}$$

$$U_{g1} = 0 \text{ V}$$

$$I_a = 3 \text{ mA}$$

$$I_{g2} = 1 \text{ mA}$$

$$S = 1,7 \text{ mA/V}$$

$$\mu_{g2g1} = 20$$

$$R_i = 0,5 \text{ M}\Omega$$

$$R_{i \text{ dyn}} = 60 \text{ k}\Omega$$

bei $f = 100 \text{ MHz}$

$$I_a = 2 \dots 3 \text{ mA}$$

$$r_{aeq} \text{ ca. } 7 \text{ k}\Omega$$

bei $U_a = U_{g2}$

$$= 70 \text{ V}$$

$$U_{g1} = -1,5 \text{ V}$$

$$I_a = 3 \text{ mA}$$

$$r_{aeq^1)} \text{ ca. } 1,8 \text{ k}\Omega$$

$$r_{e100} \text{ ca. } 5,5 \text{ k}\Omega$$

bei $U_a = U_{g2}$

$$= 45 \dots 70 \text{ V}$$

¹⁾ Als Triode geschaltet
Connected as triode

$$c_e = 4,9 \text{ pF}$$

$$c_a = 3,9 \text{ pF}$$

$$c_{g1a} \leq 0,025 \text{ pF}$$

$$U_{a0} = 120 \text{ V}$$

$$U_a = 90 \text{ V}$$

$$N_a = 0,6 \text{ W}$$

$$U_{g20} = 120 \text{ V}$$

$$U_{g2} = 70 \text{ V}$$

$$N_{g2} = 0,15 \text{ W}$$

$$I_k = 12 \text{ mA}$$

$$R_{g1} = 2 \text{ M}\Omega$$

Bezugspunkt für alle Spannungswerte ist das negative Heizfadenende.

The negative filament terminal is taken as the datum point of which other electrode voltages are referred.

Spezialröhren · Special tubes

Type · Anwendung
Type · Application

Allgemeine Daten
General data

Betriebswerte
Typical operation

Kapazitäten
Capacitances

Grenzwerte
Maximum ratings

DL 907

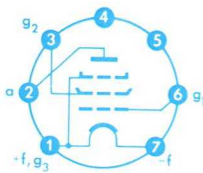
Kleine Sendependode
für tragbare
Funksprechgeräte
Small transmitting
pentode for
portable 2-way radios

$U_f = 1,4 \text{ V}$
 $I_f \text{ ca. } 200 \text{ mA}$
direkt geheizt
directly heated
 $U_a = 120 \text{ V}$
 $U_{g2} = 120 \text{ V}$
 $U_{g1} = -5,5 \text{ V}$
 $I_a = 15 \text{ mA}$
 $I_{g2} = 3,5 \text{ mA}$
 $S = 3,1 \text{ mA/V}$
 $\mu_{g2g1} = 10$
 $R_i \text{ ca. } 60 \text{ k}\Omega$

$U_a = 90 \text{ V}$
 $U_{g2} = 90 \text{ V}$
 $U_{g1} = -3,6 \text{ V}$
 $I_a = 11 \text{ mA}$
 $I_{g2} = 2,6 \text{ mA}$
 $S = 2,9 \text{ mA/V}$
 $\mu_{g2g1} = 10$
 $R_i \text{ ca. } 70 \text{ k}\Omega$

$c_e = 5,6 \text{ pF}$
 $c_a = 4 \text{ pF}$
 $c_{g1a} \leq 0,1 \text{ pF}$

$U_{ao} = 200 \text{ V}$
 $U_a = 150 \text{ V}$
 $N_a = 2 \text{ W}$
 $U_{g2o} = 200 \text{ V}$
 $U_{g2} = 150 \text{ V}$
 $N_{g2} = 0,5 \text{ W}$
 $I_k = 24 \text{ mA}$
 $R_{g1} = 0,5 \text{ M}\Omega$



Pico 7 · Miniatur
Größe 2 · Outlines 2

Bezugspunkt für alle Spannungswerte ist das negative Heizfadeneende.

The negative filament terminal is taken as the datum point of which other electrode voltages are referred.

E 80 CF

Z LL To Sto

Triode/Pentode mit
getrennten Kathoden

Triode/pentode with
separate cathodes

$U_f = 6,3 \text{ V} \pm 5\%$
 $I_f = 330 \text{ mA}$

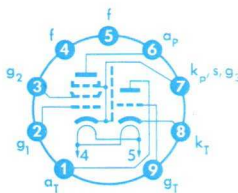
indirekt geheizt
indirectly heated

Pentode

$U_{ba} = 170 \text{ V}$
 $U_{bg2} = 170 \text{ V}$
 $R_k = 155 \Omega$
 $I_a = 10 \text{ mA}$
 $I_{g2} = 2,8 \text{ mA}$
 $S = 6,2 \text{ mA/V}$
 $R_i = 400 \text{ k}\Omega$
 $\mu_{g2g1} = 40$
 $I_{g1} \leq -0,3 \mu\text{A}$

Triode

$U_{ba} = 100 \text{ V}$
 $R_k = 120 \Omega$
 $I_a = 14 \text{ mA}$
 $S = 5 \text{ mA/V}$
 $\mu = 18$
 $I_{g1} \leq -0,3 \mu\text{A}$



Pico 9 · Noval
Größe 7 · Outlines 7

Pentode

$c_e = 5,2 \text{ pF}$
 $c_a = 3,4 \text{ pF}$
 $c_{ga} \leq 0,025 \text{ pF}$

Triode

$c_e = 2,5 \text{ pF}$
 $c_a = 1,5 \text{ pF}$
 $c_{g1a} = 1,5 \text{ pF}$

Pentode/Triode

$c_{aP/aT} < 0,07 \text{ pF}$
 $c_{aP/gT} < 0,02 \text{ pF}$
 $c_{g1P/aT} < 0,16 \text{ pF}$

Absolute Maxima

Pentode

$U_{ao} = 550 \text{ V}$
 $U_a = 275 \text{ V}$
 $N_a = 2,15 \text{ W}$
 $U_{g2o} = 550 \text{ V}$
 $U_{g2} = 200 \text{ V}$
 $N_{g2} = 0,7 \text{ W}$
 $N_{g1} = 0,1 \text{ W}$
 $I_k = 18 \text{ mA}$
 $R_{g1}^1) = 0,5 \text{ M}\Omega$
 $R_{g1}^2) = 1 \text{ M}\Omega$
 $U_{fk} = 100 \text{ V}$

Triode

$U_{ao} = 550 \text{ V}$
 $U_a = 275 \text{ V}$
 $N_a = 1,75 \text{ W}$
 $N_{g1} = 0,1 \text{ W}$
 $U_{gsp}^3) = 30 \text{ V}$
 $I_k = 18 \text{ mA}$
 $I_{ksp} = 100 \text{ mA}$
 $R_g = 0,5 \text{ M}\Omega$
 $U_{fk} = 100 \text{ V}$
 $t_{Kolben} = 170 \text{ }^\circ\text{C}$

- 1) U_{g1} fest · Fixed grid bias
- 2) U_{g1} autom. · Cathodes grid bias
- 3) Impulsdauer max. 4% einer Periode, jedoch nicht länger als 0,8 ms
Pulse duration max. 4% per period, but not longer than 0.8 ms

Spezialröhren · Special tubes

Type · Anwendung
Type · Application

Allgemeine Daten
General data

Betriebswerte
Typical operation

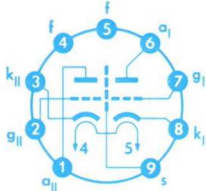
Kapazitäten
Capacitances

Grenzwerte
Maximum ratings

E 88 CC CCa

Z LL To Sro Spk

Steile Doppeltriode
mit
getrennten Kathoden
Twin triode with
separate cathodes



Pico 9 · Noval
Größe 6 · Outlines 6

$$U_f = 6,3 \text{ V} \pm 5\%$$

$$I_f = 300 \pm 15 \text{ mA}$$

indirekt geheizt
indirectly heated

per System

$$U_{ba} = 100 \text{ V}$$

$$U_{bg} = +9 \text{ V}$$

$$R_g = 0,1 \text{ M}\Omega$$

$$R_k = 680 \Omega$$

$$I_a = 15 \pm 0,8 \text{ mA}$$

$$S = 12,5 \text{ }^{+2,5}_{-2} \text{ mA/V}$$

$$\mu = 33$$

$$r_{aeq} = 300 \Omega$$

$$I_g \leq -0,1 \mu\text{A}$$

System I

$$C_{a/k+f+s} = 1,75 \pm 0,2 \text{ pF}$$

$$C_{a/k+f} = 0,5 \pm 0,1 \text{ pF}$$

$$C_{g/k+f+s} = 3,1 \pm 0,6 \text{ pF}$$

$$C_{g/k+f} = 3,1 \pm 0,6 \text{ pF}$$

$$C_{ga} = 1,4 \pm 0,2 \text{ pF}$$

$$C_{ak} = 0,18 \pm 0,04 \text{ pF}$$

System II

$$C_{a/k+f+s} = 1,65 \pm 0,2 \text{ pF}$$

$$C_{a/k+f} = 0,4 \pm 0,1 \text{ pF}$$

$$C_{g/k+f+s} = 3,1 \pm 0,6 \text{ pF}$$

$$C_{g/k+f} = 3,1 \pm 0,6 \text{ pF}$$

$$C_{ga} = 1,4 \pm 0,2 \text{ pF}$$

$$C_{ak} = 0,18 \pm 0,04 \text{ pF}$$

$$C_{alall} < 0,045 \text{ pF}$$

$$C_{glall} < 0,005 \text{ pF}$$

per System

$$U_{ao} = 550 \text{ V}$$

$$U_a = 220 \text{ V}$$

$$U_a (N_a \leq 0,8 \text{ W}) = 250 \text{ V}$$

$$N_a = 1,5 \text{ W}$$

$$U_g = -100 \text{ V}$$

$$U_{gsp}^1) = -200 \text{ V}$$

$$N_g = 0,03 \text{ W}$$

$$I_k = 20 \text{ mA}$$

$$I_{ksp}^1) = 100 \text{ mA}$$

$$R_g^2) = 1 \text{ M}\Omega$$

$$U_{fk} \text{ k pos} = 120 \text{ V}$$

$$U_{fk} \text{ k neg} = 60 \text{ V}$$

$$R_{fk} = 20 \text{ k}\Omega$$

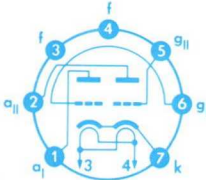
$$t_{Kolben} = 170 \text{ }^\circ\text{C}$$

1) Impulsdauer max. 10% einer Periode, $t_{max} = 0,2 \text{ ms}$
Pulse period max. 10% per period, $t_{max} = 0,2 \text{ ms}$
2) U_g autom. oder U_g fest nur bei $I_a \leq 5 \text{ mA}$
Cathodes grid bias or fixed grid bias only at $I_a \leq 5 \text{ mA}$

E 90 CC

Z LL To Spk

Doppeltriode
für Rechenmaschinen
Twin triode
for computers



Pico 7 · Miniatur
Größe 4 · Outlines 4

$$U_f = 6,3 \text{ V} \pm 5\%$$

$$I_f = 400 \pm 20 \text{ mA}$$

indirekt geheizt
indirectly heated

per System

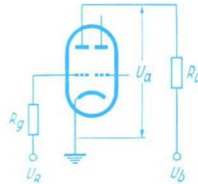
$$U_a = 100 \text{ V}$$

$$R_k = 250 \Omega$$

$$I_a = 8,5 \pm 2 \text{ mA}$$

$$S = 6 \pm 1,2 \text{ mA/V}$$

$$\mu = 27$$



$$U_b = 150 \text{ V}$$

$$R_a = 20 \text{ k}\Omega$$

$$R_g = 47 \text{ k}\Omega$$

$$U_R = 0 - 10 \text{ V}$$

$$I_a = 5,6^1) \text{ } 0^2) \text{ mA}$$

System I

$$C_a = 0,35 \pm 0,07 \text{ pF}$$

$$C_e = 3,7 \pm 0,5 \text{ pF}$$

$$C_{ga} = 3,4 \pm 0,5 \text{ pF}$$

$$C_{gf} < 0,15 \text{ pF}$$

System II

$$C_a = 0,4 \pm 0,07 \text{ pF}$$

$$C_e = 3,7 \pm 0,5 \text{ pF}$$

$$C_{ga} = 3,2 \pm 0,5 \text{ pF}$$

$$C_{gf} < 0,3 \text{ pF}$$

$$C_{kf} = 7,6 \pm 1,5 \text{ pF}$$

$$C_{glall} < 0,22 \text{ pF}$$

$$C_{alall} < 1,4 \text{ pF}$$

Absolute Maxima
per System

$$U_{ao} = 600 \text{ V}$$

$$U_a = 300 \text{ V}$$

$$N_a = 2 \text{ W}$$

$$U_g = -100 \text{ V}$$

$$U_{gsp} = -200 \text{ V}$$

$$U_g = +0 \text{ V}$$

$$I_g = 250 \mu\text{A}$$

$$I_{gsp} = 1 \text{ mA}$$

$$I_k = 15 \text{ mA}$$

$$I_{ksp}^3) = 75 \text{ mA}$$

$$R_g^4) = 1 \text{ M}\Omega$$

$$R_g^5) = 0,5 \text{ M}\Omega$$

$$R_{fk} = 20 \text{ k}\Omega$$

$$U_{fk} = 100 \text{ V}$$

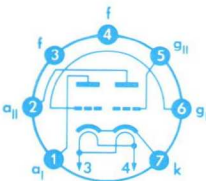
$$t_{Kolben} = 170 \text{ }^\circ\text{C}$$

1) min. 5 mA, max. 6,2 mA
2) max. 0,1 mA
3) max. 10 ms
4) U_g autom. · Cathodes grid bias
5) U_g fest · Fixed grid bias

E 92 CC

Z LL To Spk

Doppeltriode
für Rechenmaschinen
Twin triode
for computers



Pico 7 · Miniatur
Größe 4 · Outlines 4

$$U_f = 6,3 \text{ V} \pm 5\%$$

$$I_f = 400 \pm 20 \text{ mA}$$

indirekt geheizt
indirectly heated

per System

$$U_a = 150 \text{ V}$$

$$R_k = 200 \Omega$$

$$I_a = 8,5 \pm 2 \text{ mA}$$

$$S = 6 \pm 1,5 \text{ mA/V}$$

$$\mu = 47$$



a) System gesperrt
System is blocked

$$U_b = 150 \text{ V}$$

$$R_a = 20 \text{ k}\Omega$$

$$R_g = 47 \text{ k}\Omega$$

$$U_g = -10 \text{ V}$$

$$I_a \text{ max. } 0,1 \text{ mA}$$

$$\pm (U_{gI} - U_{gII}) \text{ max. } 2 \text{ V}$$

b) System stromführend
System current-carrying

$$U_b = 150 + 100 \text{ V}$$

$$I_a = \text{min. } 5,1 \text{ mA}$$

$$\text{max. } 5,9 \text{ mA}$$

System I

$$C_e = 3,5 \pm 0,9 \text{ pF}$$

$$C_a = 0,3 \pm 0,1 \text{ pF}$$

$$C_{ga} = 2,6 \pm 0,4 \text{ pF}$$

System II

$$C_e = 3,5 \pm 0,9 \text{ pF}$$

$$C_a = 0,36 \pm 0,1 \text{ pF}$$

$$C_{ga} = 2,4 \pm 0,4 \text{ pF}$$

$$C_{alall} < 2 \text{ pF}$$

$$C_{glall} < 0,29 \text{ pF}$$

Absolute Maxima
per System

$$U_{ao} = 600 \text{ V}$$

$$U_a = 300 \text{ V}$$

$$N_a = 2 \text{ W}$$

$$I_k = 15 \text{ mA}$$

$$I_{ksp} = 75 \text{ mA}$$

$$U_g = -100 \text{ V}$$

$$U_{gsp} = -200 \text{ V}$$

$$U_g = +0,5 \text{ V}$$

$$I_g = 250 \mu\text{A}$$

$$I_{gsp} = 1 \text{ mA}$$

$$R_g^1) = 0,5 \text{ M}\Omega$$

$$R_g^2) = 1 \text{ M}\Omega$$

$$U_{fk} = 100 \text{ V}$$

$$t_{Kolben} = 170 \text{ }^\circ\text{C}$$

1) U_g fest
Fixed grid bias
2) U_g autom.
Cathodes grid bias

Spezialröhren · Special tubes

Type · Anwendung
Type · Application

Allgemeine Daten
General data

Betriebswerte
Typical operation

Kapazitäten
Capacitances

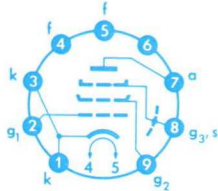
Grenzwerte
Maximum ratings

E 180 F

Z LL To Sto Spk

Pentode für
Breitband-Verstärker

Pentode for
wide-band amplifier



Pico 9 · Noval
Größe 5 · Outlines 5

$U_f = 6,3 V \pm 5\%$
 $I_f = 300 \pm 15 \text{ mA}$
indirekt geheizt
indirectly heated
 $U_{ba} = 190 \text{ V}$
 $U_{g3} = 0 \text{ V}$
 $U_{bg2} = 160 \text{ V}$
 $U_{bg1} = +9 \text{ V}$
 $R_k = 630 \Omega$
 $I_a = 13 \pm 0,8 \text{ mA}$
 $I_{g2} = 3,3 \pm 0,4 \text{ mA}$
 $S = 16,5 \pm 2,3 \text{ mA/V}$
 $R_i = 90 \text{ k}\Omega$
 $\mu_{g2g1} = 50$

Verstärker · Amplifier

$U_{ba} = 190 \text{ V}$
 $U_{g3} = 0 \text{ V}$
 $U_{bg2} = 160 \text{ V}$
 $U_{bg1} = +9 \text{ V}$
 $R_k = 630 \Omega$
 $I_a = 13 \text{ mA}$
 $I_{g2} = 3,3 \text{ mA}$
 $R_{a\sim} = 14 \text{ k}\Omega$
 $k_2 = 1,6\%$
bei $R_a = 1 \text{ k}\Omega$
 $U_{g1\sim} = 0,1 \text{ V}$
 $r_{aeq} \text{ (HF)} = 460 \Omega$
 $r_{e100^1)} = 2 \text{ k}\Omega$

mit äußerer Abschirmung,
Innen- ϕ 22,2 mm
with external shield,
inside ϕ 22.2 mm

$c_e = 7,5 \pm 0,9 \text{ pF}$
 $c_a = 3,0 \pm 0,5 \text{ pF}$
 $c_{g1a} < 0,03 \text{ pF}$
 $c_{ak} < 0,1 \text{ pF}$

Absolute Maxima
 $U_{ao} = 400 \text{ V}$
 $U_a = 210 \text{ V}$
 $N_a = 3 \text{ W}$
 $U_{g2o} = 400 \text{ V}$
 $U_{g2} = 175 \text{ V}$
 $N_{g2} = 0,9 \text{ W}$
 $I_k = 25 \text{ mA}$
 $U_{g1} = +0 \text{ V}$
 $U_{g1} = -50 \text{ V}$
 $U_{gsp} = -100 \text{ V}$
 $R_{g1^2)} = 0,5 \text{ M}\Omega$
 $R_{g1^3)} = 0,25 \text{ M}\Omega$
 $U_{fk} = 60 \text{ V}$
 $R_{fk} = 20 \text{ k}\Omega$
 $t_{Kolben} = 155 \text{ }^\circ\text{C}$

1) Stiff 1 mit Stiff 3 verbunden · Pin 1 connected to pin 3

2) U_{g1} autom. · Cathodes grid bias

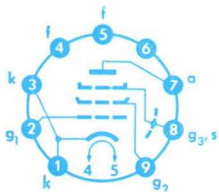
3) U_{g1} fest · Fixed grid bias

E 280 F

Z LL To Sto Spk

Pentode für
Breitband-Verstärker

Pentode for
wide-band amplifier



Pico 9 · Noval
Größe 7 · Outlines 7

$U_f = 6,3 V \pm 5\%$
 $I_f = 315 \pm 15 \text{ mA}$
indirekt geheizt
indirectly heated
 $U_{ba} = 190 \text{ V}$
 $U_{g3} = 0 \text{ V}$
 $U_{bg2} = 160 \text{ V}$
 $U_{bg1} = +8 \text{ V}$
 $R_k = 370 \Omega$
 $I_a = 20 \pm 1 \text{ mA}$
 $I_{g2} = 6 \pm 0,7 \text{ mA}$
 $S = 26 \pm 4 \text{ mA/V}$
 $R_i = 100 \text{ k}\Omega$
 $\mu_{g2g1} = 60$
 $I_g \leq -0,5 \mu\text{A}$
 $r_{e100^1)} = 1,4 \text{ k}\Omega$
 $r_{aeq} = 220 \Omega$
 $\frac{S}{c} = 2,2 \text{ mA/V pF}$

$c_e = 9,3 \pm 1 \text{ pF}$
 $c_a = 2,6 \pm 0,3 \text{ pF}$
 $c_{g1a} \leq 0,035 \text{ pF}$

Absolute Maxima
 $U_{ao} = 400 \text{ V}$
 $U_a = 220 \text{ V}$
 $N_a = 4 \text{ W}$
 $U_{g2o} = 400 \text{ V}$
 $U_{g2} = 180 \text{ V}$
 $N_{g2} = 1,1 \text{ W}$
 $U_{g1} = -50 \text{ V}$
 $U_{g1} = +2 \text{ V}$
 $R_{g1^2)} = 0,5 \text{ M}\Omega$
 $I_k = 30 \text{ mA}$
 $I_{g1} = 5 \text{ mA}$
 $U_{fk-} = 60 \text{ V}$
 $U_{fk+} = 120 \text{ V}$
 $R_{fk} = 20 \text{ k}\Omega$
 $t_{Kolben} = 180 \text{ }^\circ\text{C}$

1) Stiff 1 mit Stiff 3 verbunden · Pin 1 connected to pin 3

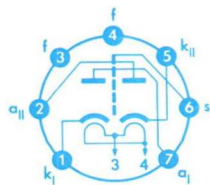
2) U_{g1} autom. · Cathodes grid bias

EAA 901 S

Z LL To Sto Spk

Doppeldiode mit
getrennten Kathoden

Twin diode with
separate cathodes



Pico 7 · Miniatur
Größe 1 · Outlines 1

$U_f = 6,3 V \pm 5\%$
 $I_f \text{ ca. } 300 \text{ mA}$
indirekt geheizt
indirectly heated

mit äußerer Abschirmung,
Innen- ϕ 20,5 mm
with external shield,
inside ϕ 20.5 mm

$c_{dI} = 3,2 \pm 0,8 \text{ pF}$
 $c_{dII} = 3,2 \pm 0,8 \text{ pF}$
 $c_{kI} = 3,9 \pm 0,8 \text{ pF}$
 $c_{kII} = 3,9 \pm 0,8 \text{ pF}$
 $c_{dIdII} \leq 0,026 \text{ pF}$

per System
 $U_{dsp} = -360 \text{ V}$
 $I_d = 10 \text{ mA}$
 $I_{dsp} = 60 \text{ mA}$
 $U_{fksp} = 360 \text{ V}$

Spezialröhren • Special tubes

Type · Anwendung
Type · Application

Allgemeine Daten
General data

Betriebswerte
Typical operation

Kapazitäten
Capacitances

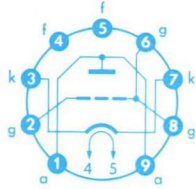
Grenzwerte
Maximum ratings

EC 806 S

Z LL To Spk

Dezimeter-Triode
bis 1000 MHz

VHF-triode
to 1,000 Mc/s



Pico 9 · Noval
Größe 6 · Outlines 6

$$U_f = 6,3 \text{ V} \pm 5\%$$

$$I_f = 165 \pm 15 \text{ mA}$$

indirekt geheizt
indirectly heated

$$U_a = 175 \text{ V}$$

$$R_k = 125 \Omega$$

$$I_a = 12 \pm 1,5 \text{ mA}$$

$$S = 14 \begin{matrix} +3,5 \\ -3 \end{matrix} \text{ mA/V}$$

$$\mu = 68$$

$$r_{aeq} = 230 \Omega$$

$$\Delta c_g = 2 \text{ pF}$$

$$G_{n100^1)} = 0,5 \text{ mS}$$

$$(\varphi_s 100^2)} = -7^\circ$$

HF-Verstärker in
Gitterbasisschaltung
RF-amplifier in
grid-grounded

$$U_{ba} = 185 \text{ V}$$

$$U_{bg} = +8 \text{ V}$$

$$R_k = 800 \Omega$$

$$I_a = 12 \text{ mA}$$

$$S = 14 \text{ mA/V}$$

Mischer, selbstschwing.
Mixer, self-excited

$$U_{ba} = 220 \text{ V}$$

$$R_{av} = 5,6 \text{ k}\Omega$$

$$R_g = 50 \text{ k}\Omega$$

$$I_a \text{ ca. } 12 \text{ mA}$$

$$I_g \text{ ca. } 50 \mu\text{A}$$

ohne äußere Abschirmung
without external shield

$$c_{ga} = 2 \text{ pF}$$

$$c_{ak} = 0,2 \text{ pF}$$

$$c_{gk} = 3,6 \text{ pF}$$

$$c_{fg} < 0,3 \text{ pF}$$

$$U_{ao} = 550 \text{ V}$$

$$U_a = 220 \text{ V}$$

$$N_a = 2,2 \text{ W}$$

$$I_k = 20 \text{ mA}$$

$$U_g = -50 \text{ V}$$

$$R_{g^3)} = 1 \text{ M}\Omega$$

$$U_{fk} = 100 \text{ V}$$

$$R_{fk} = 20 \text{ k}\Omega$$

$$t_{\text{Kolben}} = 165^\circ \text{C}$$

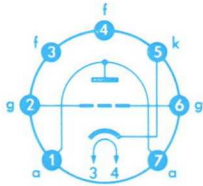
$$f_{\text{max}^4)} = 800 \text{ MHz}$$

- 1) Zusätzlicher Gitterausleitwert für 100 MHz
Additional grid noise conductance for 100 Mc/s
- 2) Phasenwinkel der Steilheit bei $f = 100 \text{ MHz}$
Phase angle of mutual conductance at 100 Mc/s
- 3) U_g autom. · Cathodes grid bias
- 4) Für Verstärkung · For amplification

EC 903

HF-Triode
Oszillator

RF-triode
Oscillator



Pico 7 · Miniatur
Größe 1 · Outlines 1

$$U_f = 6,3 \text{ V} \pm 10\%$$

$$I_f \text{ ca. } 200 \text{ mA}$$

$$I_f = 200 \text{ mA}$$

$$U_f \text{ ca. } 6,3 \text{ V}$$

indirekt geheizt
indirectly heated

$$U_a = 100 \text{ V}$$

$$R_k = 250 \Omega$$

$$I_a = 16 \text{ mA}$$

$$S = 8 \text{ mA/V}$$

$$\mu = 15$$

$$c_{g/k+f} = 2,4 \text{ pF}$$

$$c_{a/k+f} = 0,35 \text{ pF}$$

$$c_{ga} = 1,7 \text{ pF}$$

$$c_{ak} = 0,25 \text{ pF}$$

$$c_{gk} = 2,3 \text{ pF}$$

$$U_{ao} = 550 \text{ V}$$

$$U_a = 150 \text{ V}$$

$$N_a = 2 \text{ W}$$

$$I_k = 20 \text{ mA}$$

$$R_g = 0,5 \text{ M}\Omega$$

$$U_{gsp^1)} = -50 \text{ V}$$

$$U_{fk} = 100 \text{ V}$$

$$R_{fk} = 20 \text{ k}\Omega$$

1) Absolutes Maximum

Bei Serienspeisung im Heizstromkreis von P-Röhren ($I_f = 300 \text{ mA}$) ist ein Widerstand von 63Ω parallel zum Heizfaden zu schalten.

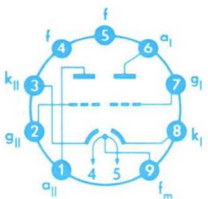
When connected in series in the heating circuit of P-tubes ($I_f = 300 \text{ mA}$) is connect parallel a resistor 63Ω to the filament.

ECC 801 S

Z LL To Sto Spk

HF-Doppeltriode mit
getrennten Kathoden

RF-twin triode with
separate cathodes



Pico 9 · Noval
Größe 6 · Outlines 6

$$U_f = 6,3 \text{ V} \pm 5\%$$

$$I_f \text{ ca. } 300 \text{ mA}$$

$$U_f = 12,6 \text{ V} \pm 5\%$$

$$I_f \text{ ca. } 150 \text{ mA}$$

indirekt geheizt
indirectly heated

per System

$$U_a = 250 \text{ V}$$

$$R_k = 200 \Omega$$

$$I_a = 10 \begin{matrix} +4 \\ -3 \end{matrix} \text{ mA}$$

$$S = 5,5 \pm 1 \text{ mA/V}$$

$$R_i \text{ ca. } 11 \text{ k}\Omega$$

$$\mu = 60$$

System I

$$c_e = 2,5 \pm 0,5 \text{ pF}$$

$$c_a = 0,45 \pm 0,2 \text{ pF}$$

$$c_{ga} = 1,6 \pm 0,3 \text{ pF}$$

$$c_{fk} = 2,1 \pm 0,5 \text{ pF}$$

System II

$$c_e = 2,5 \pm 0,5 \text{ pF}$$

$$c_a = 0,38 \pm 0,22 \text{ pF}$$

$$c_{ga} = 1,6 \pm 0,3 \text{ pF}$$

$$c_{fk} = 2,5 \pm 0,5 \text{ pF}$$

$$c_{aIaII} = 0,24 \pm 0,1 \text{ pF}$$

$$c_{gIgII} < 0,005 \text{ pF}$$

per System

$$U_a = 300 \text{ V}$$

$$N_a = 2,5 \text{ W}$$

$$U_g = -50 \text{ V}$$

$$I_k = 13 \text{ mA}$$

$$R_g = 1 \text{ M}\Omega$$

$$U_{fk} = 90 \text{ V}$$

$$t_{\text{Kolben}} = 170^\circ \text{C}$$

Spezialröhren · Special tubes

Type · Anwendung
Type · Application

Allgemeine Daten
General data

Betriebswerte
Typical operation

Kapazitäten
Capacitances

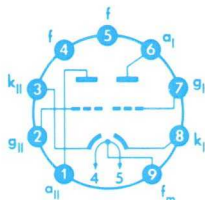
Grenzwerte
Maximum ratings

ECC 802 S

Z LL To Sto Spk

Doppeltriode mit
getrennten Kathoden

Twin triode with
separate cathodes



Pico 9 · Noval
Größe 6 · Outlines 6

$$U_f = 6,3 \text{ V} \pm 5\%$$

$$I_f \text{ ca. } 300 \text{ mA}$$

$$U_f = 12,6 \text{ V} \pm 5\%$$

$$I_f \text{ ca. } 150 \text{ mA}$$

indirekt geheizt
indirectly heated

per System

$$U_a = 250 \text{ V}$$

$$R_k = 800 \ \Omega$$

$$I_a = 10,5 \pm 1,5 \text{ mA}$$

$$S = 2,2^{+0,4}_{-0,3} \text{ mA/V}$$

$$R_i = 7,7 \text{ k}\Omega$$

$$\mu = 17$$

System I

$$c_e = 1,6 \pm 0,4 \text{ pF}$$

$$c_a = 0,5 \pm 0,2 \text{ pF}$$

$$c_{ga} = 1,5 \pm 0,4 \text{ pF}$$

System II

$$c_e = 1,6 \pm 0,4 \text{ pF}$$

$$c_a = 0,4 \pm 0,2 \text{ pF}$$

$$c_{ga} = 1,5 \pm 0,4 \text{ pF}$$

per System

$$U_a = 300 \text{ V}$$

$$N_a = 2,75 \text{ W}$$

$$I_k = 15 \text{ mA}$$

$$I_{ksp}^{1)} = 250 \text{ mA}$$

$$R_g^{2)} = 1 \text{ M}\Omega$$

$$R_g^{3)} = 0,25 \text{ M}\Omega$$

$$U_{fk} = 100 \text{ V}$$

$$t_{Kolben} = 170 \text{ }^\circ\text{C}$$

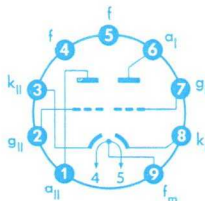
- 1) 10% einer Periode, $t_{max} = 2 \text{ ms}$ · 10% per period, $t_{max} = 2 \text{ ms}$
 2) U_g autom. · Cathodes grid bias
 3) U_g fest · Fixed grid bias

ECC 803 S

Z LL To Sto Spk

Doppeltriode mit
getrennten Kathoden,
Klingarm

Twin triode with
separate cathodes,
nonmicrophonic



Pico 9 · Noval
Größe 6 · Outlines 6

$$U_f = 6,3 \text{ V} \pm 5\%$$

$$I_f \text{ ca. } 300 \text{ mA}$$

$$U_f = 12,6 \text{ V} \pm 5\%$$

$$I_f \text{ ca. } 150 \text{ mA}$$

indirekt geheizt
indirectly heated

$$U_a = 100 \text{ V}$$

$$U_g = -1 \text{ V}$$

$$I_a = 0,5 \text{ mA}$$

$$S = 1,25 \text{ mA/V}$$

$$\mu = 100$$

$$R_i = 80 \text{ k}\Omega$$

System I

$$c_e = 1,7 \text{ pF}$$

$$c_a = 0,46 \text{ pF}$$

$$c_{ga} = 1 \text{ pF}$$

$$c_{gf} \leq 0,15 \text{ pF}$$

System II

$$c_e = 1,7 \text{ pF}$$

$$c_a = 0,34 \text{ pF}$$

$$c_{ga} = 1 \text{ pF}$$

$$c_{gf} \leq 0,15 \text{ pF}$$

Absolute Maxima

$$U_{ao} = 600 \text{ V}$$

$$U_a = 330 \text{ V}$$

$$N_a = 1,2 \text{ W}$$

$$U_{g1} = -55 \text{ V}$$

$$U_{g1} = +0,5 \text{ V}$$

$$R_g^{1)} = 1,2 \text{ M}\Omega$$

$$R_g^{2)} = 2,2 \text{ M}\Omega$$

$$R_g^{3)} = 25 \text{ M}\Omega$$

$$I_k = 9 \text{ mA}$$

$$U_{fk} = 200 \text{ V}$$

$$R_{fk} = 20 \text{ k}\Omega$$

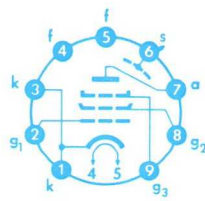
$$t_{Kolben} = 170 \text{ }^\circ\text{C}$$

- 1) U_g fest · Fixed grid bias
 2) U_g autom. · Cathodes grid bias
 3) U_g nur durch R_g erzeugt
 U_g produced by voltage drop across R_g only

EF 800

Z LL To Spk

HF/ZF-Pentode
RF/IF-pentode



Pico 9 · Noval
Größe 7 · Outlines 7

$$U_f = 6,3 \text{ V} \pm 5\%$$

$$I_f \text{ ca. } 275 \text{ mA}$$

indirekt geheizt
indirectly heated

$$U_a = 170 \text{ V}$$

$$U_{g3} = 0 \text{ V}$$

$$U_{g2} = 170 \text{ V}$$

$$R_k = 160 \ \Omega$$

$$I_a = 10^{+2}_{-1,3} \text{ mA}$$

$$I_{g2} = 2,5^{+1}_{-0,7} \text{ mA}$$

$$S = 7,5^{+1,1}_{-1,3} \text{ mA/V}$$

$$\mu_{g2g1} = 50$$

$$I_{g1} \leq -0,3 \ \mu\text{A}$$

HF/ZF-Verstärker
RF/IF-amplifier

$$U_a = 170 \text{ V}$$

$$U_{g3} = 0 \text{ V}$$

$$U_{g2} = 170 \text{ V}$$

$$R_k = 160 \ \Omega$$

$$I_a \text{ ca. } 10 \text{ mA}$$

$$I_{g2} \text{ ca. } 2,5 \text{ mA}$$

$$R_i \text{ ca. } 400 \text{ k}\Omega$$

$$r_{e100}^{1)} = 3 \text{ k}\Omega$$

$$r_{aeq} = 1 \text{ k}\Omega$$

$$c_e = 8,1 \pm 0,7 \text{ pF}$$

$$c_a = 3,6^{+0,3}_{-0,4} \text{ pF}$$

$$c_{g1a} \leq 0,01 \text{ pF}$$

$$c_{g1f} \leq 0,06 \text{ pF}$$

$$U_a = 250 \text{ V}$$

$$N_a = 2,5 \text{ W}$$

$$U_{g2} = 250 \text{ V}$$

$$N_{g2} = 0,65 \text{ W}$$

$$I_k = 15 \text{ mA}$$

$$U_{g1} = -30 \text{ V}$$

$$R_{g1}^{2)} = 1 \text{ M}\Omega$$

$$R_{g1}^{3)} = 0,5 \text{ M}\Omega$$

$$U_{fk} \text{ f pos, k neg}$$

$$= 60 \text{ V}$$

$$U_{fk} \text{ f neg, k pos}$$

$$= 100 \text{ V}$$

$$R_{fk} = 20 \text{ k}\Omega$$

$$t_{Kolben} = 170 \text{ }^\circ\text{C}$$

- 1) Stift 1 mit Stift 3 verbunden · Pin 1 connected to pin 3
 2) U_{g1} autom. · Cathodes grid bias
 3) U_{g1} fest · Fixed grid bias

Spezialröhren · Special tubes

Type · Anwendung
Type · Application

Allgemeine Daten
General data

Betriebswerte
Typical operation

Kapazitäten
Capacitances

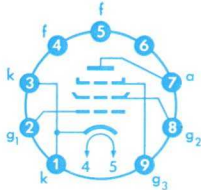
Grenzwerte
Maximum ratings

EF 802

Z LL To Spk

HF/ZF-Pentode für
Breitband-Verstärker

RF/IF-pentode for
wide-band amplifier



Pico 9 · Noval
Größe 7 · Outlines 7

$$U_f = 6,3 \text{ V} \pm 5\%$$

$$I_f \text{ ca. } 275 \text{ mA}$$

indirekt geheizt
indirectly heated

$$U_a = 170 \text{ V}$$

$$U_{g3} = 0 \text{ V}$$

$$U_{g2} = 170 \text{ V}$$

$$R_k = 120 \Omega$$

$$I_a = 12^{+2,5}_{-2} \text{ mA}$$

$$I_{g2} = 3 \pm 1 \text{ mA}$$

$$S = 8^{+1,5}_{-1,2} \text{ mA/V}$$

$$\mu_{g2g1} = 50$$

$$I_{g1} \leq -0,3 \mu\text{A}$$

$$U_a = 170 \text{ V}$$

$$U_{g3} = 0 \text{ V}$$

$$U_{g2} = 170 \text{ V}$$

$$R_k = 120 \Omega$$

$$I_a \text{ ca. } 12 \text{ mA}$$

$$I_{g2} \text{ ca. } 3 \text{ mA}$$

$$S \text{ ca. } 8 \text{ mA/V}$$

$$R_i \text{ ca. } 300 \text{ k}\Omega$$

$$r_{aeq} = 1 \text{ k}\Omega$$

$$r_{e100^1} = 3 \text{ k}\Omega$$

$$c_e = 7,7 \pm 0,5 \text{ pF}$$

$$c_a = 1,9 \pm 0,2 \text{ pF}$$

$$c_{g1a} \leq 0,02 \text{ pF}$$

$$c_{g1f} \leq 0,07 \text{ pF}$$

$$U_a = 250 \text{ V}$$

$$N_a = 2,1 \text{ W}$$

$$U_{g2} = 250 \text{ V}$$

$$N_{g2} = 0,55 \text{ W}$$

$$I_k = 15 \text{ mA}$$

$$U_{g1} = -30 \text{ V}$$

$$R_{g1^2)} = 1 \text{ M}\Omega$$

$$R_{g1^3)} = 0,5 \text{ M}\Omega$$

$$U_{fk} \text{ f pos, k neg}$$

$$= 60 \text{ V}$$

$$U_{fk} \text{ f neg, k pos}$$

$$= 100 \text{ V}$$

$$R_{fk} = 20 \text{ k}\Omega$$

$$t_{Kolben} = 170 \text{ }^\circ\text{C}$$

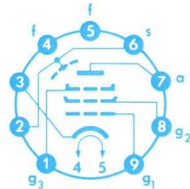
1) Stiff 1 mit Stiff 3 verbunden · Pin 1 connected to pin 3

2) U_{g1} autom. · Cathodes grid bias

3) U_{g1} fest · Fixed grid bias

EF 804

NF-Pentode
AF-pentode



Pico 9 · Noval
Größe 7 · Outlines 7

$$U_f = 6,3 \text{ V}$$

$$I_f \text{ ca. } 200 \text{ mA}$$

$$I_f = 200 \text{ mA}$$

$$U_f \text{ ca. } 6,3 \text{ V}$$

indirekt geheizt
indirectly heated

$$U_a = 250 \text{ V}$$

$$U_{g3} = 0 \text{ V}$$

$$U_{g2} = 140 \text{ V}$$

$$U_{g1} = -2 \text{ V}$$

$$I_a = 3 \text{ mA}$$

$$I_{g2} = 0,6 \text{ mA}$$

$$S = 2 \text{ mA/V}$$

$$R_i = 2,5 \text{ M}\Omega$$

$$\mu_{g2g1} = 38$$

$$U_b = 250 \text{ V}$$

$$R_a = 0,3 \text{ M}\Omega$$

$$R_{g2} = 1,5 \text{ M}\Omega$$

$$R_{g1} = 1 \text{ M}\Omega$$

$$R_{g1'} = 1 \text{ M}\Omega$$

$$R_k = 2 \text{ k}\Omega$$

$$I_a = 0,61 \text{ mA}$$

$$I_{g2} = 0,11 \text{ mA}$$

$$V = 210 \text{ fach}$$

$$k (U_{a\sim} = 4 V_{eff})$$

$$= 0,6 \%$$

Als Triode geschaltet g_2 an Anode
As triode g_2 connected to anode

$$U_b = 250 \text{ V}$$

$$R_{ag2} = 0,2 \text{ M}\Omega$$

$$R_{g1} = 1 \text{ M}\Omega$$

$$R_{g1'} = 1 \text{ M}\Omega$$

$$R_k = 1,5 \text{ k}\Omega$$

$$I_{a+g2} = 0,85 \text{ mA}$$

$$V = 31 \text{ fach}$$

$$k (U_{a\sim} = 4 V_{eff})$$

$$= 0,6 \%$$

$$c_e = 4,8 \text{ pF}$$

$$c_a = 6 \text{ pF}$$

$$c_{g1a} < 0,06 \text{ pF}$$

$$c_{g1f} < 0,002 \text{ pF}$$

$$U_a = 300 \text{ V}$$

$$N_a = 1,5 \text{ W}$$

$$U_{g2} = 200 \text{ V}$$

$$N_{g2} = 0,2 \text{ W}$$

$$I_k = 6 \text{ mA}$$

$$R_{g1} = 3 \text{ M}\Omega$$

$$R_{g1^1)} = 10 \text{ M}\Omega$$

$$R_{g1^2)} = 22 \text{ M}\Omega$$

$$U_{fk} = 100 \text{ V}$$

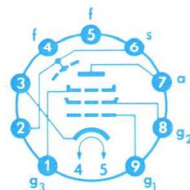
$$R_{fk} = 20 \text{ k}\Omega$$

1) $N_a < 0,2 \text{ W}$
2) U_{g1} nur durch R_{g1} erzeugt
 U_{g1} produced by voltage drop across R_{g1} only

EF 804 S

Z LL To Sto Spk

NF-Pentode
AF-pentode



Pico 9 · Noval
Größe 7 · Outlines 7

$$U_f = 6,3 \text{ V} \pm 5\%$$

$$I_f \text{ ca. } 170 \text{ mA}$$

indirekt geheizt
indirectly heated

$$U_a = 250 \text{ V}$$

$$U_{g3} = 0 \text{ V}$$

$$U_{g2} = 140 \text{ V}$$

$$R_k = 500 \Omega$$

$$I_a = 3,2 \pm 0,7 \text{ mA}$$

$$I_{g2} = 0,6 \pm 0,15 \text{ mA}$$

$$S = 2 \pm 0,4 \text{ mA/V}$$

$$R_i = 2 \text{ M}\Omega$$

$$\mu_{g2g1} = 38$$

$$U_b = 250 \text{ V}$$

$$R_a = 0,3 \text{ M}\Omega$$

$$R_{g2} = 1,5 \text{ M}\Omega$$

$$R_{g1} = 1 \text{ M}\Omega$$

$$R_{g1'} = 1 \text{ M}\Omega$$

$$R_k = 2 \text{ k}\Omega$$

$$I_a = 0,61 \text{ mA}$$

$$I_{g2} = 0,11 \text{ mA}$$

$$V = 210 \text{ fach}$$

$$k (U_{a\sim} = 4 V_{eff})$$

$$= 0,6 \%$$

Als Triode geschaltet g_2 an Anode
As triode g_2 connected to anode

$$U_b = 250 \text{ V}$$

$$R_{ag2} = 0,2 \text{ M}\Omega$$

$$R_{g1} = 1 \text{ M}\Omega$$

$$R_{g1'} = 1 \text{ M}\Omega$$

$$R_k = 1,5 \text{ k}\Omega$$

$$I_{a+g2} = 0,85 \text{ mA}$$

$$V = 31 \text{ fach}$$

$$k (U_{a\sim} = 4 V_{eff})$$

$$= 0,6 \%$$

$$c_e = 4,3 \pm 0,5 \text{ pF}$$

$$c_a = 5,5 \pm 0,5 \text{ pF}$$

$$c_{g1a} < 0,06 \text{ pF}$$

$$c_{g1f} < 0,002 \text{ pF}$$

$$U_a = 300 \text{ V}$$

$$N_a = 1 \text{ W}$$

$$U_{g2} = 200 \text{ V}$$

$$N_{g2} = 0,2 \text{ W}$$

$$I_k = 6 \text{ mA}$$

$$R_{g1} = 3 \text{ M}\Omega$$

$$R_{g1^1)} = 10 \text{ M}\Omega$$

$$R_{g1^2)} = 22 \text{ M}\Omega$$

$$U_{fk} = 100 \text{ V}$$

$$R_{fk} = 20 \text{ k}\Omega$$

$$t_{Kolben} = 170 \text{ }^\circ\text{C}$$

1) $N_a < 0,2 \text{ W}$
2) U_{g1} nur durch R_{g1} erzeugt
 U_{g1} produced by voltage drop across R_{g1} only

Spezialröhren · Special tubes

Type · Anwendung
Type · Application

Allgemeine Daten
General data

Betriebswerte
Typical operation

Kapazitäten
Capacitances

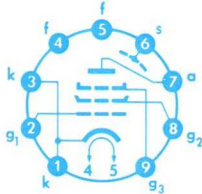
Grenzwerte
Maximum ratings

EF 805 S

Z LL To Spk

Regelbare
HF/ZF-Pentode für
Breitband-Verstärker

Adjustable
RF/IF-pentode for
wide-band amplifier



Pico 9 · Noval
Größe 8 · Outlines 8

$$U_f = 6,3 \text{ V} \pm 5\%$$

$$I_f \text{ ca. } 295 \text{ mA}$$

indirekt geheizt
indirectly heated

$$U_b = U_a = 200 \text{ V}$$

$$U_{g3} = 0 \text{ V}$$

$$U_{g2} = 85 \text{ V}$$

$$R_k = 120 \Omega$$

$$I_a = 10 \pm 2 \text{ mA}$$

$$I_{g2} = 2,5^{+1}_{-0,7} \text{ mA}$$

$$S = 6,5^{+1,1}_{-1,2} \text{ mA/V}$$

$$I_{g1} \leq -0,3 \mu\text{A}$$

HF/ZF-Verstärker
RF/IF-amplifier

$$U_b = U_a = 200 \text{ V}$$

$$U_{g3} = 0 \text{ V}$$

$$R_{g2} = 45 \text{ k}\Omega$$

$$R_k = 120 \Omega$$

$$U_{g1} \text{ ca. } -1,5 \text{ } -30 \text{ V}$$

$$I_a \text{ ca. } 10 \text{ } 0,2 \text{ mA}$$

$$I_{g2} \text{ ca. } 2,5 \text{ } - \text{ mA}$$

$$R_i \text{ ca. } 0,35 \text{ } 5 \text{ M}\Omega$$

$$S \text{ ca. } 6,5 \text{ } 0,065 \text{ mA/V}$$

$$r_{aeq} = 1,5 \text{ } - \text{ k}\Omega$$

$$r_{e100^1)} = 3,5 \text{ } - \text{ k}\Omega$$

$$c_e = 7,7 \pm 0,6 \text{ pF}$$

$$c_a = 3,7 \pm 0,6 \text{ pF}$$

$$c_{g1a} \leq 0,007 \text{ pF}$$

$$c_{g1f} \text{ ca. } 0,05 \text{ pF}$$

$$U_a = 250 \text{ V}$$

$$N_a = 2 \text{ W}$$

$$U_{g2} = 250 \text{ V}$$

$$N_{g2} = 0,45 \text{ W}$$

$$R_{g2} \text{ min. } 45 \text{ k}\Omega$$

$$I_k = 16 \text{ mA}$$

$$U_{g1} = -30 \text{ V}$$

$$R_{g1^2)} = 3 \text{ M}\Omega$$

$$R_{g1^3)} = 1,5 \text{ M}\Omega$$

$$U_{fk} = \pm 100 \text{ V}$$

$$R_{fk} = 20 \text{ k}\Omega$$

$$t_{\text{Kolben}} = 170 \text{ }^\circ\text{C}$$

1) Stift 1 mit Stift 3 verbunden · Pin 1 connected to pin 3

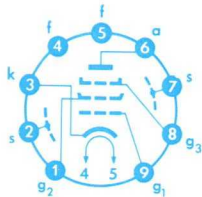
2) U_{g1} autom. · Cathodes grid bias

3) U_{g1} fest · Fixed grid bias

EF 806 S

Z LL To Spk

NF-Pentode
AF-pentode



Pico 9 · Noval
Größe 6 · Outlines 6

$$U_f = 6,3 \text{ V} \pm 5\%$$

$$I_f \text{ ca. } 200 \text{ mA}$$

indirekt geheizt
indirectly heated

$$U_a = 250 \text{ V}$$

$$U_{g3} = 0 \text{ V}$$

$$U_{g2} = 140 \text{ V}$$

$$R_k = 500 \Omega$$

$$I_a = 3,2^{+0,6}_{-0,5} \text{ mA}$$

$$I_{g2} = 0,6 \pm 0,15 \text{ mA}$$

$$S = 2 \pm 0,4 \text{ mA/V}$$

$$R_i = 2,5 \text{ M}\Omega$$

$$\mu_{g2g1} = 38$$

$$I_g \leq -0,1 \mu\text{A}$$

NF-Verstärker
in Widerstandsverstärkerschaltung
Resistance-coupled amplifier

$U_b = 250$	300 V	$U_b = 250$	300 V
$R_a = 100$	$100 \text{ k}\Omega$	$R_a = 220$	$220 \text{ k}\Omega$
$R_{g2} = 390$	$390 \text{ k}\Omega$	$R_{g2} = 1$	$1 \text{ M}\Omega$
$R_{g1'} = 330$	$330 \text{ k}\Omega$	$R_{g1'} = 680$	$680 \text{ k}\Omega$
$R_k = 1$	$1 \text{ k}\Omega$	$R_k = 2,2$	$2,2 \text{ k}\Omega$
$I_k = 2,05$	$2,45 \text{ mA}$	$I_k = 0,9$	$1,1 \text{ mA}$
$V = 112$	116 fach	$V = 180$	188 fach
$U_{a\sim} (k=5\%)$		$U_{a\sim} (k=5\%)$	
	$= 50$		$= 46$
	$64 \text{ V}_{\text{eff}}$		$54 \text{ V}_{\text{eff}}$

$$U_a = 300 \text{ V}$$

$$N_a = 1 \text{ W}$$

$$U_{g2} = 200 \text{ V}$$

$$N_{g2} = 0,2 \text{ W}$$

$$I_k = 6 \text{ mA}$$

$$R_{g1} (N_a < 0,2 \text{ W}) = 10 \text{ M}\Omega$$

$$R_{g1} (N_a > 0,2 \text{ W}) = 3 \text{ M}\Omega$$

$$R_{g1^1)} = 22 \text{ M}\Omega$$

$$U_{fk} = 100 \text{ V}$$

$$R_{fk} = 20 \text{ k}\Omega$$

$$t_{\text{Kolben}} = 170 \text{ }^\circ\text{C}$$

1) U_{g1} nur durch R_{g1} erzeugt ·

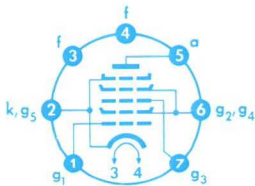
U_{g1} produced by voltage drop across R_{g1} only

EH 900 S

Z LL To Spk

Heptode für
elektronische Schalter

Heptode for
switching applications



Pico 7 · Miniatur
Größe 2 · Outlines 2

$$U_f = 6,3 \text{ V} \pm 5\%$$

$$I_f \text{ ca. } 300 \text{ mA}$$

indirekt geheizt
indirectly heated

$$U_a = 150 \text{ V}$$

$$U_{g2g4} = 75 \text{ V}$$

$$U_{g3} = 0 \text{ V}$$

$$U_{g1} = -10 \text{ V}$$

$$I_a \leq 0,2 \text{ mA}$$

$$U_a = 150 \text{ V}$$

$$U_{g2g4} = 75 \text{ V}$$

$$U_{g3} = -10 \text{ V}$$

$$U_{g1} = 0 \text{ V}$$

$$I_a \leq 0,2 \text{ mA}$$

$$I_{g2g4} = 18,6 \text{ mA}$$

	open	gesperrt blocked	
$U_{ba} = 150$		150	V
$R_a = 20$		20	$\text{k}\Omega$
$U_{bg2g4} = 75$		75	V
$R_{g2g4} = 470$		470	Ω
$R_{g3} = 47$		47	$\text{k}\Omega$
$R_{g1} = 47$		47	$\text{k}\Omega$
$U_{g3} = 0$	0	-10	V
$U_{g1} = 0$	-10	0	V
$I_a = 5 \dots 6,5$	$\leq 0,2$	$\leq 0,2$	mA
$I_{g2+g4} = 9$	0	$13,5$	mA

Absolute Maxima

$$U_a = 250 \text{ V}$$

$$N_a = 1 \text{ W}$$

$$U_{g2g4} = 100 \text{ V}$$

$$N_{g2+g4} = 1 \text{ W}$$

$$U_{g3} = -100 \text{ V}$$

$$U_{g1} = -100 \text{ V}$$

$$I_k = 20 \text{ mA}$$

$$R_{g3} = 1 \text{ M}\Omega$$

$$R_{g1} = 1 \text{ M}\Omega$$

$$R_{g3^1)} = 0,5 \text{ M}\Omega$$

$$R_{g1^1)} = 0,5 \text{ M}\Omega$$

$$U_{fk} = \pm 90 \text{ V}$$

$$R_{fk} = 20 \text{ k}\Omega$$

1) U_g fest
Fixed grid bias

Spezialröhren · Special tubes

Type · Anwendung
Type · Application

Allgemeine Daten
General data

Betriebswerte
Typical operation

Kapazitäten
Capacitances

Grenzwerte
Maximum ratings

EL 34

NF-Leistungspentode
für Leistungsverstärker
in Eintakt- und Gegen-
taktsschaltungen,
Modulationsverstärker
AF-power pentode
for power amplifier
class A and push-pull,
modulation amplifier

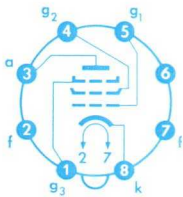
$U_f = 6,3 \text{ V}$
 $I_f \text{ ca. } 1,5 \text{ A}$
indirekt geheizt
indirectly heated
 $U_a = 250 \text{ V}$
 $U_{g3} = 0 \text{ V}$
 $U_{g2} = 265 \text{ V}$
 $R_k = 118 \Omega$
 $I_a = 100 \text{ mA}$
 $I_{g2} = 15 \text{ mA}$
 $S = 11 \text{ mA/V}$
 $R_i = 15 \text{ k}\Omega$
 $\mu_{g2g1} = 11$

Eintakt-A-Betrieb
AF-power amplifier,
class A
 $U_b = 265 \text{ V}$
 $R_{g2} = 0 \text{ k}\Omega$
 $U_{g3} = 0 \text{ V}$
 $U_{g1} = -13,5 \text{ V}$
 $I_a = 100 \text{ mA}$
 $I_{g2} = 14,9 \text{ mA}$
 $R_a = 2 \text{ k}\Omega$
 $U_{g1\sim(N)} = 8,7 \text{ V}_{\text{eff}}$
 $N (10\%) = 11 \text{ W}$
 $U_{g1\sim(50 \text{ mW})} = 0,5 \text{ V}_{\text{eff}}$

2 Röhren Gegentakt-
AB-Betrieb
2 tubes push-pull,
class AB
 $U_b = 375 \text{ V}$
 $R_{g2}^{1)} = 470 \Omega$
 $R_k^{1)} = 130 \Omega$
 $U_{g3} = 0 \text{ V}$
 $I_{a0} = 2 \times 75 \text{ mA}$
 $I_{a \text{ ausgest.}} = 2 \times 95 \text{ mA}$
 $I_{g20} = 2 \times 11,5 \text{ mA}$
 $I_{g2 \text{ ausgest.}} = 2 \times 22,5 \text{ mA}$
 $R_{aa} = 3,4 \text{ k}\Omega$
 $U_{g1\sim(N)} = 21 \text{ V}_{\text{eff}}$
 $N (5\%) = 35 \text{ W}$

$U_{a0} = 2000 \text{ V}$
 $U_a = 800 \text{ V}$
 $N_a = 25 \text{ W}$
 $N_{a \text{ ausgest.}} = 27,5 \text{ W}$
 $U_{g20} = 800 \text{ V}$
 $U_{g2} = 425 \text{ V}$
 $N_{g2} = 8 \text{ W}$
 $I_k = 150 \text{ mA}$
 $R_{g1}^{2)} = 0,7 \text{ M}\Omega$
 $R_{g1}^{3)} = 0,5 \text{ M}\Omega$
 $U_{fk} = 100 \text{ V}$
 $R_{fk} = 20 \text{ k}\Omega$

1) Gemeinsam
Common
2) $U_{g1 \text{ autom.}}$
Cathodes grid bias
3) $U_{g1 \text{ fest}}$
Fixed grid bias



Octal
Größe 23 · Outlines 23

2 Röhren Gegentakt-
B-Betrieb
2 tubes push-pull,
class B

$U_{ba} = 800 \text{ V}$
 $U_{bg2} = 400 \text{ V}$
 $R_{g2}^{1)} = 750 \Omega$
 $U_{g1} = -39 \text{ V}$
 $I_{a0} = 2 \times 25 \text{ mA}$
 $I_{a \text{ ausgest.}} = 2 \times 91 \text{ mA}$
 $I_{g20} = 2 \times 3 \text{ mA}$
 $I_{g2 \text{ ausgest.}} = 2 \times 19 \text{ mA}$
 $R_{aa} = 11 \text{ k}\Omega$
 $U_{g1\sim(N)} = 23,4 \text{ V}_{\text{eff}}$
 $N (5\%) = 100 \text{ W}$

2 Röhren als Trioden
geschaltet in Gegen-
takt-AB-Betrieb
2 tubes connected as
triodes in push-pull,
class AB

$U_b = 400 \text{ V}$
 $U_{g3} = 0 \text{ V}$
 $R_k^{1)} = 220 \Omega$
 $I_{k0} = 2 \times 65 \text{ mA}$
 $I_{k \text{ ausgest.}} = 2 \times 71 \text{ mA}$
 $R_{aa} = 5 \text{ k}\Omega$
 $U_{g1\sim(N)} = 22 \text{ V}_{\text{eff}}$
 $N (3\%) = 16,5 \text{ W}$

EL 152

Strahlungsgekühlte
85 W-Pentode
Radiation-cooled
85 W-pentode

$U_f = 6,3 \text{ V}$
 $I_f \text{ ca. } 1,55 \text{ A}$
Oxyd-Kathode
Oxide-cathode
indirekt geheizt
indirectly heated
 $U_a = 800 \text{ V}$
 $U_{g2} = 250 \text{ V}$
 $U_{g3} = 0 \text{ V}$
 $R_k = 800 \Omega$
 $I_a = 50 \text{ mA}$
 $I_{g2} = 1 \text{ mA}$
 $S = 4 \text{ mA/V}$
 $\mu_{g2g1} = 5$

HF-Verstärker, B-Betrieb
RF-amplifier, class B
 $f \leq 120 \text{ MHz}$
 $U_a = 600 \text{ V}$
 $U_{g2} = 250 \text{ V}$
 $U_{g1} = -80 \text{ V}$
 $U_{g1\sim sp} \text{ ca. } 110 \text{ V}$
 $I_a \text{ ca. } 130 \text{ mA}$
 $I_{g2} \text{ ca. } 10 \text{ mA}$
 $I_{g1} \text{ ca. } 7 \text{ mA}$
 $N_{stHF} \text{ ca. } 4 \text{ W}$
 $N_{a\sim} \text{ ca. } 40 \text{ W}$
 $R_a \text{ ca. } 2 \text{ k}\Omega$

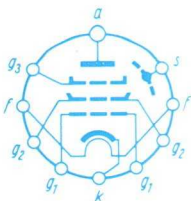
$c_e \text{ ca. } 14,5 \text{ pF}$
 $c_a \text{ ca. } 10 \text{ pF}$
 $c_{g1a} \leq 0,11 \text{ pF}$

$f \leq 45 \text{ MHz}$
 $U_a = 1000 \text{ V}$
 $U_{asp} = 3000 \text{ V}$
 $Q_a = 40 \text{ W}$
 $U_{g3} = -400 \text{ V}$
 $Q_{g3} = 1 \text{ W}$
 $R_{g3} = 25 \text{ k}\Omega$
 $U_{g20} = 800 \text{ V}$
 $U_{g2} = 300 \text{ V}$
 $Q_{g2} = 5 \text{ W}$
 $U_{g1} = -300 \text{ V}$
 $Q_{g1} = 1 \text{ W}$
 $R_{g1} = 25 \text{ k}\Omega$
 $I_k = 230 \text{ mA}$
 $U_{fk} = 200 \text{ V}$
 $R_{fk} = 5 \text{ k}\Omega$
 $t_{\text{Kolben}} = 300 \text{ }^\circ\text{C}$
 $f_{\text{max}} = 120 \text{ MHz}$

HF-Verstärker,
Vorstufen-Modulation
RF-amplifier,
pre-stage modulation

$f \leq 45 \text{ MHz}$
 $U_a = 1000 \text{ V}$
 $U_{g2} = 300 \text{ V}$
 $U_{g1} \text{ ca. } -60 \text{ V}$
 $U_{g1\sim sp} \text{ ca. } 55 \text{ V}$
 $I_{a0} = 30 \text{ mA}$
 $I_a \text{ ca. } 100 \text{ mA}$
 $I_{g2} \text{ ca. } 9 \text{ mA}$
 $N_{a\sim} = 70 \text{ W}$
 $R_a = 6 \text{ k}\Omega$

Zubehör · Accessories
Fassung Lg.-Nr. 30216
Socket stock no. 30216



Größe 50 · Outlines 50

Spezialröhren · Special tubes

Type · Anwendung
Type · Application

Allgemeine Daten
General data

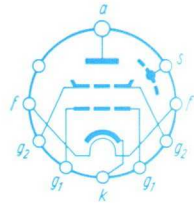
Betriebswerte
Typical operation

Kapazitäten
Capacitances

Grenzwerte
Maximum ratings

EL 153

Strahlungsgekühlte
85 W-Tetrode
Radiation-cooled
85 W-tetrode



Größe 50 · Outlines 50

$U_f = 6,3 \text{ V}$
 $I_f \text{ ca. } 1,55 \text{ A}$
Oxyd-Kathode
Oxide-cathode
indirekt geheizt
indirectly heated
 $U_a = 800 \text{ V}$
 $U_{g2} = 250 \text{ V}$
 $R_k = 1 \text{ k}\Omega$
 $I_a = 50 \text{ mA}$
 $I_{g2} = 1 \text{ mA}$
 $S = 4 \text{ mA/V}$
 $\mu_{g2g1} = 5$

HF-Verstärker, B-Betrieb
RF-amplifier, class B
 $f = 100 \text{ } 175 \text{ MHz}$
 $U_a = 650 \text{ } 500 \text{ V}$
 $U_{g2} = 210 \text{ } 210 \text{ V}$
 $U_{g1} = -80 \text{ } -80 \text{ V}$
 $U_{g1\sim} = 110 \text{ } 100 \text{ V}$
 $I_a = 130 \text{ } 130 \text{ mA}$
 $I_{g2} \text{ ca. } 4 \text{ } 2 \text{ mA}$
 $I_{g1} \text{ ca. } 4 \text{ } 3,5 \text{ mA}$
 $N_{stHF} \text{ ca. } 4 \text{ } 4,5 \text{ W}$
 $N_{a\sim} \text{ ca. } 50 \text{ } 30 \text{ W}$

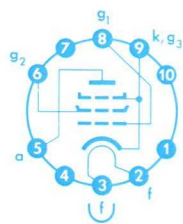
$c_e \text{ ca. } 14 \text{ pF}$
 $c_a \text{ ca. } 6 \text{ pF}$
 $c_{g1a} \leq 0,35 \text{ pF}$

$U_a = 650 \text{ V}$
 $U_{asp} = 1250 \text{ V}$
 $Q_a = 40 \text{ W}$
 $U_{g2o} = 800 \text{ V}$
 $U_{g2} = 300 \text{ V}$
 $Q_{g2} = 5 \text{ W}$
 $U_{g1} = -300 \text{ V}$
 $Q_{g1} = 1 \text{ W}$
 $R_{g1} = 25 \text{ k}\Omega$
 $I_k = 230 \text{ mA}$
 $R_{fk} = 5 \text{ k}\Omega$
 $U_{fk} = 200 \text{ V}$
 $t_{Kolben} = 300 \text{ }^\circ\text{C}$
 $f_{max} = 200 \text{ MHz}$

Zubehör · Accessories
Fassung Lg.-Nr. 30216
Socket stock no. 30216

EL 156

NF-Leistungspentode
AF-power pentode



Stahl 10

Größe 28 · Outlines 28

$U_f = 6,3 \text{ V}$
 $I_f \text{ ca. } 1,9 \text{ A}$
indirekt geheizt
indirectly heated
 $U_a = 440 \text{ V}$
 $U_{g2} = 350 \text{ V}$
 $R_k = 150 \Omega$
 $I_a = 100 \text{ mA}$
 $I_{g2} = 16 \text{ mA}$
 $S = 11 \text{ mA/V}$
 $\mu_{g2g1} = 15$

Eintakt-A-Betrieb
AF-power amplifier, class A

$U_a = 350 \text{ V}$
 $U_{g2} = 250 \text{ V}$
 $R_k = 60 \Omega$
 $I_a = 120 \text{ mA}$
 $I_{g2} = 15 \text{ mA}$
 $R_a = 4 \text{ k}\Omega$
 $U_{g1\sim} (N) = 6 \text{ V}_{eff}$
 $N (8\%/o) = 15 \text{ W}$

$U_a = 450 \text{ V}$
 $U_{g2} = 280 \text{ V}$
 $R_k = 90 \Omega$
 $I_a = 112 \text{ mA}$
 $I_{g2} = 17 \text{ mA}$
 $R_a = 3,8 \text{ k}\Omega$
 $U_{g1\sim} (N) = 9,2 \text{ V}_{eff}$
 $N (9\%/o) = 25 \text{ W}$

$U_{ao} = 1600 \text{ V}$
 $U_a = 800 \text{ V}$
 $N_a = 50 \text{ W}$
 $N_a^1) = 40 \text{ W}$
 $U_{g2o} = 800 \text{ V}$
 $U_{g2} = 450 \text{ V}$
 $N_{g2} = 8 \text{ W}$
 $N_{g2 \text{ ausgest.}} = 12 \text{ W}$
 $I_k = 180 \text{ mA}$
 $R_{g1} = 100 \text{ k}\Omega$
 $U_{fk} = 50 \text{ V}$
 $R_{fk} = 1 \text{ k}\Omega$

2 Röhren Gegentakt-
AB-Betrieb
in Triodenschaltung
2 tubes push-pull,
class AB,
triodes connection

$U_{ag2} = 500 \text{ V}$
 $R_k = 2 \times 250 \Omega$
 $I_{ko} = 2 \times 110 \text{ mA}$
 $I_{k \text{ ausgest.}} = 2 \times 120 \text{ mA}$
 $R_{aa} = 2,8 \text{ k}\Omega$
 $U_{g1\sim} (N) = 22 \text{ V}_{eff}$
 $N (2\%/o) = 30 \text{ W}$

2 Röhren Gegentakt-
AB-Betrieb, U_{g1} fest
2 tubes push-pull,
class AB, fixed grid bias

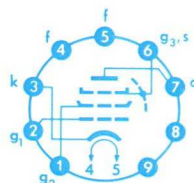
$U_a = 800 \text{ V}$
 $U_{g2} = 350 \text{ V}$
 $U_{g1} = -24 \text{ V}$
 $I_{ao} = 2 \times 45 \text{ mA}$
 $I_{a \text{ ausgest.}} = 2 \times 120 \text{ mA}$
 $I_{g2o} = 2 \times 5 \text{ mA}$
 $I_{g2 \text{ ausgest.}} = 2 \times 25 \text{ mA}$
 $R_{aa} = 9,5 \text{ k}\Omega$
 $U_{g1\sim} (N) = 18 \text{ V}_{eff}$
 $N (6\%/o) = 130 \text{ W}$

Als Triode
As triode
 $U_{ag2} = 500 \text{ V}$

¹⁾ U_{g1} fest
Fixed grid bias

EL 803

Leistungspentode für
Breitband-Verstärker
Power pentode for
wide-band amplifier



Pico 9 · Noval

Größe 11 · Outlines 11

$U_f = 6,3 \text{ V}$
 $I_f \text{ ca. } 730 \text{ mA}$
indirekt geheizt
indirectly heated
 $U_a = 200 \text{ V}$
 $U_{g3} = 0 \text{ V}$
 $U_{g2} = 200 \text{ V}$
 $R_k = 110 \Omega$
 $I_a = 32 \text{ mA}$
 $I_{g2} = 4,7 \text{ mA}$
 $S = 10 \text{ mA/V}$
 $R_i = 0,1 \text{ M}\Omega$
 $\mu_{g2g1} = 22$

$c_e = 10,4 \text{ pF}$
 $c_a = 8 \text{ pF}$
 $c_{g1a} \leq 0,12 \text{ pF}$
 $c_{g1f} \leq 0,15 \text{ pF}$

$U_a = 250 \text{ V}$
 $N_a = 9 \text{ W}$
 $U_{g2} = 250 \text{ V}$
 $N_{g2} = 2 \text{ W}$
 $I_k = 70 \text{ mA}$
 $R_{g1} = 1 \text{ M}\Omega$
 $R_{g1}^1) = 0,5 \text{ M}\Omega$
 $U_{fk} = 120 \text{ V}$
 $R_{fk} = 20 \text{ k}\Omega$

¹⁾ U_{g1} fest
Fixed grid bias

Spezialröhren · Special tubes

Type · Anwendung
Type · Application

Allgemeine Daten
General data

Betriebswerte
Typical operation

Kapazitäten
Capacitances

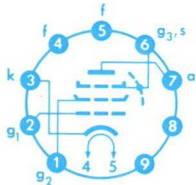
Grenzwerte
Maximum ratings

EL 803 S

Z LL To Sfo Spk

Leistungspentode für
Breitband-Verstärker

Power pentode for
wide-band amplifier



Pico 9 · Noval

Größe 11 · Outlines 11

$$U_f = 6,3 \text{ V} \pm 5\%$$

$$I_f \text{ ca. } 730 \text{ mA}$$

indirekt geheizt
indirectly heated

$$U_a = 200 \text{ V}$$

$$U_{g3} = 0 \text{ V}$$

$$U_{g2} = 200 \text{ V}$$

$$R_k = 110 \Omega$$

$$I_a = 32^{+4}_{-4,5} \text{ mA}$$

$$I_{g2} = 4,7 \pm 0,9 \text{ mA}$$

$$S = 10 \pm 1,8 \text{ mA/V}$$

$$R_i = 100 \text{ k}\Omega$$

$$\mu_{g2g1} = 22$$

$$c_e = 10,4^{+1,1}_{-0,4} \text{ pF}$$

$$c_a = 8,0 \pm 0,4 \text{ pF}$$

$$c_{g1a} \leq 0,12 \text{ pF}$$

$$c_{g1f} \leq 0,15 \text{ pF}$$

$$U_a = 250 \text{ V}$$

$$N_a = 6,5 \text{ W}$$

$$U_{g2} = 250 \text{ V}$$

$$N_{g2} = 1,5 \text{ W}$$

$$I_k = 40 \text{ mA}$$

$$R_{g1}^{1)} = 1 \text{ M}\Omega$$

$$R_{g1}^{2)} = 0,5 \text{ M}\Omega$$

$$U_{fk} = 120 \text{ V}$$

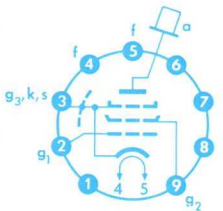
$$R_{fk} = 20 \text{ k}\Omega$$

1) U_{g1} autom.
Cathodes grid bias
2) U_{g1} fest
Fixed grid bias

EL 804

Leistungspentode für
Breitband-Verstärker

Power pentode for
wide-band amplifier



Pico 9 · Noval

Größe 14 · Outlines 14

$$U_f = 6,3 \text{ V}$$

$$I_f \text{ ca. } 700 \text{ mA}$$

indirekt geheizt
indirectly heated

$$U_a = 140 \text{ V}$$

$$U_{g2} = 170 \text{ V}$$

$$R_k = 160 \Omega$$

$$I_a = 70 \text{ mA}$$

$$I_{g2} = 5 \text{ mA}$$

$$S = 10 \text{ mA/V}$$

$$R_i = 14 \text{ k}\Omega$$

$$\mu_{g2g1} = 9$$

$$c_e = 13 \text{ pF}$$

$$c_a = 8 \text{ pF}$$

$$c_{g1a} \leq 0,15 \text{ pF}$$

$$c_{g1f} \leq 0,2 \text{ pF}$$

$$U_a = 250 \text{ V}$$

$$N_a = 10 \text{ W}$$

$$U_{g2} = 250 \text{ V}$$

$$N_{g2} = 1,75 \text{ W}$$

$$N_{g2 \text{ ausgest.}} = 4 \text{ W}$$

$$I_k = 100 \text{ mA}$$

$$R_{g1} = 1 \text{ M}\Omega$$

$$U_{fk} = 50 \text{ V}$$

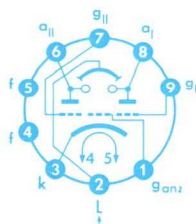
$$R_{fk} = 20 \text{ k}\Omega$$

$$t_{\text{Kolben}} = 245 \text{ }^\circ\text{C}$$

EMM 801

Anzeigeröhre zum
Spannungsvergleich

Indicator tube for
voltage comparison



Pico 9 · Noval

Größe 8 · Outlines 8

$$U_f = 6,3 \text{ V}$$

$$I_f \text{ ca. } 300 \text{ mA}$$

$$I_f = 300 \text{ mA}$$

$$U_f \text{ ca. } 6,3 \text{ V}$$

indirekt geheizt
indirectly heated

Triode
per System

$$U_a = 100 \text{ V}$$

$$U_g = -2 \text{ V}$$

$$I_a = 2,5 \text{ mA}$$

$$S = 1 \text{ mA/V}$$

$$\mu = 19$$

$$U_b = U_L = 250 \text{ V}$$

$$R_{aI} = R_{aII} = 400 \text{ k}\Omega$$

$$U_{g \text{ anz.}} = 0 \text{ V}$$

$$U_{gI} = U_{gII} = 0 \dots -20 \text{ V}$$

$$R_{gI} = R_{gII} = 2 \text{ M}\Omega$$

$$I_L = 1,5 \dots 2,5 \text{ mA}$$

$$I_{aI} = I_{aII} = 540 \dots 150 \mu\text{A}$$

$$b_I = b_{II}^{1)} = 27 \dots 0 \text{ mm}$$

max. Schattenlängenunterschied
max. difference of shadow length

$$\text{bei } U_{gI} = U_{gII} = -1,3 \text{ V}$$

$$b_{II} - b_I = 2 \text{ mm}$$

$$U_a = 300 \text{ V}$$

$$N_a^{2)} = 0,2 \text{ W}$$

$$U_L \text{ max. } 300 \text{ V}$$

$$U_L \text{ min. } 170 \text{ V}$$

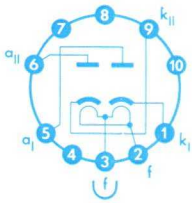
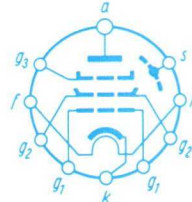
$$I_k = 12 \text{ mA}$$

$$R_g = 3 \text{ M}\Omega$$

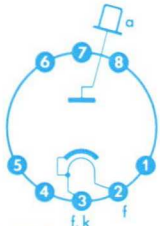
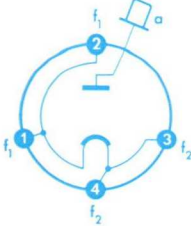
$$U_{fk} = 100 \text{ V}$$

1) Schattenlänge · Length of shadow
2) per System

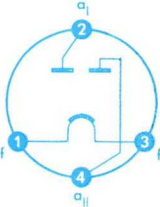
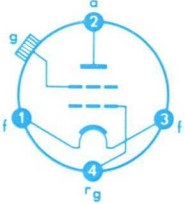
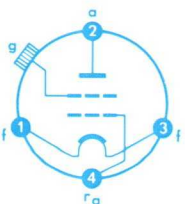
Spezialröhren • Special tubes

Type • Anwendung Type • Application	Allgemeine Daten General data	Betriebswerte Typical operation	Kapazitäten Capacitances	Grenzwerte Maximum ratings
EZ 150 Zweiweg-Gleichrichter mit getrennten Kathoden Full-wave rectifier with separate cathodes  Stahl 10 Größe 28 • Outlines 28	$U_f = 6,3 \text{ V}$ $I_f \text{ ca. } 3 \text{ A}$ indirekt geheizt indirectly heated			C-Eingang Condenser input $U_{Tr} = 2 \times 600 \text{ V}_{eff}$ $I_{=} = 380 \text{ mA}$ $R = 2 \times 100 \Omega$ $C_L = 16 \mu\text{F}$ L-Eingang Choke input $U_{Tr} = 2 \times 600 \text{ V}_{eff}$ $I_{=} = 560 \text{ mA}$ $R = 2 \times 50 \Omega$ $L = 5 \text{ Hy}$ $U_{fksp} = 750 \text{ V}$
FL 152 Strahlungsgekühlte 85 W-Pentode Radiation-cooled 85 W-pentode  Größe 50 • Outlines 50	$U_f = 12,6 \text{ V}$ $I_f \text{ ca. } 0,8 \text{ A}$ Oxyd-Kathode Oxide-cathode indirekt geheizt indirectly heated $U_a = 800 \text{ V}$ $U_{g2} = 250 \text{ V}$ $U_{g3} = 0 \text{ V}$ $R_k = 800 \Omega$ $I_a = 50 \text{ mA}$ $I_{g2} = 1 \text{ mA}$ $S = 4 \text{ mA/V}$ $\mu_{g2g1} = 5$	HF-Verstärker, B-Betrieb RF-amplifier, class B $f \leq 120 \text{ MHz}$ $U_a = 600 \text{ V}$ $U_{g2} = 250 \text{ V}$ $U_{g1} = -80 \text{ V}$ $U_{g1 \sim sp} \text{ ca. } 110 \text{ V}$ $I_a \text{ ca. } 130 \text{ mA}$ $I_{g2} \text{ ca. } 10 \text{ mA}$ $I_{g1} \text{ ca. } 7 \text{ mA}$ $N_{stHF} \text{ ca. } 4 \text{ W}$ $N_{a \sim} \text{ ca. } 40 \text{ W}$ $R_a \text{ ca. } 2 \text{ k}\Omega$ HF-Verstärker, Vorstufen-Modulation RF-amplifier, pre-stage modulation $f \leq 45 \text{ MHz}$ $U_a = 1000 \text{ V}$ $U_{g2} = 300 \text{ V}$ $U_{g1} \text{ ca. } -60 \text{ V}$ $U_{g1 \sim sp} \text{ ca. } 55 \text{ V}$ $I_{ao} = 30 \text{ mA}$ $I_a \text{ ca. } 100 \text{ mA}$ $I_{g2} \text{ ca. } 9 \text{ mA}$ $N_{a \sim} = 70 \text{ W}$ $R_a = 6 \text{ k}\Omega$	$c_e \text{ ca. } 14,5 \text{ pF}$ $c_a \text{ ca. } 10 \text{ pF}$ $c_{g1a} \leq 0,11 \text{ pF}$	$f \leq 45 \text{ MHz}$ $U_a = 1000 \text{ V}$ $U_{asp} = 3000 \text{ V}$ $Q_a = 40 \text{ W}$ $U_{g3} = -400 \text{ V}$ $Q_{g3} = 1 \text{ W}$ $R_{g3} = 25 \text{ k}\Omega$ $U_{g2o} = 800 \text{ V}$ $U_{g2} = 300 \text{ V}$ $Q_{g2} = 5 \text{ W}$ $U_{g1} = -300 \text{ V}$ $Q_{g1} = 1 \text{ W}$ $R_{g1} = 25 \text{ k}\Omega$ $I_k = 230 \text{ mA}$ $U_{fk} = 200 \text{ V}$ $R_{fk} = 5 \text{ k}\Omega$ $t_{Kolben} = 300 \text{ }^\circ\text{C}$ $f_{max} = 120 \text{ MHz}$
IM 1 Ionisationsmanometer-Röhre Vacuum-gauge tube ionization type Siehe Abbildung 30 auf Seite 71 See picture 30 at page 71	$U_f \text{ max. } 6 \text{ V}$	$U_a = -10 \text{ V}$ $U_g = 200 \text{ V}$ $I_g = 1 \text{ mA}$		$I_f = 850 \text{ mA}$ (Durchbrennstromstärke) (Blow current) Sättigungsstrom Saturation current = 8 mA
			Zubehör • Accessories Fassung Lg.-Nr. 30215 Socket stock no. 30215	
			Zubehör • Accessories Fassung Lg.-Nr. 30216 Socket stock no. 30216	

Spezialröhren · Special tubes

Type · Anwendung Type · Application	Allgemeine Daten General data	Betriebswerte Typical operation	Kapazitäten Capacitances	Grenzwerte Maximum ratings
IM 5				
Ionisationsmanometer-Röhre Vacuum-gauge tube ionization type Siehe Abbildung 31 auf Seite 71 See picture 31 at page 71		Die IM 5 hat ein Fadenreservoir. Einbau der Röhre in die Apparatur erfolgt mittels des an der Röhre befindlichen geschliffenen Glaskonusses. Technische Daten siehe IM 1. The IM 5 has filament reserve. The tube is mounted onto the apparatus by ground glass cone. Technical data see IM 1.		
IM 8				
Ionisationsmanometer-Röhre Vacuum-gauge tube ionization type		Technische Daten auf Anfrage. Technical data on request.		
RFG 5				
Einweg-Gleichrichter für Kathodenstrahlröhren Half-wave rectifier for cathode-ray tubes	$U_f = 6,3 \text{ V}$ $I_f \text{ ca. } 200 \text{ mA}$ indirekt geheizt indirectly heated	Für Spannungsverdopplerschaltungen geeignet Suitable for voltage doubler circuits		$U_{asperr} = 16 \text{ 8,5 kV}$ $U_{Tr} = 5,5 \text{ 3 kV}_{eff}$ $I_{=} = 2 \text{ 10 mA}$ $R = 20 \text{ 20 k}\Omega$ $C_L = 0,05 \text{ 0,1 }\mu\text{F}$
 Stahl 8 Größe 27 · Outlines 27				
RG 62 D				
Einweg-Gleichrichter Half-wave rectifier	$U_f = 2,5 \text{ V}$ $I_f \text{ ca. } 4 \text{ A}$ Oxyd-Kathode Oxide-cathode direkt geheizt directly heated Anheizzeit Warm-up time min. 3 s	C-Eingang ($f = 50 \text{ Hz}$) Capacitor input Einweg-Gleichrichter Half-wave rectifier $U_{Tr\ leer} = 1650 \text{ V}_{eff}$ $U_{Tr} \text{ ca. } 1600 \text{ V}_{eff}$ $C_L = 4 \mu\text{F}$ $R = 200 \Omega$ $U_{=} \text{ ca. } 2000 \text{ V}$ $I_{=} = 100 \text{ mA}$ Zweiweg-Gleichrichter Full-wave rectifier 2 Röhren · 2 tubes $U_{Tr\ leer} = 2 \times 1650 \text{ V}_{eff}$ $U_{Tr} \text{ ca. } 2 \times 1600 \text{ V}_{eff}$ $C_L = 4 \mu\text{F}$ $R = 200 \Omega$ $U_{=} \text{ ca. } 2000 \text{ V}$ $I_{=} = 200 \text{ mA}$	Drossel-Eingang ($f = 50 \text{ Hz}$) Choke input Zweiweg-Gleichrichter Full-wave rectifier 2 Röhren · 2 tubes $U_{Tr\ leer} = 2 \times 1650 \text{ V}_{eff}$ $U_{Tr} \text{ ca. } 2 \times 1600 \text{ V}_{eff}$ $L_{Sieb} = 10 \text{ Hy}$ $C_{Sieb} = 4 \mu\text{F}$ $R = 200 \Omega$ $U_{=} \text{ ca. } 1400 \text{ V}$ $I_{=} = 250 \text{ mA}$ Zubehör · Accessories Fassung Lg.-Nr. 30 203 Socket stock no. 30 203	$U_{sperr} = 4600 \text{ V}$ $U_{Tr} = 1650 \text{ V}_{eff}$ $I_{ksp} = 800 \text{ mA}$ $I_k (U_{=} \leq 800 \text{ V}) = 175 \text{ mA}$ $I_k (U_{=} \geq 800 \text{ V}) = 150 \text{ mA}$ $N_a (U_{sperr} \leq 3600 \text{ V}) = 15 \text{ W}$ $N_a (U_{sperr} > 3600 \text{ V}) = 10 \text{ W}$ $C_L (U_a \leq 1000 \text{ V}) = 8 \mu\text{F}$ $C_L (U_a > 1000 \text{ V}) = 4 \mu\text{F}$ $R = 200 \Omega$
 Stift 4 Größe 33 · Outlines 33				

Spezialröhren · Special tubes

Type · Anwendung Type · Application	Allgemeine Daten General data	Betriebswerte Typical operation	Kapazitäten Capacitances	Grenzwerte Maximum ratings
RG 105 Zweiweg-Gleichrichter Full-wave rectifier  Stift 4 Größe 32 · Outlines 32	$U_f = 2,5 \text{ V}$ $I_f \text{ ca. } 4,5 \text{ A}$ Oxyd-Kathode Oxide-cathode direkt geheizt directly heated Anheizzeit Warm-up time ca. 1,5 s	Zweiweg-Gleichrichtung mit Drossel-Eingang Full-wave rectification with choke input $U_{Tr} = 2 \times 500 \text{ V}_{eff}$ $L_{Sieb} = 10 \text{ Hy}$ $C_{Sieb} = 4 \text{ } \mu\text{F}$ $U_{=} = 400 \text{ V}$ $I_{=} = 250 \text{ mA}$		$U_{sperr} = 1,4 \text{ kV}$ $U_{Tr} = 500 \text{ V}_{eff}$ $I_{sp} = 400 \text{ mA}$ $N_a = 10 \text{ W}$
			Zubehör · Accessories Fassung Lg.-Nr. 30 203 Socket stock no. 30 203	
T 113 Elektrometerröhre Electrometer tube  Stift 4 Größe 24 · Outlines 24	$U_f = 3 \text{ V}$ $I_f \text{ ca. } 100 \text{ mA}$ direkt geheizt directly heated	$U_a = 10 \text{ V}$ $U_{rg} = 10 \text{ V}$ $U_g = -3 \text{ V}$ $I_a = 0,24 \text{ mA}$ $S = 0,18 \text{ mA/V}$ $D = 40 \text{ } \text{‰}$ $I_g < 6 \times 10^{-13} \text{ A}$		$U_a = 12 \text{ V}$ $U_{rg} = 12 \text{ V}$
			Bezugspunkt für alle Spannungswerte ist das negative Heizfadenende. The negative filament terminal is taken as the datum point of which other electrode voltages are referred.	
T 116 Elektrometerröhre Electrometer tube  Stift 4 Größe 24 · Outlines 24	direkt geheizt directly heated $U_f = 1,25 \text{ V}$ $I_f \text{ ca. } 50 \text{ mA}$	$U_a = 10 \text{ V}$ $U_{rg} = 10 \text{ V}$ $U_g = -3 \text{ V}$ $I_a = 0,24 \text{ mA}$ $S = 0,18 \text{ mA/V}$ $D = 40 \text{ } \text{‰}$ $I_g < 6 \times 10^{-13} \text{ A}$		$U_a = 12 \text{ V}$ $U_{rg} = 12 \text{ V}$
			Bezugspunkt für alle Spannungswerte ist das negative Heizfadenende. The negative filament terminal is taken as the datum point of which other electrode voltages are referred.	

Spezialröhren · Special tubes

Type · Anwendung
Type · Application

Allgemeine Daten
General data

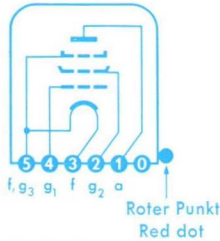
Betriebswerte
Typical operation

Kapazitäten
Capacitances

Grenzwerte
Maximum ratings

5672

NF-Endpentode
AF-output pentode



Submin 5

Größe 16 · Outlines 16

$U_f = 1,25 \text{ V}$
 $I_f \text{ ca. } 50 \text{ mA}$
direkt geheizt
directly heated
 $U_a = 67,5 \text{ V}$
 $U_{g2} = 67,5 \text{ V}$
 $U_{g1} = -6,5 \text{ V}$
 $I_a = 3,1 \text{ mA}$
 $I_{g2} = 0,95 \text{ mA}$
 $S = 0,65 \text{ mA/V}$
 $R_i \text{ ca. } 150 \text{ k}\Omega$
 $\mu_{g2g1} = 5$

Endverstärker
Output amplifier
 $U_a = 67,5 \text{ V}$
 $U_{g2} = 67,5 \text{ V}$
 $U_{g1} = -6,5 \text{ V}$
 $I_a = 3,1 \text{ mA}$
 $I_{g2} = 0,95 \text{ mA}$
 $U_{g1\sim} = 4,5 \text{ Veff}$
 $R_a = 20 \text{ k}\Omega$
 $N (10^0/\theta) = 65 \text{ mW}$

ohne äußere Abschirmung
without external shield
 $c_e \text{ ca. } 2,8 \text{ pF}$
 $c_a \text{ ca. } 3,4 \text{ pF}$
 $c_{g1a} < 0,2 \text{ pF}$

$U_a = 90 \text{ V}$
 $U_a^{1)} = 100 \text{ V}$
 $N_a = 0,3 \text{ W}$
 $U_{g2} = 90 \text{ V}$
 $U_{g2}^{1)} = 100 \text{ V}$
 $N_{g2} = 0,1 \text{ W}$
 $I_k = 5,5 \text{ mA}$
 $R_{g1} = 1 \text{ M}\Omega$

¹⁾ Kurzzeitig
Momentary

Anschlußdraht „0“ ist abgeschnitten.
Roter Punkt ist Anschlußdraht „0“ benachbart.

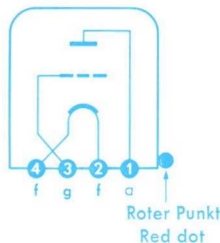
Terminal wire "0" is cut off.
The red dot is adjacent to base connection "0".

Bezugspunkt für alle Spannungswerte ist das negative Heizfadenende.

The negative filament terminal is taken as the datum point of which other electrode voltages are referred.

5676

HF-Triode
RF-triode



Submin 4

Größe 16 · Outlines 16

$U_f = 1,25 \text{ V}$
 $I_f \text{ ca. } 120 \text{ mA}$
direkt geheizt
directly heated
 $U_a = 135 \text{ V}$
 $U_g = -5 \text{ V}$
 $I_a = 4 \text{ mA}$
 $S = 1,6 \text{ mA/V}$
 $\mu = 15$

Oszillator
Oscillator
 $U_a = 135 \text{ V}$
 $R_g = 10 \text{ k}\Omega$
 $I_a = 9 \text{ mA}$
 $I_g = 150 \dots 500 \mu\text{A}$
 $f = 100 \dots 350 \text{ MHz}$

mit äußerer Abschirmung
with external shield
 $c_e \text{ ca. } 1,35 \text{ pF}$
 $c_a \text{ ca. } 3,2 \text{ pF}$
 $c_{ga} \text{ ca. } 1,3 \text{ pF}$

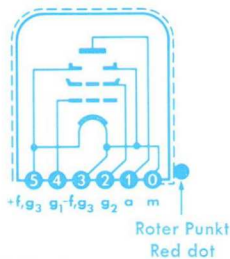
$U_a = 135 \text{ V}$
 $I_k = 10 \text{ mA}$

Bezugspunkt für alle Spannungswerte ist das negative Heizfadenende.

The negative filament terminal is taken as the datum point of which other electrode voltages are referred.

5678

HF-Pentode
RF-pentode



Submin 5

Größe 16 · Outlines 16

$U_f = 1,25 \text{ V}$
 $I_f \text{ ca. } 50 \text{ mA}$
direkt geheizt
directly heated
 $U_a = 67,5 \text{ V}$
 $U_{g2} = 67,5 \text{ V}$
 $U_{g1} = 0 \text{ V}$
 $R_{g1} = 5 \text{ M}\Omega$
 $I_a = 1,8 \text{ mA}$
 $I_{g2} = 0,5 \text{ mA}$
 $S = 1,1 \text{ mA/V}$
 $R_i = 1 \text{ M}\Omega$
 $\mu_{g2g1} = 23$

HF-Verstärker
RF-amplifier
 $U_a = 45 \text{ V}$
 $U_{g2} = 45 \text{ V}$
 $U_{g1} = 0 \text{ V}$
 $R_{g1} = 5 \text{ M}\Omega$
 $I_a = 0,8 \text{ mA}$
 $I_{g2} = 0,22 \text{ mA}$
 $U_{g1} (S = 10 \mu\text{A/V}) = -3 \text{ V}$

$c_e \text{ ca. } 3,7 \text{ pF}$
 $c_a \text{ ca. } 4,6 \text{ pF}$
 $c_{g1a} \leq 0,01 \text{ pF}$

$U_a = 90 \text{ V}$
 $N_a = 0,2 \text{ W}$
 $U_{g2} = 67,5 \text{ V}$
 $N_{g2} = 0,1 \text{ W}$
 $I_k = 3 \text{ mA}$
 $R_{g1} = 5 \text{ M}\Omega$

Anschlußdraht „0“ liegt im Innern der Röhre an -f, g_3 und ist außen zur Verbindung mit der Abschirmung um den Röhrenkolben gelegt.
Roter Punkt ist Anschlußdraht „0“ benachbart.

Terminal wire "0" is connected to -f and g_3 within the tube, and is wound around the bulb to make contact with the external conductive coating.
The red dot is adjacent to base connection "0".

Bezugspunkt für alle Spannungswerte ist das negative Heizfadenende.

The negative filament terminal is taken as the datum point of which other electrode voltages are referred.

Spezialröhren · Special tubes

Type · Anwendung
Type · Application

Allgemeine Daten
General data

Betriebswerte
Typical operation

Kapazitäten
Capacitances

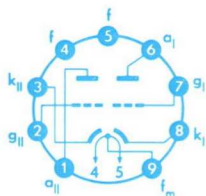
Grenzwerte
Maximum ratings

5965

Z LL To Spk

Doppeltriode mit
getrennten Kathoden
für Rechenmaschinen

Twin triode with
separate cathodes
for computers



Pico 9 · Noval

Größe 6 · Outlines 6

$$U_f = 6,3 \text{ V} \pm 5\%$$

$$I_f \text{ ca. } 450 \text{ mA}$$

$$U_f = 12,6 \text{ V} \pm 5\%$$

$$I_f \text{ ca. } 225 \text{ mA}$$

indirekt geheizt
indirectly heated

per System

$$U_a = 150 \text{ V}$$

$$R_k = 220 \Omega$$

$$I_a = 8,5 \pm 2,2 \text{ mA}$$

$$S = 6,7 \pm 1,4 \text{ mA/V}$$

$$R_i = 7 \text{ k}\Omega$$

$$\mu = 47$$

System I

$$c_e = 4,0 \pm 0,9 \text{ pF}$$

$$c_a = 0,46 \pm 0,16 \text{ pF}$$

$$c_{ga} = 3,0 \pm 0,8 \text{ pF}$$

System II

$$c_e = 4,0 \pm 0,9 \text{ pF}$$

$$c_a = 0,36 \pm 0,13 \text{ pF}$$

$$c_{ga} = 3,0 \pm 0,8 \text{ pF}$$

$$c_{aIaII} \leq 1,1 \text{ pF}$$

$$c_{gIgII} \leq 0,015 \text{ pF}$$

per System

$$U_{asp} = 660 \text{ V}$$

$$U_a = 330 \text{ V}$$

$$N_a^{1)} = 2,4 \text{ W}$$

$$U_g = 0 \text{ V}$$

$$U_{gsp^{2)}} = 10 \text{ V}$$

$$U_g = -75 \text{ V}$$

$$U_{gsp^{2)}} = -200 \text{ V}$$

$$I_k = 16,5 \text{ mA}$$

$$I_g = 0,5 \text{ mA}$$

$$I_{gsp^{2)}} = 50 \text{ mA}$$

$$U_{fksp} = 200 \text{ V}$$

$$U_{fk \text{ k neg}}$$

$$= 100 \text{ V}$$

$$R_g^{3)} = 0,1 \text{ M}\Omega$$

$$R_g^{4)} = 0,5 \text{ M}\Omega$$

$$t_{Kolben} = 165 \text{ }^\circ\text{C}$$

1) $N_{aI} + N_{aII} = 4,4 \text{ W}$

2) Impulsdauer max. 10 μs · Pulse duration max. 10 μs
Impulsverhältnis 1:100 · Pulse ratio 1:100

Impulsfrequenz 1000 Hz · Pulse frequency 1,000 c/s

3) U_g fest · Fixed grid bias

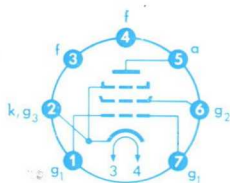
4) U_g autom. · Cathodes grid bias

6005 6AQ5W

Z To Sto

Leistungspentode

Power pentode



Pico 7 · Miniatur

Größe 4 · Outlines 4

$$U_f = 6,3 \text{ V} \pm 10\%$$

$$I_f = 450 \pm 40 \text{ mA}$$

indirekt geheizt

indirectly heated

$$U_a = 250 \text{ V}$$

$$U_{g2} = 250 \text{ V}$$

$$U_{g1} = -12,5 \text{ V}$$

$$I_a = 45 \pm 12 \text{ mA}$$

$$I_{g2} < 7,5 \text{ mA}$$

$$S = 4,1 \pm 1,1 \text{ mA/V}$$

$$R_i = 52 \text{ k}\Omega$$

$$\mu_{g2g1} = 10$$

Leistungsverstärker

Power amplifier

$$U_a = 250 \text{ V}$$

$$U_{g2} = 250 \text{ V}$$

$$U_{g1} = -12,5 \text{ V}$$

$$I_a = 45 \text{ mA}$$

$$I_{g2} = 4,5 \text{ mA}$$

$$R_a = 5 \text{ k}\Omega$$

$$U_{g1 \sim (N)}$$

$$= 8,8 \text{ V}_{eff}$$

$$k(N) = 8\%$$

$$N = 4,5 \text{ W}$$

$$U_a = 275 \text{ V}$$

$$N_a = 11 \text{ W}$$

$$U_{g2} = 275 \text{ V}$$

$$N_{g2} = 2,2 \text{ W}$$

$$I_k = 65 \text{ mA}$$

$$R_{g1^{1)}} = 0,5 \text{ M}\Omega$$

$$U_{fk} = 100 \text{ V}$$

$$t_{Kolben^{2)}} =$$

$$= 225 \text{ }^\circ\text{C}$$

1) U_{g1} autom.

Cathodes grid bias

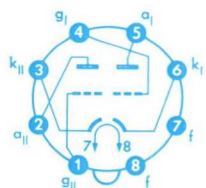
2) Absolutes Maximum

6080

Z To Sto

Doppeltriode mit
getrennten Kathoden

Twin triode with
separate cathodes



Oktal

Größe 51 · Outlines 51

$$U_f = 6,3 \text{ V} \pm 10\%$$

$$I_f = 2,5 \pm 0,24 \text{ A}$$

indirekt geheizt

indirectly heated

per System

$$U_b = 135 \text{ V}$$

$$R_k = 250 \Omega$$

$$I_a^{1)} = 125 \pm 25 \text{ mA}$$

$$S = 7 \pm 1,2 \text{ mA/V}$$

$$\mu = 2$$

$$I_g (R_g = 1 \text{ M}\Omega)^{2)}$$

$$= -4 \mu\text{A}$$

ohne äußere Abschirmung
without external shield

System I System II

$$c_e = 5,5 \quad 5,5 \text{ pF}$$

$$c_a = 2,5 \quad 2,5 \text{ pF}$$

$$c_{ag} = 8,6 \quad 8,6 \text{ pF}$$

$$c_{kf} = 7 \quad 7 \text{ pF}$$

zwischen System I und II
between system I and II

$$c_{aI/aII} = 2,2 \text{ pF}$$

$$c_{gI/gII} = 0,5 \text{ pF}$$

per System

$$U_a = 250 \text{ V}$$

$$N_a = 13 \text{ W}$$

$$I_k = 125 \text{ mA}$$

$$R_g^{3)} = 0,1 \text{ M}\Omega$$

$$R_g^{4)} = 1 \text{ M}\Omega$$

$$U_{fk} = 300 \text{ V}$$

$$t_{Kolben} = 200 \text{ }^\circ\text{C}$$

1) Kurzzeitiger Meßwert · Short-time measuring value

2) Beide Systeme parallelgeschaltet · The two systems connected in parallel

3) U_g fest · Fixed grid bias

4) U_g autom. · Cathodes grid bias

Spezialröhren · Special tubes

Type · Anwendung
Type · Application

Allgemeine Daten
General data

Betriebswerte
Typical operation

Kapazitäten
Capacitances

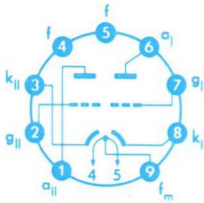
Grenzwerte
Maximum ratings

6211

Z Lt To Spk

Doppeltriode mit
getrennten Kathoden
für Rechenmaschinen

Twin triode with
separate cathodes
for computers



Pico 9 · Noval
Größe 6 · Outlines 6

$$U_f = 6,3 \text{ V} \pm 5\%$$

$$I_f \text{ ca. } 300 \text{ mA}$$

$$U_f = 12,6 \text{ V} \pm 5\%$$

$$I_f \text{ ca. } 150 \text{ mA}$$

indirekt geheizt
indirectly heated

per System

$$U_a = 100 \text{ V}$$

$$R_k = 500 \Omega$$

$$I_a = 4,4 \pm 0,9 \text{ mA}$$

$$S = 3,6 \pm 0,9 \text{ mA/V}$$

$$R_i = 7,5 \text{ k}\Omega$$

$$\mu = 27$$

System I

$$c_e = 2,9 \pm 0,5 \text{ pF}$$

$$c_a = 0,4 \pm 0,12 \text{ pF}$$

$$c_{ga} = 2,6 \pm 0,5 \text{ pF}$$

System II

$$c_e = 2,9 \pm 0,5 \text{ pF}$$

$$c_a = 0,35 \pm 0,11 \text{ pF}$$

$$c_{ga} = 2,6 \pm 0,5 \text{ pF}$$

$$c_{aII} \leq 1 \text{ pF}$$

$$c_{gII} \leq 0,06 \text{ pF}$$

per System

$$U_{ao} = 600 \text{ V}$$

$$U_a = 200 \text{ V}$$

$$N_a = 1 \text{ W}$$

$$U_g = 1 \text{ V}$$

$$U_g = -100 \text{ V}$$

$$N_g = 0,1 \text{ W}$$

$$I_k = 14 \text{ mA}$$

$$U_{fk} \text{ k pos} = 180 \text{ V}$$

$$U_{fk} \text{ k neg}^1) = 180 \text{ V}$$

$$R_{g2}^2) = 0,1 \text{ M}\Omega$$

$$R_{g3}^3) = 0,5 \text{ M}\Omega$$

$$t_{Kolben} = 120 \text{ }^\circ\text{C}$$

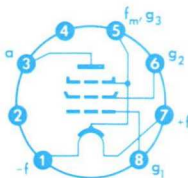
1) Gleichspannungsanteil max. 90 V · DC-component max. 90 V

2) $U_{g \text{ fest}}$ · Fixed grid bias

3) $U_{g \text{ autom.}}$ · Cathodes grid bias

6397

HF-Leistungspentode
RF-power pentode



Submin 8
Größe 17 · Outlines 17

$$U_f = 1,25/2,5 \text{ V}$$

$$I_f \text{ ca. } 125/62,5 \text{ mA}$$

direkt geheizt
directly heated

$$U_a = 125 \text{ V}$$

$$U_{g2} = 125 \text{ V}$$

$$U_{g1} = -7,5 \text{ V}$$

$$I_a = 7 \text{ mA}$$

$$I_{g2} = 1,1 \text{ mA}$$

$$S = 2 \text{ mA/V}$$

Frequenzverdoppler
Frequency-doubler

$$U_f = 1,25 \text{ V}$$

$$I_f = 125 \text{ mA}$$

$$U_a = 120 \text{ V}$$

$$U_{g2} = 120 \text{ V}$$

$$R_{g1} = 0,22 \text{ M}\Omega$$

$$I_a = 7,25 \text{ mA}$$

$$I_{g2} = 2,25 \text{ mA}$$

$$I_{g1} \text{ ca. } 325 \mu\text{A}$$

$$U_{g1 \sim 1}) = 80 \text{ V}$$

$$N = 100 \text{ mW}$$

$$f = 250 \text{ MHz}$$

$$c_e = 3,0 \text{ pF}$$

$$c_a = 2,15 \text{ pF}$$

$$c_{g1a} \leq 0,06 \text{ pF}$$

$$U_a = 180 \text{ V}$$

$$N_a = 1,5 \text{ W}$$

$$U_{g2} = 135 \text{ V}$$

$$N_{g2} = 0,6 \text{ W}$$

$$I_k = 14 \text{ mA}$$

$$R_{g1} = 0,5 \text{ M}\Omega$$

$$U_{g1} = -100 \text{ V}$$

$$I_{g1} = 375 \mu\text{A}$$

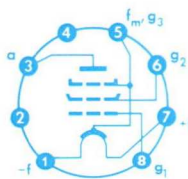
Bezugspunkt für alle Spannungswerte ist das negative Heizfadenende.

The negative filament terminal is taken as the datum point to which other electrode voltages are referred.

1) Treiberspitzenspannung an Gitter 1
Driver-peak-voltage at grid 1

6397 spez.

HF-Leistungspentode
RF-power pentode



Submin 8
Größe 17 · Outlines 17

$$U_f = 1,25/2,5 \text{ V}$$

$$I_f \text{ ca. } 220/110 \text{ mA}$$

direkt geheizt
directly heated

$$U_a = 125 \text{ V}$$

$$U_{g2} = 125 \text{ V}$$

$$U_{g1} = -7,5 \text{ V}$$

$$I_a = 9 \text{ mA}$$

$$I_{g2} = 1,4 \text{ mA}$$

$$S = 2,3 \text{ mA/V}$$

$$c_e = 3,1 \text{ pF}$$

$$c_a = 2,15 \text{ pF}$$

$$c_{g1a} \leq 0,06 \text{ pF}$$

$$U_a = 180 \text{ V}$$

$$N_a = 1,5 \text{ W}$$

$$U_{g2} = 135 \text{ V}$$

$$N_{g2} = 0,6 \text{ W}$$

$$I_k = 20 \text{ mA}$$

$$R_{g1} = 0,5 \text{ M}\Omega$$

$$U_{g1} = -100 \text{ V}$$

$$I_{g1} = 375 \mu\text{A}$$

Bezugspunkt für alle Spannungswerte ist das negative Heizfadenende.

The negative filament terminal is taken as the datum point of which other electrode voltages are referred.

Spezialröhren · Special tubes

Type · Anwendung
Type · Application

Allgemeine Daten
General data

Betriebswerte
Typical operation

Kapazitäten
Capacitances

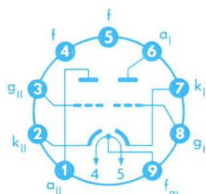
Grenzwerte
Maximum ratings

6463

Z LL To Spk

Doppeltriode
für Rechenmaschinen

Twin triode
for computers



Pico 9 · Noval
Größe 8 · Outlines 8

$$U_f = 6,3 V \pm 5\%$$

$$I_f \text{ ca. } 600 \text{ mA}$$

$$U_f = 12,6 V \pm 5\%$$

$$I_f \text{ ca. } 300 \text{ mA}$$

indirekt geheizt
indirectly heated

per System

$$U_a = 250 \text{ V}$$

$$R_k = 620 \Omega$$

$$I_a = 14,5 \pm 2,5 \text{ mA}$$

$$S = 5,2 \pm 1,3 \text{ mA/V}$$

$$R_i = 3,8 \text{ k}\Omega$$

$$\mu = 20$$

System I

$$c_e = 3,2 \pm 0,5 \text{ pF}$$

$$c_a = 0,6 \pm 0,21 \text{ pF}$$

$$c_{ga} = 5,0 \pm 1,0 \text{ pF}$$

System II

$$c_e = 3,2 \pm 0,5 \text{ pF}$$

$$c_a = 0,53 \pm 0,18 \text{ pF}$$

$$c_{ga} = 5,0 \pm 1,0 \text{ pF}$$

$$c_{gl|gl} < 0,025 \text{ pF}$$

$$c_{al|al} < 0,9 \text{ pF}$$

per System

$$U_{ao} = 600 \text{ V}$$

$$U_a = 300 \text{ V}$$

$$U_{asp} = 600 \text{ V}$$

$$N_{a1)} = 4 \text{ W}$$

$$U_g = 1 \text{ V}$$

$$U_{gsp2)} = 20 \text{ V}$$

$$U_g = -75 \text{ V}$$

$$U_{gsp2)} = -300 \text{ V}$$

$$I_g = 2 \text{ mA}$$

$$I_{gsp2)} = 50 \text{ mA}$$

$$I_k = 28 \text{ mA}$$

$$I_{ksp2)} = 300 \text{ mA}$$

$$U_{fk \text{ k pos}} = 180 \text{ V}$$

$$U_{fk \text{ k neg}3)} = 180 \text{ V}$$

$$R_{g4)} = 0,1 \text{ M}\Omega$$

$$R_{g5)} = 0,5 \text{ M}\Omega$$

$$t_{kolben} = 180 \text{ }^\circ\text{C}$$

1) $N_{aI} + N_{aII} = 7 \text{ W}$

2) Impulsdauer max. 10 μs · Pulse duration max. 10 μs
Impulsverhältnis 1:100 · Pulse ratio 1:100
Impulsfrequenz 1000 Hz · Pulse frequency 1,000 c/s

3) Gleichspannungsanteil max. 90 V · DC-component max. 90 V

4) $U_g \text{ fest}$ · Fixed grid bias

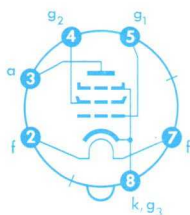
5) $U_g \text{ autom.}$ · Cathodes grid bias

7561

Z LL Spk

Leistungpentode
für NF-Verstärker,
Schaltröhre für
Rechenmaschinen

Power pentode
for AF-amplifier,
switch-tube
for computers



Oktal
Größe 26 · Outlines 26

$$U_f = 25 V \pm 5\%$$

$$I_f = 300 \text{ mA}$$

indirekt geheizt
indirectly heated

$$U_a = 115 \text{ V}$$

$$U_{g2} = 115 \text{ V}$$

$$R_k = 140 \Omega$$

$$I_a = 55 \text{ mA}$$

$$I_{g2} = 2,4 \text{ mA}$$

$$S = 10 \text{ mA/V}$$

$$\mu_{g2g1} = 7,2$$

$$R_i = 8 \text{ k}\Omega$$

Eintakt-A-Betrieb
AF-power amplifier,
class A

$$U_a = 110 \text{ } 200 \text{ V}$$

$$U_{g2} = 110 \text{ } 125 \text{ V}$$

$$R_k = 110 \text{ } 170 \Omega$$

$$I_a = 60 \text{ } 55 \text{ mA}$$

$$I_{g2} = 4 \text{ } 2 \text{ mA}$$

$$U_{g1\sim} = 4,8 \text{ } 5,5 \text{ V}_{\text{eff}}$$

$$N (10\%) = 2,5 \text{ } 5 \text{ W}$$

$$R_a = 1,9 \text{ } 3,8 \text{ k}\Omega$$

$$c_e \text{ ca. } 17,5 \text{ pF}$$

$$c_a \text{ ca. } 11 \text{ pF}$$

$$c_{ga} \text{ ca. } 0,9 \text{ pF}$$

$$c_{gf} \text{ ca. } 0,35 \text{ pF}$$

Absolute Maxima

$$U_{ao} = 550 \text{ V}$$

$$U_a = 350 \text{ V}$$

$$U_{g2o} = 550 \text{ V}$$

$$U_{g2} = 200 \text{ V}$$

$$N_a = 13 \text{ W}$$

$$N_{g2} = 2 \text{ W}$$

$$I_k = 150 \text{ mA}$$

$$R_{g11)} = 0,1 \text{ M}\Omega$$

$$R_{g12)} = 0,5 \text{ M}\Omega$$

$$U_{fk+} = 200 \text{ V}$$

$$U_{fk-} = 100 \text{ V}$$

$$R_{fk} = 20 \text{ k}\Omega$$

1) $U_{g1} \text{ fest}$ · Fixed grid bias

2) $U_{g1} \text{ autom.}$ · Cathodes grid bias

Oszillographen-Röhren · Cathode-ray tubes

Schlüssel für Typenbezeichnung

1. Buchstabe		2. Buchstabe				3. Buchstabe		Zahlen	Schlußbuchstabe	
Ablenkung und Fokussierung		Schirme								
		Fluoreszenz	Phosphoreszenz	Nachleuchtdauer						
A	Ablenkung magnetisch Fokussierung elektrostatisch	B	blau	orange	kurz	M	Mehrstrahlröhren	Zahl vor dem Strich, z. B. DG 13-14, Durchmesser in cm	A	dient zur Kennzeichnung des grünen Schirmes mit mittlerer Nachleuchtdauer
		F	orange							
D	Ablenkung elektrostatisch Fokussierung elektrostatisch	G ¹⁾	grün	grün gelbgrün	kurz			Zahl nach dem Strich, z. B. DG 13-14, Typennummer	C	kennzeichnet die für symmetrischen und asymmetrischen Betrieb korrigierte Weiterentwicklung der DG 7-12
		G ²⁾	grün		mittel					
		N	blaugrün		lang					
		P	blau		sehr lang					
		W	weiß		mittel					
M	Ablenkung magnetisch Fokussierung magnetisch	Z	grün		sehr kurz					

1) ohne Buchstabe A oder C am Schluß der Typenbezeichnung

2) mit Buchstabe A oder C am Schluß der Typenbezeichnung

Zusammenstellung der am häufigsten verwendeten Schirme

	DB	DG	DG...A	DN	DP
Fluoreszenz	blau	grün	grün	blaugrün	blau
Phosphoreszenz	—	—	—	grün	gelbgrün
Nachleuchten	kurz	kurz	mittel	lang	sehr lang
für Abfall auf 1 % der Anfangshelligkeit	ca. 8 ms	12 ms	50 ms	0,5 s	12 s

B-Schirm

Für photographische Aufnahmen mit orthochromatischem Registrierpapier ist der B-Schirm besonders geeignet, da dessen spektrale Energieverteilung mit dem Empfindlichkeitsspektrum dieser Papiere weitgehend übereinstimmt.

F-Schirm

Für Spezialzwecke steht ein Schirmmaterial zur Verfügung, dessen Fluoreszenz (Anfangsleuchten) ebenso wie die Phosphoreszenz (Nachleuchten) orangefarben ist. Die Nachleuchtdauer dieses mit dem Kennbuchstaben F be-

zeichneten Schirmmaterials ist noch größer als die des P-Schirms. Ein weiterer Vorteil ist die Farbgleichheit von Fluoreszenz und Phosphoreszenz, die beim P-Schirm nicht vorhanden ist, da dessen Fluoreszenz blau, die Phosphoreszenz dagegen grünlichgelb ist. Außerdem hat der F-Schirm als Einschichtschirm gegenüber dem doppelschichtigen P-Schirm eine größere Schärfe. Wegen der größeren Einbrennempfindlichkeit wird man diesen jedoch nur dann verwenden, wenn die vorliegende Aufgabenstellung die Anwendung des P-Schirms nicht zuläßt. Die Einbrenn- gefahr kann vermindert werden durch den Betrieb der Röhren mit den höchsten zugelassenen Beschleunigungs- spannungen.

Mit diesem Schirm wird nur die Röhre MF 13-39 aus- gerüstet.

G-Schirm

Der G-Schirm – universell für visuelle Beobachtung und photographische Registrierung mit panchromatischem Auf- nahmematerial geeignet – hat eine Nachleuchtdauer von etwa 12 ms, bezogen auf einen Abfall der Helligkeit auf 1% des Anfangswertes bzw. 50 ms für Röhren, die am Schluß der Typenbezeichnung ein „A“ oder „C“ haben, z. B. DG 7-12 C, DG 7-52 A und DG 7-74 A.

N-Schirm

Zur visuellen Beobachtung sehr langsam verlaufender Vor- gänge stehen Röhren mit Schirmen zur Verfügung, die lange nachleuchten, damit der ganze Vorgang ohne Be- einträchtigung beobachtet werden kann. Für diese An- wendungszwecke werden in erster Linie der N-Schirm mit einer Nachleuchtdauer von etwa 0,5 s und der P-Schirm mit einer Nachleuchtdauer von etwa 12 s verwendet. Diese Werte sind Richtzahlen, da sie stark von der jeweiligen Belastung des Schirms abhängig sind. Bei großen Schirm- belastungen, also großer Anfangshelligkeit, geht der Ab- fall schneller vor sich als bei kleinen Schirmbelastungen.

P-Schirm

Beim P-Schirm lassen sich je nach der Belastung des Schirmes Nachleuchtzeiten von 3...40 s messen. Dabei ist die Nach- leuchtdauer immer auf einen Abfall der Helligkeit auf 1% des Anfangswertes bezogen.

W-Schirm

Der W-Schirm findet bei Röhren für Prüfgeräte Anwen- dung, die Fernsehbilder zeigen sollen (z. B. Einstellung von Fernsehantennen). Außerdem können mit dem W-Schirm mehrere Vorgänge mit Hilfe von Farbfiltern bei photo- graphischer Registrierung farbig abgebildet und damit deutlich voneinander unterscheidbar gemacht werden.

Z-Schirm

Nichtperiodische Vorgänge von großer Dauer und peri- odische Vorgänge, deren Periodendauer im Verhältnis zu den abzubildenden Einzelheiten groß ist, müssen auf dem Leuchtschirm sehr zusammengedrängt werden, so daß die Details nicht mehr zu erkennen sind. Ein besonderes photo- graphisches Registrierungsverfahren ermöglicht jedoch, diese Vorgänge auseinanderzuziehen, d. h. einen größeren Zeichenmaßstab anzuwenden. Dabei legt man den Meß- vorgang wie üblich an ein Plattenpaar der Oszillographen- röhre, ersetzt aber die Zeitablenkung, die normalerweise über das zweite Plattenpaar stattfindet, durch ein konti- nuierlich ablaufendes Aufnahmematerial. Auf diese Weise können Oszillogramme von mehreren Metern Länge auf- genommen werden. In den meisten Fällen dieser Anwen- dung kann der B-Schirm, gegebenenfalls auch der G- Schirm, verwendet werden. Für sehr schnell verlaufende Vorgänge mit großer Ablaufgeschwindigkeit des Registrier- materials können Röhren mit extrem kurzer Nachleucht- dauer angefertigt werden, die durch den Kennbuchsta- ben Z in der Typenbezeichnung (z. B. DZ 7-14) gekenn- zeichnet sind. Das Leuchtschirmmaterial dieser Spezial- schirme hat eine Nachleuchtdauer von nur wenigen Mikro- sekunden. Es empfiehlt sich, den Z-Schirm wegen seiner geringen Anfangshelligkeit nur für ausgesprochene Spe- zialzwecke zu verwenden.



Oszillographen-Röhren · Cathode-ray tubes

Type · Anwendung
Type · Application

Allgemeine Daten
General data

Betriebswerte
Typical operation

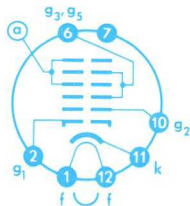
Kapazitäten
Capacitances

Grenzwerte
Maximum ratings

AP 43-80

Oszillographen-Röhre mit Ionenfalle, elektrostatisch fokussiert, magnetisch abgelenkt, metallhinterlegter, sehr lang nachleuchtender Schirm, Fluoreszenz: blau, Phosphoreszenz: gelbgrün

Cathode-ray tube with ion-trap, electrostatic focus, magnetic deflection, metallized, very long persistence screen, fluorescence: blue, phosphorescence: yellowgreen



duodecal

$U_f = 6,3 \text{ V}$
 $I_f \text{ ca. } 300 \text{ mA}$
 $I_f = 300 \text{ mA}$
 $U_f \text{ ca. } 6,3 \text{ V}$

indirekt geheizt
indirectly heated

Abmessungen
Tube dimensions
Schirm · Screen
282 × 363 mm

Länge über alles
Overall length
397 ± 10 mm

Gewicht · Weight
ca. 6,2 kg

Ablenkwinkel
Deflection angle
diagonal 90°

$U_a = 15 \text{ kV}$
 $U_{g3g5^1) = -90...+190 \text{ V}$
 $U_{g2} = 400 \text{ V}$
 $U_{g1sperr}$
bei $U_{g2} = 300 \text{ V}$
 $= -75...-35 \text{ V}$
bei $U_{g2} = 400 \text{ V}$
 $= -102...-48 \text{ V}$

$c_{g1} \text{ ca. } 6 \text{ pF}$
 $c_k \text{ ca. } 5 \text{ pF}$
 $c_{am} = 1250...2500 \text{ pF}$

$U_a = 12... 17 \text{ kV}$
 $U_{g3g5} = -500...+500 \text{ V}$
 $U_{g2} = 200... 500 \text{ V}$
 $U_{g1} = -150... 0 \text{ V}$
 $U_{g1sp} = +2 \text{ V}$
 $U_{fk^2) 3) = 410 \text{ V}$
 $U_{fk^2) = 200 \text{ V}$
 $U_{fksp^2) = 280 \text{ V}$
 $U_{fk^4) = 125 \text{ V}$
 $R_{g1} = 1,5 \text{ M}\Omega$
 $Z_{g1} (50 \text{ Hz}) = 0,5 \text{ M}\Omega$
 $R_{fk} = 1 \text{ M}\Omega$
 $Z_{fk} (50 \text{ Hz}) = 0,1 \text{ M}\Omega$

1) Für Mittenschärfe · For center focus

2) k pos

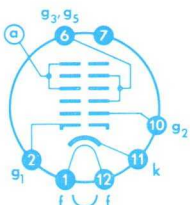
3) Während der Anheizzeit max. 45 s
During warm-up time max. 45 s

4) k neg

AP 53-80

Oszillographen-Röhre mit Ionenfalle, elektrostatisch fokussiert, magnetisch abgelenkt, metallhinterlegter, sehr lang nachleuchtender Schirm, Fluoreszenz: blau, Phosphoreszenz: gelbgrün

Cathode-ray tube with ion-trap, electrostatic focus, magnetic deflection, metallized, very long persistence screen, fluorescence: blue, phosphorescence: yellowgreen



duodecal

$U_f = 6,3 \text{ V}$
 $I_f \text{ ca. } 300 \text{ mA}$
 $I_f = 300 \text{ mA}$
 $U_f \text{ ca. } 6,3 \text{ V}$

indirekt geheizt
indirectly heated

Abmessungen
Tube dimensions
Schirm · Screen
382,5 × 484 mm

Länge über alles
Overall length
482,5 ± 10 mm

Gewicht · Weight
ca. 12 kg

Ablenkwinkel
Deflection angle
diagonal 90°

$U_a = 15 \text{ kV}$
 $U_{g3g5^1) = -90...+220 \text{ V}$
 $U_{g2} = 400 \text{ V}$
 $U_{g1sperr}$
bei $U_{g2} = 300 \text{ V}$
 $= -75...-35 \text{ V}$
bei $U_{g2} = 400 \text{ V}$
 $= -102...-48 \text{ V}$

$c_{g1} \text{ ca. } 6 \text{ pF}$
 $c_k \text{ ca. } 5 \text{ pF}$
 $c_{am} = 1250...2500 \text{ pF}$

$U_a = 12... 17 \text{ kV}$
 $U_{g3g5} = -500...+500 \text{ V}$
 $U_{g2} = 200... 500 \text{ V}$
 $U_{g1} = -150... 0 \text{ V}$
 $U_{g1sp} = +2 \text{ V}$
 $U_{fk^2) 3) = 410 \text{ V}$
 $U_{fk^2) = 200 \text{ V}$
 $U_{fksp^2) = 280 \text{ V}$
 $U_{fk^4) = 125 \text{ V}$
 $R_{g1} = 1,5 \text{ M}\Omega$
 $Z_{g1} (50 \text{ Hz}) = 0,5 \text{ M}\Omega$
 $R_{fk} = 1 \text{ M}\Omega$
 $Z_{fk} (50 \text{ Hz}) = 0,1 \text{ M}\Omega$

1) Für Mittenschärfe · For center focus

2) k pos

3) Während der Anheizzeit max. 45 s
During warm-up time max. 45 s

4) k neg

Oszillographen-Röhren · Cathode-ray tubes

Type · Anwendung
Type · Application

Heizung
Heating

Betriebswerte
Typical operation

Grenzwerte
Maximum ratings

DG 3-12 A

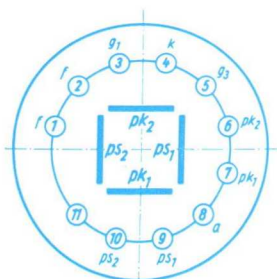
Oszillographen-Röhre
für Kleinstoszillographen
und Anzeigezwecke

Flat-faced 1" CRT
for small oscilloscopes
and indicator applications

$U_f = 6,3 \text{ V}$
 $I_f \text{ ca. } 300 \text{ mA}$
indirekt geheizt
indirectly heated

$U_a =$	500	1000 V
$U_{g3} =$	50...150	100...300 V
$U_{g1\text{sperr}} =$	-21... -7	-42...-14 V
$AF_{pk} =$	47... 69	94...138 V/cm
$AF_{ps} =$	41... 61	82...122 V/cm
$DF_{pk} =$	120...176	240...352 V/inch.
$DF_{ps} =$	104...155	208...310 V/inch.

$U_a =$	500...1500 V
$U_{g3} =$	1200 V
$U_{g1} =$	-200...0 V
$R_p =$	2 M Ω
$R_{g1} =$	1,5 M Ω



Durchmesser	31,8 ± 1,5 mm
Ausnutzbare Auslenkung	
ps-Richtung	min. 27 mm
pk-Richtung	min. 27 mm
Länge über alles	max. 103,2 mm
Gewicht	ca. 60 g

Diameter	
Useful deflection	
ps-direction	
pk-direction	
Overall length	
Weight	

Zubehör (Lagernummer)

Fassung	30 232
Abschirmzylinder	30 441

Accessories (stock no.)

Socket	
Shielding	

DB 7-12 C DG 7-12 C DN 7-12 C DP 7-12 C

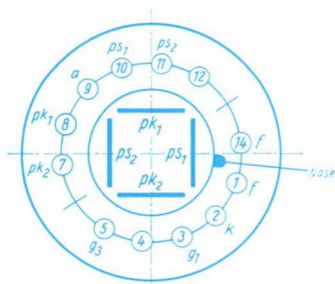
Oszillographen-Röhre
geeignet für symmetrische oder
asymmetrische Ablenkung,
Planschirm

Short flat-faced 3" CRT for
symmetrical and asymmetrical
deflection

$U_f = 6,3 \text{ V}$
 $I_f \text{ ca. } 300 \text{ mA}$
indirekt geheizt
indirectly heated

$U_a =$	800	2000 V
$U_{g3} =$	70...100	170...250 V
$U_{g1\text{sperr}} =$	-30...-16	-75...-40 V
$AF_{pk} =$	26... 37	65... 92 V/cm
$AF_{ps} =$	33... 50	82...125 V/cm
$DF_{pk} =$	66... 94	165...234 V/inch.
$DF_{ps} =$	84...127	208...317 V/inch.

$U_a =$	700...3000 V
$U_{g3} =$	1500 V
$U_{g1} =$	-250...0 V
$R_p =$	3 M Ω
$R_{g1} =$	1,5 M Ω



Durchmesser	76,2 ± 1,6 mm
Ausnutzbare Auslenkung	min. 65 mm
Länge über alles	175 ± 5 mm
Gewicht	ca. 200 g

Diameter	
Useful deflection	
Overall length	
Weight	

Zubehör (Lagernummer)

Fassung	30 223
Abschirmzylinder	30 311

Accessories (stock no.)

Socket	
Shielding	

Oszillographen-Röhren · Cathode-ray tubes

Type · Anwendung
Type · Application

Heizung
Heating

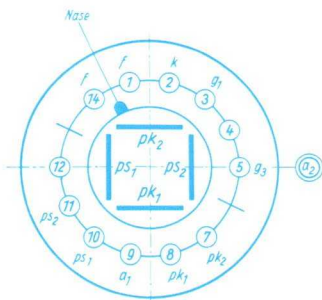
Betriebswerte
Typical operation

Grenzwerte
Maximum ratings

DB 7-14
DG 7-14
DN 7-14
DP 7-14

Oszillographen-Röhre
geeignet für symmetrische oder
asymmetrische Ablenkung,
mit Planschirm
und Nachbeschleunigung

Flat-faced 3" CRT
with post-acceleration for
symmetrical and asymmetrical
deflection



$U_f = 6,3 \text{ V}$
 $I_f \text{ ca. } 300 \text{ mA}$
indirekt geheizt
indirectly heated

$U_{a1} = 1000 \text{ V}$
 $U_{a2} = 2000 \text{ V}$
 $U_{g3} = 200 \dots 350 \text{ V}$
 $U_{g1\text{sperr}} = -37,5 \dots -22,5 \text{ V}$
 $AF_{pk} = 22,5 \dots 27,5 \text{ V/cm}$
 $AF_{ps} = 31,5 \dots 41,5 \text{ V/cm}$
 $DF_{pk} = 57 \dots 70 \text{ V/inch.}$
 $DF_{ps} = 79 \dots 107,5 \text{ V/inch.}$

$U_{a1} = 1000 \dots 3000 \text{ V}$
 $U_{a2} = U_{a1} \dots 3 U_{a1}^1)$
 $U_{g3} = 1500 \text{ V}$
 $U_{g1} = -250 \dots 0 \text{ V}$
 $R_p = 5 \text{ M}\Omega$
 $R_{g1} = 1,5 \text{ M}\Omega$
1) max. 6 kV

Durchmesser $76,2 \pm 1,6 \text{ mm}$
Ausnutzbare Auslenkung min. 65 mm
Länge über alles $254 \pm 5 \text{ mm}$
Gewicht ca. 350 g

Diameter
Useful deflection
Overall length
Weight

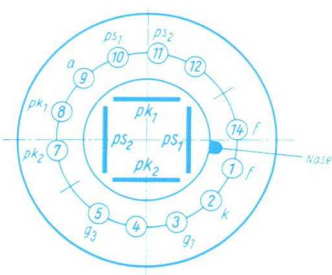
Zubehör (Lagernummer)
Fassung 30 223
Abschirmzylinder 30 381
Nachbeschleunigungs-
anschluß 30 317

Accessories (stock no.)
Socket
Shielding
Post-acceleration cap

DG 7-52 A

Oszillographen-Röhre
geeignet für symmetrische oder
asymmetrische Ablenkung,
für niedrige Anodenspannung,
Planschirm

Short flat-faced 3" CRT for
symmetrical and asymmetrical
deflection
and low accelerator voltage



$U_f = 6,3 \text{ V}$
 $I_f \text{ ca. } 300 \text{ mA}$
indirekt geheizt
indirectly heated

$U_a = 800 \text{ V}$
 $U_{g3} = 30 \dots 115 \text{ V}$
 $U_{g1\text{sperr}} = -85 \dots -45 \text{ V}$
 $AF_{pk} = 19,5 \dots 23,5 \text{ V/cm}$
 $AF_{ps} = 41 \dots 46 \text{ V/cm}$
 $DF_{pk} = 50 \dots 60 \text{ V/inch.}$
 $DF_{ps} = 105 \dots 117 \text{ V/inch.}$

$U_a = 600 \dots 1000 \text{ V}$
 $U_{g3} = 500 \text{ V}$
 $U_{g1} = -250 \dots 0 \text{ V}$
 $R_p = 3 \text{ M}\Omega$
 $R_{g1} = 1,5 \text{ M}\Omega$

Durchmesser $76,2 \pm 1,6 \text{ mm}$
Ausnutzbare Auslenkung
ps-Richtung min. 65 mm
pk-Richtung min. 60 mm
Länge über alles $175 \pm 5 \text{ mm}$
Gewicht ca. 200 g

Diameter
Useful deflection
ps-direction
pk-direction
Overall length
Weight

Zubehör (Lagernummer)
Fassung 30 228
Abschirmzylinder 30 311

Accessories (stock no.)
Socket
Shielding

Oszillographen-Röhren · Cathode-ray tubes

Type · Anwendung
Type · Application

Heizung
Heating

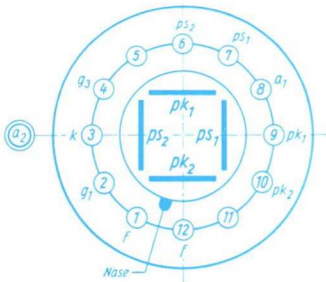
Betriebswerte
Typical operation

Grenzwerte
Maximum ratings

DG 7-74 A 3 ARP 1

Enge Toleranzen,
hohe Ablenkempfindlichkeit,
niedrige Anodenspannung
und Nachbeschleunigung.
Besonders geeignet für kleine
Breitband-Oszillographen

Flat-faced 3" CRT with tight
tolerances, high deflection
sensitivity, low accelerator
voltage and post-acceleration.
Particularly useful for wide-
band oscillographs of small size



$U_f = 6,3 \text{ V}$
 $I_f \text{ ca. } 300 \text{ mA}$

indirekt geheizt
indirectly heated

$U_{a1} = 500 \text{ V}$
 $U_{a2} = 1000 \text{ V}$
 $U_{g3}^1) = 50... 110 \text{ V}$
 $U_{g1\text{sperr}} = -36... -25 \text{ V}$
 $AF_{pk} = 7,2... 8,8 \text{ V/cm}$
 $AF_{ps} = 12,5... 14,5 \text{ V/cm}$
 $DF_{pk} = 18... 22 \text{ V/inch.}$
 $DF_{ps} = 31... 37 \text{ V/inch.}$

¹⁾ $I_S = 25 \mu\text{A}$

$U_{a1} = 400... 1000 \text{ V}$
 $U_{a2} = 2 \times U_{a1}^2)$
 $U_{g3} = 500 \text{ V}$
 $U_{g1} = -250... 0 \text{ V}$
 $R_p = 10 \text{ M}\Omega$
 $R_{g1} = 1,5 \text{ M}\Omega$

²⁾ min. 800 V

Durchmesser $76,2 \pm 1,6 \text{ mm}$
Ausnutzbare Auslenkung
ps-Richtung min. 68 mm
pk-Richtung min. 65 mm
Länge über alles $300 \pm 5 \text{ mm}$
Gewicht ca. 350 g

Diameter
Useful deflection
ps-direction
pk-direction
Overall length
Weight

Zubehör (Lagernummer)

Fassung 30 231
Abschirmzylinder 30 426
Nachbeschleunigungs-
anschluß 30 317

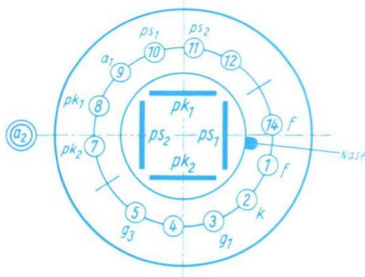
Accessories (stock no.)

Socket
Shielding
Post-acceleration cap

DB 10-14 DG 10-14 DN 10-14 DP 10-14

Oszillographen-Röhre
mit Planschirm
und Nachbeschleunigung

Flat-faced 4" CRT
with post-acceleration



$U_f = 6,3 \text{ V}$
 $I_f \text{ ca. } 300 \text{ mA}$

indirekt geheizt
indirectly heated

$U_{a1} = 1000 \text{ V}$
 $U_{a2} = 2000 \text{ V}$
 $U_{g3} = 250... 300 \text{ V}$
 $U_{g1\text{sperr}} = -45... -22 \text{ V}$
 $U_{g3} = 500... 600 \text{ V}$
 $U_{g1\text{sperr}} = -90... -45 \text{ V}$
 $AF_{pk} = 15... 20 \text{ V/cm}$
 $AF_{ps} = 21... 25 \text{ V/cm}$
 $DF_{pk} = 39... 51 \text{ V/inch.}$
 $DF_{ps} = 53... 64 \text{ V/inch.}$

$U_{a1} = 1000... 3000 \text{ V}$
 $U_{a2} = U_{a1} \dots 2 U_{a1}$
 $U_{g3} = 1500 \text{ V}$
 $U_{g1} = -250... 0 \text{ V}$
 $R_p = 5 \text{ M}\Omega$
 $R_{g1} = 1,5 \text{ M}\Omega$

Durchmesser $100 \pm 2 \text{ mm}$
Ausnutzbare Auslenkung min. 80 mm
Länge über alles $300 \pm 5 \text{ mm}$
Gewicht ca. 500 g

Diameter
Useful deflection
Overall length
Weight

Zubehör (Lagernummer)

Fassung 30 223
Abschirmzylinder 30 312
Nachbeschleunigungs-
anschluß 30 317

Accessories (stock no.)

Socket
Shielding
Post-acceleration cap

Oszillographen-Röhren · Cathode-ray tubes

Type · Anwendung
Type · Application

Heizung
Heating

Betriebswerte
Typical operation

Grenzwerte
Maximum ratings

DB 10-18
DG 10-18
DN 10-18
DP 10-18

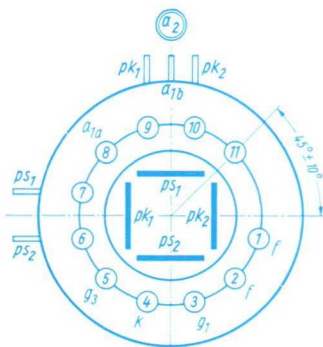
$U_f = 6,3 \text{ V}$
 $I_f \text{ ca. } 300 \text{ mA}$
indirekt geheizt
indirectly heated

$U_{a1a} = 500 \text{ V}$
 $\Delta U_{a1a} = +30 \text{ V}$
 $= -0 \text{ V}$
 $U_{a1b} = 600 \text{ V}$
 $U_{a2} = 2000 \text{ V}$
 $I_{a1b} = 5 \dots 25 \mu\text{A}$
 $U_{g3}^{1)} = 100 \dots 160 \text{ V}$
 $U_{g1sperr} = -32 \dots -18 \text{ V}$
 $AF_{pk} \text{ ca. } 3,7 \text{ V/cm}$
 $AF_{ps} \text{ ca. } 12 \text{ V/cm}$
 $DF_{pk} \text{ ca. } 9,4 \text{ V/inch.}$
 $DF_{ps} \text{ ca. } 30,5 \text{ V/inch.}$

$U_{a1a} = 400 \dots 1200 \text{ V}$
 $U_{a1b} = 1500 \text{ V}$
 $U_{a2} = 1600 \dots 5000 \text{ V}$
 $U_{g3} = 600 \text{ V}$
 $U_{g1} = -250 \dots 0 \text{ V}$
 $R_{pk} = 50 \text{ k}\Omega$
 $R_{ps} = 100 \text{ k}\Omega$
 $R_{g1} = 5 \text{ M}\Omega$

Planschirm, Nachbeschleunigung,
große Ablenkempfindlichkeit,
geringe Plattenkapazität.
Besonders für Breitband-
Oszillographen geeignet

Flat-faced 4" CRT with post-
acceleration, high deflection
sensitivity, low capacitances.
Particularly useful for
wide-band oscillographs



¹⁾ $I_S = 10 \mu\text{A}$

Durchmesser $100 \pm 2 \text{ mm}$
Ausnutzbare Auslenkung min. 80 mm
Länge über alles max. 385 mm
Gewicht ca. 500 g

Diameter
Useful deflection
Overall length
Weight

Zubehör (Lagernummer)

Fassung 30 232
Nachbeschleunigungs-
anschluß 30 434,
30 317
Ablenkplattenanschlüsse 30 429

Accessories (stock no.)

Socket
Post-acceleration cap
Caps for deflection
terminals

Abschirmzylinder 30 461
Hülse für Fassung 30 462

Shielding
Bush for socket

DB 10-54
DG 10-54
DN 10-54
DP 10-54

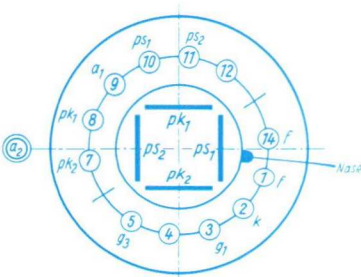
$U_f = 6,3 \text{ V}$
 $I_f \text{ ca. } 300 \text{ mA}$
indirekt geheizt
indirectly heated

$U_{a1} = 1000 \quad 2000 \text{ V}$
 $U_{a2} = 2000 \quad 4000 \text{ V}$
 $U_{g3} = 250 \dots 300 \quad 500 \dots 600 \text{ V}$
 $U_{g1sperr} = -43 \dots -22 \quad -85 \dots -45 \text{ V}$
 $AF_{pk} = 9 \dots 12,5 \quad 18,5 \dots 24,5 \text{ V/cm}$
 $AF_{ps} = 21 \dots 26 \quad 42,5 \dots 51,5 \text{ V/cm}$
 $DF_{pk} = 23 \dots 32 \quad 47 \dots 62 \text{ V/inch.}$
 $DF_{ps} = 53 \dots 66 \quad 108 \dots 157 \text{ V/inch.}$

$U_{a1} = 1000 \dots 3000 \text{ V}$
 $U_{a2} = U_{a1} \dots 2 U_{a1}$
 $U_{g3} = 1500 \text{ V}$
 $U_{g1} = -250 \dots 0 \text{ V}$
 $R_p = 5 \text{ M}\Omega$
 $R_{g1} = 1,5 \text{ M}\Omega$

Oszillographen-Röhre mit
Nachbeschleunigung und
Planschirm

Flat-faced 4" CRT with
post-acceleration



Durchmesser $100 \pm 2 \text{ mm}$
Ausnutzbare Auslenkung
ps-Richtung min. 80 mm
pk-Richtung min. 52 mm
Länge über alles $300 \pm 5 \text{ mm}$
Gewicht ca. 500 g

Diameter
Useful deflection
ps-direction
pk-direction
Overall length
Weight

Zubehör (Lagernummer)

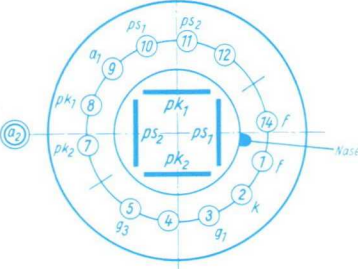
Fassung 30 223
Abschirmzylinder 30 312
Nachbeschleunigungs-
anschluß 30 317

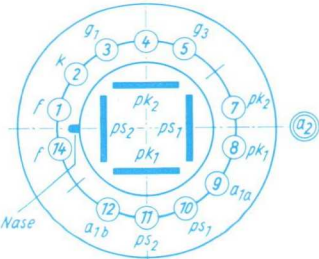
Accessories (stock no.)

Socket
Shielding
Post-acceleration cap

Oszillographen-Röhren • Cathode-ray tubes

Type · Anwendung Type · Application	Heizung Heating	Betriebswerte Typical operation	Grenzwerte Maximum ratings
DB 13-12			
Oszillographen-Röhre mit großer Schreibgeschwindigkeit. Nur für Nachbestückung empfohlen! High speed 5" CRT, recommended for replacement only	$U_f = 4 \text{ V}$ $I_f \text{ ca. } 500 \text{ mA}$ indirekt geheizt indirectly heated	$U_a = 8000 \text{ V}$ $U_{g3} = 1800...2800 \text{ V}$ $U_{g2} = 650 \text{ V}$ $U_{g1sperr} = -100...-60 \text{ V}$ $AF_{pk} = 80 \text{ V/cm}$ $AF_{ps} = 100 \text{ V/cm}$ $DF_{pk} = 203 \text{ V/inch.}$ $DF_{ps} = 254 \text{ V/inch.}$	$U_a = 2000...8000 \text{ V}$ $U_{g3} = 2800 \text{ V}$ $U_{g2} = 500...700 \text{ V}$ $U_{g1} = -150...0 \text{ V}$ $R_p = 3 \text{ M}\Omega$ $R_{g1} = 1,5 \text{ M}\Omega$
Sockelschaltung auf Anfrage Base connection on request		Durchmesser $130 \pm 2 \text{ mm}$ Ausnutzbare Auslenkung min. 110 mm Länge über alles $435 \pm 5 \text{ mm}$ Gewicht ca. 650 g Zubehör (Lagernummer) Fassung 30 215	Diameter Useful deflection Overall length Weight Accessories (stock no.) Socket

Type · Anwendung Type · Application	Heizung Heating	Betriebswerte Typical operation	Grenzwerte Maximum ratings
DB 13-14 DG 13-14 DN 13-14 DP 13-14			
Oszillographen-Röhre mit Nachbeschleunigung und Planschirm Flat-faced 5" CRT with post-acceleration	$U_f = 6,3 \text{ V}$ $I_f \text{ ca. } 300 \text{ mA}$ indirekt geheizt indirectly heated	$U_{a1} = 2000 \text{ V}$ $U_{a2} = 4000 \text{ V}$ $U_{g3} = 360...620 \text{ V}$ $U_{g1sperr} = -82...-48 \text{ V}$ $AF_{pk} = 24... 30 \text{ V/cm}$ $AF_{ps} = 30... 37 \text{ V/cm}$ $DF_{pk} = 61... 76 \text{ V/inch.}$ $DF_{ps} = 76... 94 \text{ V/inch.}$	$U_{a1} = 1000...3000 \text{ V}$ $U_{a2} = U_{a1}...2 U_{a1}$ $U_{g3} = 1500 \text{ V}$ $U_{g1} = -250...0 \text{ V}$ $R_p = 5 \text{ M}\Omega$ $R_{g1} = 1,5 \text{ M}\Omega$
		Durchmesser $133 \pm 2,5 \text{ mm}$ Ausnutzbare Auslenkung min. 102 mm Länge über alles $370 \pm 5 \text{ mm}$ Gewicht ca. 700 g Zubehör (Lagernummer) Fassung 30 223 Abschirmzylinder 30 313 Nachbeschleunigungsanschluß 30 317	Diameter Useful deflection Overall length Weight Accessories (stock no.) Socket Shielding Post-acceleration cap

Type · Anwendung Type · Application	Heizung Heating	Betriebswerte Typical operation	Grenzwerte Maximum ratings
DB 13-18 DG 13-18 DN 13-18			
Planschirm, Nachbeschleunigung und sehr große Helligkeit. Besonders geeignet für das Impuls-Echolot-Verfahren, z. B. Ultraschall-Materialprüfgeräte Flat-faced 5" CRT with post-acceleration. Particularly useful for applications requiring high brightness-level, e.g. for structural material testing devices using ultrasonics	$U_f = 6,3 \text{ V}$ $I_f \text{ ca. } 300 \text{ mA}$ indirekt geheizt indirectly heated	$U_{a1a} = 2000 \pm 75 \text{ V}$ $U_{a1b} = 2000 \pm 75 \text{ V}$ $U_{a2} = 10000 \text{ V}$ $U_{g3} = 400... 590 \text{ V}$ $U_{g1sperr} = -75...-45 \text{ V}$ $I_{a1b} = 20... 60 \mu\text{A}$ $AF_{pk} = 33,5...40,5 \text{ V/cm}$ $AF_{ps} = 29,5...36,5 \text{ V/cm}$ $DF_{pk} = 85... 103 \text{ V/inch.}$ $DF_{ps} = 75... 93 \text{ V/inch.}$	$U_{a1a} = 1000... 3000 \text{ V}$ $U_{a1b} = 1000... 3000 \text{ V}$ $U_{a2} = 5000...11000 \text{ V}$ $U_{g3} = 1500 \text{ V}$ $U_{g1} = -250...0 \text{ V}$ $R_p = 5 \text{ M}\Omega$ $R_{g1} = 10 \text{ M}\Omega$
		Durchmesser $133 \pm 2,5 \text{ mm}$ Ausnutzbare Auslenkung min. 100 mm Länge über alles $425 \pm 10 \text{ mm}$ Gewicht ca. 800 g Zubehör (Lagernummer) Fassung 30 223 Abschirmzylinder 30 427 Nachbeschleunigungsanschluß 30 319	Diameter Useful deflection Overall length Weight Accessories (stock no.) Socket Shielding Post-acceleration cap

Oszillographen-Röhren · Cathode-ray tubes

Type · Anwendung
Type · Application

Heizung
Heating

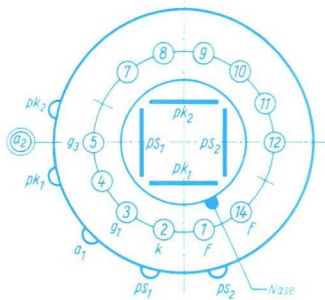
Betriebswerte
Typical operation

Grenzwerte
Maximum ratings

DB 13-54
DG 13-54
DN 13-54
DP 13-54

Hohe Ablenkempfindlichkeit, geringe Plattenkapazität, Nachbeschleunigung und Planschirm. Besonders für Breitband-Oszillographen geeignet

Flat-faced 5" CRT with high deflection sensitivity, low capacitances and post-acceleration. Particularly useful for wide-band oscillographs



$U_f = 6,3 \text{ V}$
 $I_f \text{ ca. } 300 \text{ mA}$
indirekt geheizt
indirectly heated

$U_{a1} = 2000 \text{ V}$
 $U_{a2} = 4000 \text{ V}$
 $U_{g3} = 360...700 \text{ V}$
 $U_{g1\text{sperr}} = -90...-30 \text{ V}$
 $AF_{pk} = 10...16 \text{ V/cm}$
 $AF_{ps} = 24...28,5 \text{ V/cm}$
 $DF_{pk} = 25,4...40,7 \text{ V/inch.}$
 $DF_{ps} = 61...72 \text{ V/inch.}$

$U_{a1} = 1000...4000 \text{ V}$
 $U_{a2} = U_{a1}...2 U_{a1}$
 $U_{g3} = 2000 \text{ V}$
 $U_{g1} = -250...0 \text{ V}$
 $R_p = 5 \text{ M}\Omega$
 $R_{g1} = 10 \text{ M}\Omega$

Durchmesser $133 \pm 2,5 \text{ mm}$
Ausnutzbare Auslenkung
ps-Richtung min. 105 mm
pk-Richtung min. 65 mm
Länge über alles $450 \pm 7,5 \text{ mm}$
Gewicht ca. 1000 g

Diameter
Useful deflection
ps-direction
pk-direction
Overall length
Weight

Zubehör (Lagernummer)

Fassung 30 223
Abschirmzylinder 30 337
Nachbeschleunigungsanschluß 30 317
Ablenkplattenanschlüsse 30 341

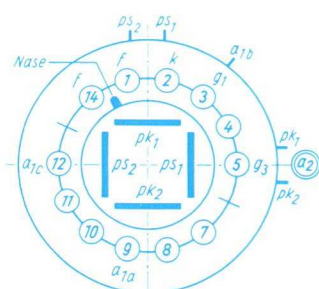
Accessories (stock no.)

Socket
Shielding
Post-acceleration cap
Caps for deflection terminals

DB 13-58
DG 13-58
DN 13-58

Sehr hohe Ablenkempfindlichkeit, niedrige Plattenkapazität, sehr große Helligkeit und Planschirm. Besonders geeignet für Breitband-Oszillographen mit hoher Grenzfrequenz

Flat-faced 5" CRT with post-acceleration, high deflection sensitivity, small capacitances and high brightness-level. Particularly useful for wide-band oscillographs with very high cutoff frequency



$U_f = 6,3 \text{ V}$
 $I_f \text{ ca. } 300 \text{ mA}$
indirekt geheizt
indirectly heated

$U_{a1a} = 1670^{+80}_{-95} \text{ V}$
 $U_{a1b} = 1670^{+30}_{-95} \text{ V}$
 $U_{a1c} = 1670^{+30}_{-95} \text{ V}$
 $U_{a2} = 10000 \text{ V}$
 $I_{a1b} = 14...42 \mu\text{A}$
 $U_{g3}^{1)} = 204...315 \text{ V}$
 $U_{g1\text{sperr}} = -80...-50 \text{ V}$
 $AF_{pk} = 5,9...7,2 \text{ V/cm}$
 $AF_{ps} = 27,5...33,5 \text{ V/cm}$
 $DF_{pk} = 15...18,3 \text{ V/inch.}$
 $DF_{ps} = 70...85 \text{ V/inch.}$

$U_{a1a} = 2000 \text{ V}$
 $U_{a1b} = 2100 \text{ V}$
 $U_{a1c} = 2100 \text{ V}$
 $U_{a2} = 12000 \text{ V}$
 $U_{g3} = 800 \text{ V}$
 $U_{g1} = -250...0 \text{ V}$
 $R_p = 1 \text{ M}\Omega$
 $R_{g1} = 1,5 \text{ M}\Omega$

¹⁾ $I_S = 10 \mu\text{A}$

Durchmesser $133 \pm 2,5 \text{ mm}$
Ausnutzbare Auslenkung
ps-Richtung min. 100 mm
pk-Richtung min. 40 mm
Länge über alles $463,5 \pm 5 \text{ mm}$
Gewicht ca. 1000 g

Diameter
Useful deflection
ps-direction
pk-direction
Overall length
Weight

Zubehör (Lagernummer)

Fassung 30 223
Abschirmzylinder 30 428
Nachbeschleunigungsanschluß 30 319
Ablenkplattenanschlüsse 30 429

Accessories (stock no.)

Socket
Shielding
Post-acceleration cap
Caps for deflection terminals

Oszillographen-Röhren · Cathode-ray tubes

Type · Anwendung
Type · Application

Heizung
Heating

Betriebswerte
Typical operation

Grenzwerte
Maximum ratings

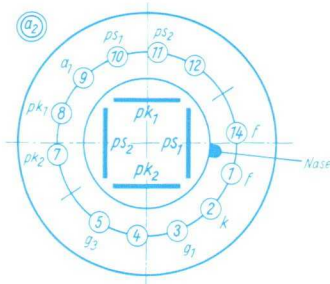
DB 18-14
DG 18-14
DN 18-14
DP 18-14

Oszillographen-Röhre
mit großer Schirmfläche und
Nachbeschleunigung
7" CRT with post-acceleration

$U_f = 6,3 \text{ V}$
 $I_f \text{ ca. } 300 \text{ mA}$
indirekt geheizt
indirectly heated

$U_{a1} = 2000 \text{ V}$
 $U_{a2} = 4000 \text{ V}$
 $U_{g3} = 400 \dots 600 \text{ V}$
 $U_{g1\text{sperr}} = -85 \dots -45 \text{ V}$
 $AF_{pk} = 26,5 \dots 31,5 \text{ V/cm}$
 $AF_{ps} = 31,5 \dots 37,5 \text{ V/cm}$
 $DF_{pk} = 67 \dots 80 \text{ V/inch.}$
 $DF_{ps} = 80 \dots 95 \text{ V/inch.}$

$U_{a1} = 1000 \dots 3000 \text{ V}$
 $U_{a2} = U_{a1} \dots 2 U_{a1}$
 $U_{g3} = 1500 \text{ V}$
 $U_{g1} = -250 \dots 0 \text{ V}$
 $R_p = 5 \text{ M}\Omega$
 $R_{g1} = 1,5 \text{ M}\Omega$



Durchmesser $180 \pm 2 \text{ mm}$
Ausnutzbare Auslenkung min. 160 mm
Länge über alles $370 \pm 5 \text{ mm}$
Gewicht ca. 800 g

Diameter
Useful deflection
Overall length
Weight

Zubehör (Lagernummer)
Fassung $30\ 223$
Abschirmzylinder $30\ 314$
Nachbeschleunigungs-
anschluß $30\ 317$

Accessories (stock no.)
Socket
Shielding
Post-acceleration cap

DBM 10-12
DGM 10-12
DNM 10-12
DPM 10-12

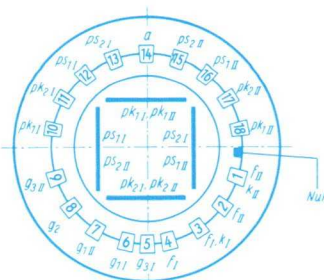
Zweistrahlen-Oszillographen-
Röhre mit Planschirm.
Nur für Nachbestückung
empfohlen!

Flat-faced 4" CRT containing
two separate guns,
recommended for replacement
only

per System
 $U_f = 4 \text{ V}$
 $I_f \text{ ca. } 500 \text{ mA}$
indirekt geheizt
indirectly heated

System I = System II
 $U_a = 1500 \text{ V}$
 $U_{g3} = 350 \dots 500 \text{ V}$
 $U_{g2} = 320 \text{ V}$
 $U_{g1\text{sperr}} = -70 \dots -15 \text{ V}$
 $AF_{pk} = 44 \text{ V/cm}$
 $AF_{ps} = 48 \text{ V/cm}$
 $DF_{pk} = 110 \text{ V/inch.}$
 $DF_{ps} = 121 \text{ V/inch.}$

System I = System II
 $U_a = 1000 \dots 2000 \text{ V}$
 $U_{g3} = 700 \text{ V}$
 $U_{g2} = 250 \dots 400 \text{ V}$
 $U_{g1} = -150 \dots 0 \text{ V}$
 $R_p = 5 \text{ M}\Omega$
 $R_{g1} = 1,5 \text{ M}\Omega$



Durchmesser $100 \pm 2 \text{ mm}$
Ausnutzbare Auslenkung min. 80 mm
Länge über alles $395 \pm 5 \text{ mm}$
Gewicht ca. 1000 g

Diameter
Useful deflection
Overall length
Weight

Zubehör (Lagernummer)
Fassung $30\ 221$
Abschirmzylinder $30\ 315$

Accessories (stock no.)
Socket
Shielding

Oszillographen-Röhren · Cathode-ray tubes

Type · Anwendung
Type · Application

Heizung
Heating

Betriebswerte
Typical operation

Grenzwerte
Maximum ratings

DBM 10-14
DGM 10-14
DNM 10-14
DPM 10-14

Zweistrahl-Oszillographen-
Röhre mit Planschirm
und Nachbeschleunigung.
Nur für Nachbestückung!

Flat-faced 4" CRT containing
two separate guns
with post-acceleration,
recommended for replacement
only



per System
 $U_f = 4 \text{ V}$
 $I_f \text{ ca. } 500 \text{ mA}$
indirekt geheizt
indirectly heated

System I = System II
 $U_{a1} = 1500 \text{ V}$
 $U_{a2} = 7500 \text{ V}$
 $U_{g3} = 350...500 \text{ V}$
 $U_{g2} = 320 \text{ V}$
 $U_{g1\text{sperr}} = -70...-15 \text{ V}$
 $AF_{pk} = 62,5 \text{ V/cm}$
 $AF_{ps} = 67 \text{ V/cm}$
 $DF_{pk} = 158 \text{ V/inch.}$
 $DF_{ps} = 170 \text{ V/inch.}$

System I = System II
 $U_{a1} = 1000...2000 \text{ V}$
 $U_{a2} = U_{a1}...5 U_{a1}^1)$
 $U_{g3} = 700 \text{ V}$
 $U_{g2} = 250...400 \text{ V}$
 $U_{g1} = -150...0 \text{ V}$
 $R_p = 5 \text{ M}\Omega$
 $R_{g1} = 1,5 \text{ M}\Omega$

¹⁾ max. 7500 V

Durchmesser $100 \pm 2 \text{ mm}$
Ausnutzbare Auslenkung min. 60 mm
Länge über alles $395 \pm 5 \text{ mm}$
Gewicht ca. 1000 g

Diameter
Useful deflection
Overall length
Weight

Zubehör (Lagernummer)

Fassung 30 221
Abschirmzylinder 30 315

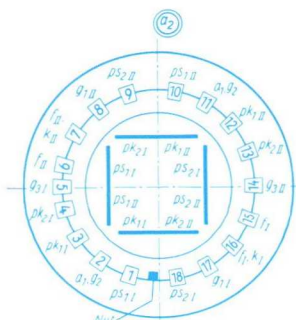
Accessories (stock no.)

Socket
Shielding

DBM 13-14
DGM 13-14
DNM 13-14
DPM 13-14

Zweistrahl-Oszillographen-
Röhre mit Planschirm
und Nachbeschleunigung

Flat-faced 5" CRT containing
two separate guns
with post-acceleration



per System
 $U_f = 6,3 \text{ V}$
 $I_f \text{ ca. } 300 \text{ mA}$
indirekt geheizt
indirectly heated

System I = System II
 $U_{a1} = 2000 \text{ V}$
 $U_{a2} = 4000 \text{ V}$
 $U_{g3} = 420...620 \text{ V}$
 $U_{g1\text{sperr}} = -85...-50 \text{ V}$
 $AF_{pk} = 20...25 \text{ V/cm}$
 $AF_{ps} = 21...26 \text{ V/cm}$
 $DF_{pk} = 51...63,5 \text{ V/inch.}$
 $DF_{ps} = 53,5...66 \text{ V/inch.}$

System I = System II
 $U_{a1} = 1000...3000 \text{ V}$
 $U_{a2} = U_{a1}...2 U_{a1}$
 $U_{g3} = 1500 \text{ V}$
 $U_{g1} = -250...0 \text{ V}$
 $R_p = 5 \text{ M}\Omega$
 $R_{g1} = 1,5 \text{ M}\Omega$

Durchmesser $133 \pm 2,5 \text{ mm}$
Ausnutzbare Auslenkung min. 102 mm
Länge über alles $480 \pm 9 \text{ mm}$
Gewicht ca. 1300 g

Diameter
Useful deflection
Overall length
Weight

Zubehör (Lagernummer)

Fassung 30 221
Abschirmzylinder 30 395
Nachbeschleunigungs-
anschluß 30 317

Accessories (stock no.)

Socket
Shielding
Post-acceleration cap

Oszillographen-Röhren · Cathode-ray tubes

Type · Anwendung
Type · Application

Heizung
Heating

Betriebswerte
Typical operation

Grenzwerte
Maximum ratings

DBM 13-34

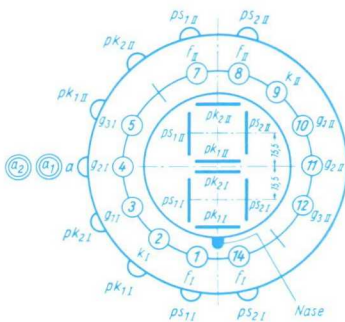
Zweistrahlo-Oszillographen-Röhre mit Planschirm und Nachbeschleunigung. Besonders für fotografische Registrierung sehr schnell verlaufender Vorgänge geeignet

Flat-faced 5" CRT containing two separate guns with post-acceleration. Particularly useful for the study of high frequent signals of low repetition-rates or single transients

per System
 $U_f = 6,3 \text{ V}$
 $I_f \text{ ca. } 300 \text{ mA}$
indirekt geheizt
indirectly heated

System I = System II
 $U_{a1} = 8000 \text{ V}$
 $U_{a2} = 16000 \text{ V}$
 $U_{g3} = 1800...2500 \text{ V}$
 $U_{g2} = 3000 \text{ V}$
 $U_{g1\text{sperr}} = -140...-60 \text{ V}$
 $AF_{pk} = 100 \text{ V/cm}$
 $AF_{ps} = 118 \text{ V/cm}$
 $DF_{pk} = 254 \text{ V/inch.}$
 $DF_{ps} = 300 \text{ V/inch.}$

System I = System II
 $U_{a1} = 3000...11000 \text{ V}$
 $U_{a2} = 6000...2 U_{a1}$
 $U_{g3} = 3800 \text{ V}$
 $U_{g2} = 4000 \text{ V}$
 $U_{g1} = -250...0 \text{ V}$
 $R_p = 5 \text{ M}\Omega$
 $R_{g1} = 1,5 \text{ M}\Omega$



Durchmesser $133 \pm 2,5 \text{ mm}$
Ausnutzbare Auslenkung ca. 110 mm
Länge über alles $463,5 \pm 9 \text{ mm}$
Gewicht ca. 1300 g

Diameter
Useful deflection
Overall length
Weight

Zubehör (Lagernummer)

Fassung 30 223
Abschirmzylinder 30 342
Nachbeschleunigungsanschluß 30 317
Ablenkplattenanschlüsse 30 341

Accessories (stock no.)

Socket
Shielding
Post-acceleration cap
Caps for deflection terminals

DBM 16-12 DGM 16-12 DNM 16-12

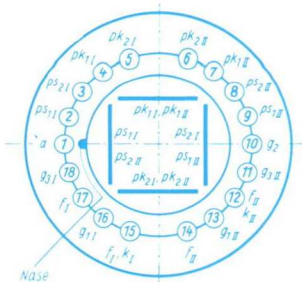
Zweistrahlo-Oszillographen-Röhre mit großer Schirmfläche. Nur für Nachbestückung empfohlen!

6" CRT containing two separate guns, recommended for replacement only

per System
 $U_f = 4 \text{ V}$
 $I_f \text{ ca. } 500 \text{ mA}$
indirekt geheizt
indirectly heated

System I = System II
 $U_a = 1500 \text{ V}$
 $U_{g3} = 350...500 \text{ V}$
 $U_{g2} = 320 \text{ V}$
 $U_{g1\text{sperr}} = -70...-15 \text{ V}$
 $AF_{pk} = 38 \text{ V/cm}$
 $AF_{ps} = 44 \text{ V/cm}$
 $DF_{pk} = 97 \text{ V/inch.}$
 $DF_{ps} = 110 \text{ V/inch.}$

System I = System II
 $U_a = 1000...2000 \text{ V}$
 $U_{g3} = 700 \text{ V}$
 $U_{g2} = 250...400 \text{ V}$
 $U_{g1} = -150...0 \text{ V}$
 $R_p = 5 \text{ M}\Omega$
 $R_{g1} = 1,5 \text{ M}\Omega$



Durchmesser $160 \pm 2 \text{ mm}$
Ausnutzbare Auslenkung min. 130 mm
Länge über alles $420 \pm 5 \text{ mm}$
Gewicht ca. 1300 g

Diameter
Useful deflection
Overall length
Weight

Zubehör (Lagernummer)

Fassung 30 222
Abschirmzylinder 30 316

Accessories (stock no.)

Socket
Shielding

Oszillographen-Röhren · Cathode-ray tubes

Type · Anwendung
Type · Application

Heizung
Heating

Betriebswerte
Typical operation

Grenzwerte
Maximum ratings

DBM 16-14
DGM 16-14
DNM 16-14
DPM 16-14

Zweistrahl-Oszillographen-Röhre mit Nachbeschleunigung.
Nur für Nachbestückung empfohlen!

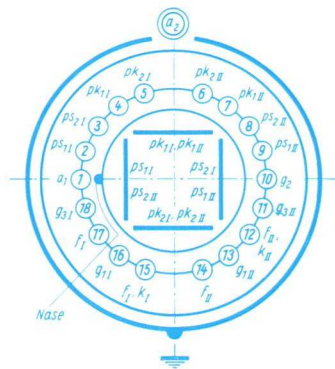
6" CRT containing two separate guns with post-acceleration, recommended for replacement only

per System
 $U_f = 4 \text{ V}$
 $I_f \text{ ca. } 500 \text{ mA}$
indirekt geheizt
indirectly heated

System I = System II
 $U_{a1} = 1500 \text{ V}$
 $U_{a2} = 7500 \text{ V}$
 $U_{g3} = 350...500 \text{ V}$
 $U_{g2} = 320 \text{ V}$
 $U_{g1\text{sperr}} = -70...-15 \text{ V}$
 $AF_{pk} = 60 \text{ V/cm}$
 $AF_{ps} = 63 \text{ V/cm}$
 $DF_{pk} = 152 \text{ V/inch.}$
 $DF_{ps} = 158 \text{ V/inch.}$

System I = System II
 $U_{a1} = 1000...2000 \text{ V}$
 $U_{a2} = U_{a1}...5 U_{a1}^1)$
 $U_{g3} = 700 \text{ V}$
 $U_{g2} = 250...400 \text{ V}$
 $U_{g1} = -150...0 \text{ V}$
 $R_p = 5 \text{ M}\Omega$
 $R_{g1} = 1,5 \text{ M}\Omega$

¹⁾ max. 7500 V



Durchmesser $168 \pm 1 \text{ mm}$
Ausnutzbare Auslenkung min. 100 mm
Länge über alles $420 \pm 5 \text{ mm}$
Gewicht ca. 1500 g

Diameter
Useful deflection
Overall length
Weight

Zubehör (Lagernummer)
Fassung 30 222
Abschirmzylinder 30 316

Accessories (stock no.)
Socket
Shielding

MF 13-39
MP 13-39

Oszillographen-Röhre mit magnetischer Fokussierung und Ablenkung für Radargeräte

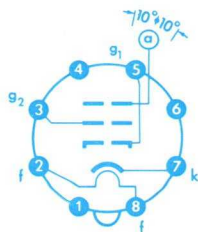
5" CRT magnetically focused and deflected, primarily designed for radar indicator applications

$U_f = 6,3 \text{ V}$
 $I_f \text{ ca. } 300 \text{ mA}$
 $I_f = 300 \text{ mA}$
 $U_f \text{ ca. } 6,3 \text{ V}$

$U_a = 4000 \quad 7000 \text{ V}$
 $U_{g2} = 250 \quad 250 \text{ V}$
 $U_{g1\text{sperr}} = -70...-25 \quad -70...-25 \text{ V}$

$U_a = 8000 \text{ V}$
 $U_{g2} = 700 \text{ V}$
 $U_{g1}^1) = -250...0 \text{ V}$
 $U_{fk}^2) (< 15 \text{ sec})$
 $= 410 \text{ V}$
 $U_{fk}^2) = 125 \text{ V}$
 $U_{fk}^3) = 125 \text{ V}$
 $R_{g1} = 1,5 \text{ M}\Omega$
 $U_f^4) = 9,5 \text{ V}$

¹⁾ pos. Spitze +2 V
pos. peak +2 V
²⁾ f neg, k pos
³⁾ f pos, k neg
⁴⁾ Anheizzeit
Warm-up time



Oktal

Durchmesser $125,4 \pm 2,5 \text{ mm}$
Länge über alles $279 \pm 5 \text{ mm}$
Gewicht ca. 500 g

Diameter
Overall length
Weight

Zubehör (Lagernummer)
Anodenanschluß 30 317

Accessories (stock no.)
Anode terminal

Klein-Thyratrons · Small thyratrons

Type · Anwendung
Type · Application

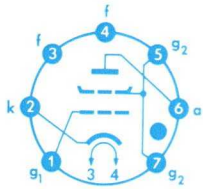
Allgemeine Daten
General data

Kapazitäten
Capacitances

Grenzwerte
Maximum ratings

2 D 21

Kleinthyratron
Small thyatron



Pico 7 · Miniatur
Größe 2 · Outlines 2

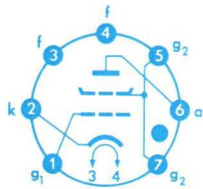
$U_f = 6,3 V \pm 10\%$
 I_f ca. 600 mA
Anheizzeit
Warm-up time
min. 10 s
 τ max. 30 s
 $t_i = 0,5 \mu s$
 $U_{aB} = 8 V$

$C_{g1} = 2 \text{ pF}$
 $C_{g1a} = 0,03 \text{ pF}$
 $C_a = 2,7 \text{ pF}$

$U_{asp} = 650 V$
 $U_{asperr} = 1300 V$
 $U_{g2sp} = -100 V$
 $U_{g2} = -10 V$
 $U_{g1sp} = -100 V$
 $U_{g1} = -10 V$
 $I_{asp} = 500 \text{ mA}$
 $I_a = 100 \text{ mA}$
 $I_{g2} = 10 \text{ mA}$
 $I_{g1} = 10 \text{ mA}$
 $R_{g1} = 10 \text{ M}\Omega$
 $U_{fk+} = 100 V$
 $U_{fk-} = 25 V$
 t_{amb} max. $+90 \text{ }^\circ\text{C}$
 t_{amb} min. $-75 \text{ }^\circ\text{C}$
 I_{stoss} für 0,1 s
= 10 A

5696

Kleinthyratron
Small thyatron



Pico 7 · Miniatur
Größe 1 · Outlines 1

$U_f = 6,3 V \pm 10\%$
 I_f ca. 150 mA
Anheizzeit
Warm-up time
min. 10 s
 τ max. 30 s
 $t_i = 0,5 \mu s$
 $U_{aB} = 10 V$

$C_{g1} = 1,8 \text{ pF}$
 $C_{g1a} = 0,03 \text{ pF}$
 $C_a = 0,54 \text{ pF}$

$U_{asp} = 500 V$
 $U_{asperr} = 500 V$
 $U_{g2sp} = -50 V$
 $U_{g2} = -10 V$
 $U_{g1sp} = -100 V$
 $U_{g1} = -10 V$
 $I_{asp} = 100 \text{ mA}$
 $I_a = 25 \text{ mA}$
 $I_{g2} = 5 \text{ mA}$
 $I_{g1} = 5 \text{ mA}$
 $R_{g1} = 10 \text{ M}\Omega$
 $U_{fk+} = 100 V$
 $U_{fk-} = 25 V$
 t_{amb} max. $+90 \text{ }^\circ\text{C}$
 t_{amb} min. $-55 \text{ }^\circ\text{C}$
 I_{stoss} für 0,1 s
= 2 A

Kaltkathoden-Röhren · Cold-cathode tubes

Type · Anwendung
Type · Application

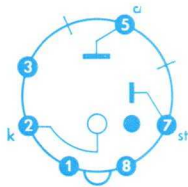
Allgemeine Daten
General data

Betriebswerte
Typical operation

Grenzwerte
Maximum ratings

OA 4 G

Relaisröhre
mit kalter Kathode
Cold-cathode tube



Oktal
Größe 40 · Outlines 40

U_{aZ}	min.	+225 V
U_{stZ}	=	+70...+90 V
U_{aB}	=	70 V
U_{stB}	=	60 V
I_{st}	ca.	50 μ A
t_i	=	20 μ s
t_d	=	2,5 ms
τ	max.	10 s

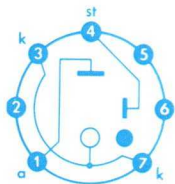
U_a	=	125 V _{eff}
U_{st}	max.	50 V
U_{stsp}	min.	105 V
Arbeitsbereich Working range Quadrant I		

I_{asp}	=	100 mA
I_a	max.	25 mA
I_a	min.	5 mA
I_{stsp}	=	500 μ A
t_{amb}	max.	+75 °C
t_{amb}	min.	-60 °C

Brennspannungsangaben sind Mittelwerte.
Conducting voltages are average values.

5823

Relaisröhre mit
kalter Oxydkathode
Cold-cathode tube



Pico 7 · Miniatur
Größe 2 · Outlines 2

U_{aZ}	min.	+200 V
U_{stZ}	=	+70...+90 V
U_{aB}	ca.	65 V
U_{stB}	ca.	60 V
I_{st}	ca.	50 μ A
t_i	=	20 μ s
t_d	=	1 ms
τ	max.	5 s

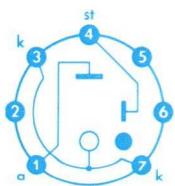
U_a	=	110 V _{eff}
U_{st}	max.	45 V
U_{stsp}	min.	105 V
Arbeitsbereich Working range Quadrant I		

I_{asp}	=	100 mA
I_a	max.	25 mA
I_a	min.	5 mA
I_{stsp}	=	500 μ A
t_{amb}	max.	+75 °C
t_{amb}	min.	-60 °C

Brennspannungsangaben sind Mittelwerte.
Conducting voltages are average values.

5823 A

Relaisröhre mit
kalter Oxydkathode
Cold-cathode tube



Pico 7 · Miniatur
Größe 2 · Outlines 2

U_{aZ}	min.	+350 V
U_{stZ}	=	+70...+90 V
U_{aB}	=	65 V
U_{stB}	=	60 V
I_{st}	ca.	100 μ A
t_i	=	20 μ s
t_d	=	1 ms
τ	max.	5 s

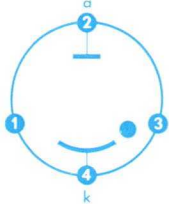
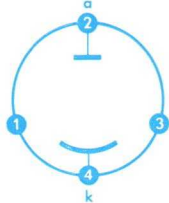
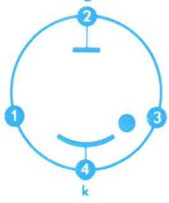
U_{st}	max.	50 V
U_{stsp}	min.	105 V
Arbeitsbereich Working range Quadrant I		

I_{asp}	=	100 mA
I_a	max.	25 mA
I_a	min.	5 mA
I_{stsp}	=	500 μ A
t_{amb}	max.	+75 °C
t_{amb}	min.	-60 °C

Brennspannungsangaben sind Mittelwerte.
Conducting voltages are average values.

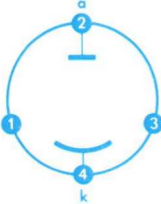
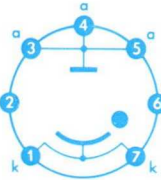
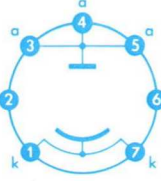
Photozellen · Photo tubes

Blauempfindlich, Maximum bei ca. 400 nm · Blue sensitive, maximum at ca. 400 nm

Type	Allgemeine Daten General data	Meßwerte Measuring values	Betriebswerte Typical operation	Grenzwerte Maximum ratings
FZ 11 GH FZ 11 GS	Gasgefüllt · Gas filled Kathodenfläche = 4 cm ² Cathodes-surface	$U_{b1}) = 90 \text{ V}$ $R_a = 1 \text{ M}\Omega$ $s \text{ ca. } 135 \text{ }\mu\text{A/Lm}$ $I_0 (90 \text{ V}) \leq 0,1 \text{ }\mu\text{A}$ $T_{\text{Farbe}} = 2850 \text{ }^\circ\text{K}$	$U_{b2}) = 90 \text{ V}$ $I_{k3}) = 1 \text{ }\mu\text{A}$	$U_{b2}) = 100 \text{ V}$ $I_k = 2,5 \text{ }\mu\text{A}$ $I_{ksp} = 10 \text{ }\mu\text{A}$ $t_{\text{amb}} = 50 \text{ }^\circ\text{C}$
	Stift 4 Größe · Outlines FZ 11 GH 39 FZ 11 GS 37	1) Gleichspannung · DC-voltage 2) Gleichspannung oder Spitzenwert der angelegten Wechselspannung DC-voltage or peak-value of the AC-voltage 3) Gemittelt über max. 30 s · Average above max. 30 s	Kapazität Capacitance $c_{ak} = 0,9 \text{ pF}$	
FZ 11 VH FZ 11 VS	Hochvakuum High-vacuum Kathodenfläche = 4 cm ² Cathodes-surface	$U_{b1}) = 90 \text{ V}$ $R_a = 1 \text{ M}\Omega$ $s \text{ ca. } 45 \text{ }\mu\text{A/Lm}$ $I_0 (250 \text{ V}) \leq 0,05 \text{ }\mu\text{A}$ $T_{\text{Farbe}} = 2850 \text{ }^\circ\text{K}$	$U_{b2}) = 100 \text{ V}$ $I_{k3}) = 2 \text{ }\mu\text{A}$	$U_{b2}) = 250 \text{ V}$ $I_k = 5 \text{ }\mu\text{A}$ $I_{ksp} = 20 \text{ }\mu\text{A}$ $t_{\text{amb}} = 50 \text{ }^\circ\text{C}$
	Stift 4 Größe · Outlines FZ 11 VH 39 FZ 11 VS 37	1) Gleichspannung · DC-voltage 2) Gleichspannung oder Spitzenwert der angelegten Wechselspannung DC-voltage or peak-value of the AC-voltage 3) Gemittelt über max. 30 s · Average above max. 30 s	Kapazität Capacitance $c_{ak} = 0,9 \text{ pF}$	
FZ 21 GS	Gasgefüllt · Gas filled Kathodenfläche = 6,5 cm ² Cathodes-surface	$U_{b1}) = 90 \text{ V}$ $R_a = 1 \text{ M}\Omega$ $s \text{ ca. } 135 \text{ }\mu\text{A/Lm}$ $I_0 (90 \text{ V}) \leq 0,1 \text{ }\mu\text{A}$ $T_{\text{Farbe}} = 2850 \text{ }^\circ\text{K}$	$U_{b2}) = 90 \text{ V}$ $I_{k3}) = 2 \text{ }\mu\text{A}$	$U_{b2}) = 100 \text{ V}$ $I_k = 5 \text{ }\mu\text{A}$ $I_{ksp} = 15 \text{ }\mu\text{A}$ $t_{\text{amb}} = 50 \text{ }^\circ\text{C}$
	Stift 4 Größe 38 · Outlines 38	1) Gleichspannung · DC-voltage 2) Gleichspannung oder Spitzenwert der angelegten Wechselspannung DC-voltage or peak-value of the AC-voltage 3) Gemittelt über max. 30 s · Average above max. 30 s	Kapazität Capacitance $c_{ak} = 1,5 \text{ pF}$	

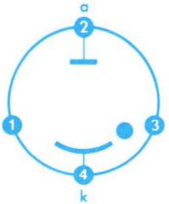
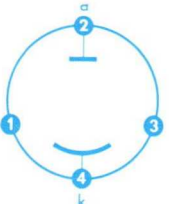
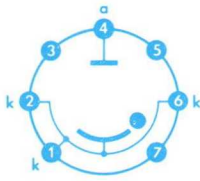
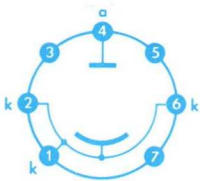
Photozellen · Photo tubes

Blauempfindlich, Maximum bei ca. 400 nm · Blue sensitive, maximum at ca. 400 nm

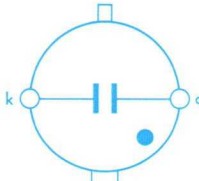
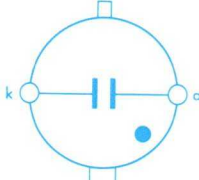
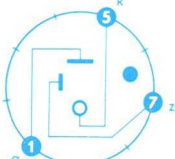
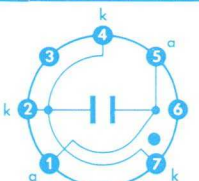
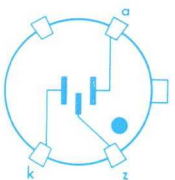
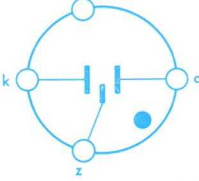
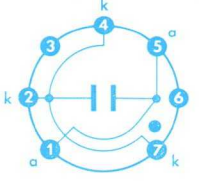
Type	Allgemeine Daten General data	Meßwerte Measuring values	Betriebswerte Typical operation	Grenzwerte Maximum ratings
FZ 21 VS 	Hochvakuum High-vacuum Kathodenfläche = 6,5 cm ² Cathodes-surface	$U_{b1}) = 90 \text{ V}$ $R_a = 1 \text{ M}\Omega$ $s \text{ ca. } 45 \text{ }\mu\text{A/Lm}$ $I_0 (250 \text{ V}) \leq 0,05 \text{ }\mu\text{A}$ $T_{\text{Farbe}} = 2850 \text{ }^\circ\text{K}$	$U_{b2}) = 100 \text{ V}$ $I_{k3}) = 4 \text{ }\mu\text{A}$	$U_{b2}) = 250 \text{ V}$ $I_k = 10 \text{ }\mu\text{A}$ $I_{ksp} = 30 \text{ }\mu\text{A}$ $t_{\text{amb}} = 50 \text{ }^\circ\text{C}$ Kapazität Capacitance $c_{ak} = 1,5 \text{ pF}$
Stift 4 Größe 38 · Outlines 38			1) Gleichspannung · DC-voltage 2) Gleichspannung oder Spitzenwert der angelegten Wechselspannung DC-voltage or peak-value of the AC-voltage 3) Gemittelt über max. 30 s · Average above max. 30 s	
FZ 9011 G 	Gasgefüllt · Gas filled Kathodenfläche = 4 cm ² Cathodes-surface	$U_{b1}) = 90 \text{ V}$ $R_a = 1 \text{ M}\Omega$ $s \text{ ca. } 135 \text{ }\mu\text{A/Lm}$ $I_0 (90 \text{ V}) \leq 0,1 \text{ }\mu\text{A}$ $T_{\text{Farbe}} = 2850 \text{ }^\circ\text{K}$	$U_{b2}) = 90 \text{ V}$ $I_{k3}) = 1 \text{ }\mu\text{A}$	$U_{b2}) = 100 \text{ V}$ $I_k = 2,5 \text{ }\mu\text{A}$ $I_{ksp} = 10 \text{ }\mu\text{A}$ $t_{\text{amb}} = 50 \text{ }^\circ\text{C}$ Kapazität Capacitance $c_{ak} = 0,9 \text{ pF}$
Pico 7 · Miniatur Größe 2 · Outlines 2			1) Gleichspannung · DC-voltage 2) Gleichspannung oder Spitzenwert der angelegten Wechselspannung DC-voltage or peak-value of the AC-voltage 3) Gemittelt über max. 30 s · Average above max. 30 s	
FZ 9011 V 	Hochvakuum High-vacuum Kathodenfläche = 4 cm ² Cathodes-surface	$U_{b1}) = 90 \text{ V}$ $R_a = 1 \text{ M}\Omega$ $s \text{ ca. } 45 \text{ }\mu\text{A/Lm}$ $I_0 (250 \text{ V}) \leq 0,05 \text{ }\mu\text{A}$ $T_{\text{Farbe}} = 2850 \text{ }^\circ\text{K}$	$U_{b2}) = 100 \text{ V}$ $I_{k3}) = 2 \text{ }\mu\text{A}$	$U_{b2}) = 250 \text{ V}$ $I_k = 5 \text{ }\mu\text{A}$ $I_{ksp} = 20 \text{ }\mu\text{A}$ $t_{\text{amb}} = 50 \text{ }^\circ\text{C}$ Kapazität Capacitance $c_{ak} = 0,9 \text{ pF}$
Pico 7 · Miniatur Größe 2 · Outlines 2			1) Gleichspannung · DC-voltage 2) Gleichspannung oder Spitzenwert der angelegten Wechselspannung DC-voltage or peak-value of the AC-voltage 3) Gemittelt über max. 30 s · Average above max. 30 s	

Photozellen · Photo tubes

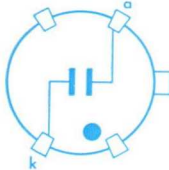
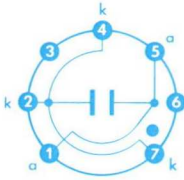
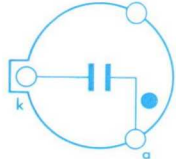
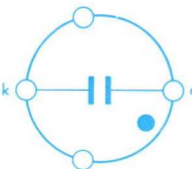
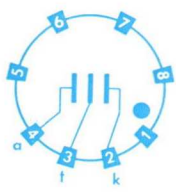
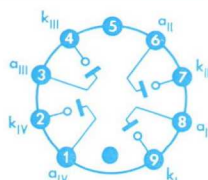
Rot- und infrarotempfindlich, Maximum bei ca. 800 nm · Red- and infrared sensitive, maximum at ca. 800 nm

Type	Allgemeine Daten General data	Meßwerte Measuring values	Betriebswerte Typical operation	Grenzwerte Maximum ratings
FZ 12 GH FZ 12 GS	Gasgefüllt · Gas filled Kathodenfläche = 4 cm ² Cathodes-surface	$U_{b1}) = 90 \text{ V}$ $R_a = 1 \text{ M}\Omega$ $s \text{ ca. } 125 \text{ }\mu\text{A/Lm}$ $I_0 (90 \text{ V}) \leq 0,1 \text{ }\mu\text{A}$ $T_{\text{Farbe}} = 2850 \text{ }^\circ\text{K}$	$U_{b2}) = 90 \text{ V}$ $I_{k3}) = 1 \text{ }\mu\text{A}$	$U_{b2}) = 100 \text{ V}$ $I_k = 2,5 \text{ }\mu\text{A}$ $I_{ksp} = 7 \text{ }\mu\text{A}$ $t_{\text{amb}} = 50 \text{ }^\circ\text{C}$ Kapazität Capacitance $c_{ak} = 1,5 \text{ pF}$
 <p>Stift 4 Größe · Outlines FZ 12 GH 39 FZ 12 GS 37</p>		1) Gleichspannung · DC-voltage 2) Gleichspannung oder Spitzenwert der angelegten Wechselspannung DC-voltage or peak-value of the AC-voltage 3) Gemittelt über max. 30 s · Average above max. 30 s		
FZ 12 VH FZ 12 VS	Hochvakuum High-vacuum Kathodenfläche = 4 cm ² Cathodes-surface	$U_{b1}) = 90 \text{ V}$ $R_a = 1 \text{ M}\Omega$ $s \text{ ca. } 25 \text{ }\mu\text{A/Lm}$ $I_0 (250 \text{ V}) \leq 0,05 \text{ }\mu\text{A}$ $T_{\text{Farbe}} = 2850 \text{ }^\circ\text{K}$	$U_{b2}) = 100 \text{ V}$ $I_{k3}) = 2 \text{ }\mu\text{A}$	$U_{b2}) = 250 \text{ V}$ $I_k = 5 \text{ }\mu\text{A}$ $I_{ksp} = 15 \text{ }\mu\text{A}$ $t_{\text{amb}} = 50 \text{ }^\circ\text{C}$ Kapazität Capacitance $c_{ak} = 1,5 \text{ pF}$
 <p>Stift 4 Größe · Outlines FZ 12 VH 39 FZ 12 VS 37</p>		1) Gleichspannung · DC-voltage 2) Gleichspannung oder Spitzenwert der angelegten Wechselspannung DC-voltage or peak-value of the AC-voltage 3) Gemittelt über max. 30 s · Average above max. 30 s		
FZ 9012 G	Gasgefüllt · Gas filled Kathodenfläche = 2,5 cm ² Cathodes-surface	$U_{b1}) = 90 \text{ V}$ $R_a = 1 \text{ M}\Omega$ $s \text{ ca. } 125 \text{ }\mu\text{A/Lm}$ $I_0 (90 \text{ V}) \leq 0,1 \text{ }\mu\text{A}$ $T_{\text{Farbe}} = 2850 \text{ }^\circ\text{K}$	$U_{b2}) = 90 \text{ V}$ $I_{k3}) = 0,5 \text{ }\mu\text{A}$	$U_{b2}) = 100 \text{ V}$ $I_k = 1 \text{ }\mu\text{A}$ $I_{ksp} = 2 \text{ }\mu\text{A}$ $t_{\text{amb}} = 50 \text{ }^\circ\text{C}$ Kapazität Capacitance $c_{ak} = 1,1 \text{ pF}$
 <p>Pico 7 · Miniatur Größe 2 · Outlines 2</p>		1) Gleichspannung · DC-voltage 2) Gleichspannung oder Spitzenwert der angelegten Wechselspannung DC-voltage or peak-value of the AC-voltage 3) Gemittelt über max. 30 s · Average above max. 30 s		
FZ 9012 V	Hochvakuum High-vacuum Kathodenfläche = 2,5 cm ² Cathodes-surface	$U_{b1}) = 90 \text{ V}$ $R_a = 1 \text{ M}\Omega$ $s \text{ ca. } 20 \text{ }\mu\text{A/Lm}$ $I_0 (250 \text{ V}) \leq 0,05 \text{ }\mu\text{A}$ $T_{\text{Farbe}} = 2850 \text{ }^\circ\text{K}$	$U_{b2}) = 100 \text{ V}$ $I_{k3}) = 1,5 \text{ }\mu\text{A}$	$U_{b2}) = 250 \text{ V}$ $I_k = 2,4 \text{ }\mu\text{A}$ $I_{ksp} = 7,2 \text{ }\mu\text{A}$ $t_{\text{amb}} = 50 \text{ }^\circ\text{C}$ Kapazität Capacitance $c_{ak} = 1,1 \text{ pF}$
 <p>Pico 7 · Miniatur Größe 2 · Outlines 2</p>		1) Gleichspannung · DC-voltage 2) Gleichspannung oder Spitzenwert der angelegten Wechselspannung DC-voltage or peak-value of the AC-voltage 3) Gemittelt über max. 30 s · Average above max. 30 s		

Spannungs-Stabilisator-Röhren · Voltage regulator tubes

Type	U_{aB}	U_{aZ} max.	$I_{a \text{ min}} \dots I_{a \text{ max}}$	R_{\sim} bei $I_{a \text{ mittel}}$	ΔU_{aB} im Regelbereich in the regulating range	Fassung Socket
STV 70/6  Größe 42 · Outlines 42	72...82 V	100 V	2,5...6 mA	750 Ω	3,5 V	Lager-Nr. 301
STV 75/15  Größe 43 · Outlines 43	72...82 V	100 V	5...20 mA	200 Ω	0,5 V	Lager-Nr. 301
STV 85/8  Größe 41 · Outlines 41	82,6...84 V	110 V	1,2...8 mA	300 Ω	3,5 V	Subminiatur
STV 85/10 (OG 3)  Größe 2 · Outlines 2	83...87 V	125 V	1...10 mA	280 Ω	4 V	Pico 7
STV 100/25 Z II  Größe 49 · Outlines 49	98...104 V	107 ¹⁾ V	5...25 mA	100 Ω	2 V	Lager-Nr. 304
<small>1) Bei Zündspannung der Zündelektrode ≥ 160 V · At voltage of the ignition electrode ≥ 160 V</small>						
STV 100/60 Z II  Größe 44 · Outlines 44	98...104 V	106 ¹⁾ V	5...60 mA	20 Ω	2,75 V	Europa
<small>1) Bei Zündspannung der Zündelektrode ≥ 160 V · At voltage of the ignition electrode ≥ 160 V</small>						
STV 108/30 (OB 2)  Größe 4 · Outlines 4	106...111 V	127 V	5...30 mA	100 Ω	3,5 V	Pico 7

Spannungs-Stabilisator-Röhren · Voltage regulator tubes

Type	U_{aB}	U_{aZ} max.	$I_{a\min} \dots I_{a\max}$	R_{\sim} bei $I_{a\text{mittel}}$	ΔU_{aB} im Regelbereich in the regulating range	Fassung Socket
STV 150/15  Größe 45 · Outlines 45	140...160 V	200 V	1...15 mA	1000 Ω	14 V	Lager-Nr. 302
STV 150/30 (OA 2)  Größe 4 · Outlines 4	144...164 V	180 V	5...30 mA	100 Ω	6 V	Pico 7
STV 150/60  Größe 47 · Outlines 47	140...160 V	165 V	10...60 mA	150 Ω	10 V	Lager-Nr. 305
STV 150/60 E  Größe 48 · Outlines 48	140...160 V	165 V	10...60 mA	150 Ω	10 V	Europa
Zweistreckenstabilisator · Two stretch voltage regulator						
STV 150/20  Größe 46 · Outlines 46	142...158 V 70...82 ¹⁾ V	200 V	5...20 mA	400 Ω	7,5 V	Topf, 8polig
						¹⁾ Je Strecke · Per stretch
Vierstreckenstabilisator · Four stretch voltage regulator						
STV 500/0,1  Größe 6 · Outlines 6	497...503 ¹⁾ V 123...127 ²⁾ V	600 ¹⁾ V 155 ²⁾ V	0,09...0,5 mA	48 ¹⁾ Ω 12 ²⁾ Ω	30 ¹⁾ V 8 V	Pico 9
						¹⁾ Die 4 Strecken in Serie geschaltet · The 4 stretch connected in series ²⁾ Je Strecke · Per stretch

Scheibenröhren · Lighthouse tubes

Type · Anwendung
Type · Application

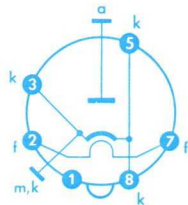
Allgemeine Daten
General data

Betriebswerte
Typical operation

Grenzwerte
Maximum ratings

TA 40

Scheiben-Diode
Lighthouse diode



Oktal
Größe 34 · Outlines 34

$U_f = 6,3 \text{ V}$
 $I_f = 0,5 \pm 0,03 \text{ A}$
indirekt geheizt
indirectly heated
Anheizzeit
Warm-up time
ca. 1 min
 $U_a = 3 \text{ V}$
 $I_a = 27 \pm 5 \text{ mA}$

Absolute Maxima
 $U_a = -150 \text{ V}$
 $I_k = 25 \text{ mA}$
 $t_{\text{Kolben}} = 175 \text{ }^\circ\text{C}$

Kapazität
Capacitance
 $c_{ak} = 2 \dots 2,4 \text{ pF}$

2 C 39 A 2 C 39 BA

Scheiben-Triode
Lighthouse triode

Siehe Abbildung 35
auf Seite 72
See picture 35
at page 72

$U_f = 6,3 \text{ V}$
 $I_f = 0,95 \dots 1,1 \text{ A}$
indirekt geheizt
indirectly heated
Anheizzeit
Warm-up time
ca. 1 min
 $U_a = 600 \text{ V}$
 $R_k = 30 \text{ } \Omega$
 $I_a = 75 \begin{smallmatrix} +20 \\ -15 \end{smallmatrix} \text{ mA}$
 $S = 25 \pm 5 \text{ mA/V}$
 $\mu = 100$

$f = 2000 \text{ MHz}$
 $U_a = 500 \text{ } 800 \text{ V}$
 $U_g = -12 \text{ } -20 \text{ V}$
 $I_a = 100 \text{ } 100 \text{ mA}$
 $I_g = 18 \text{ } 8 \text{ mA}$
 $N_{\text{HF}} = 13 \text{ } 22 \text{ W}$

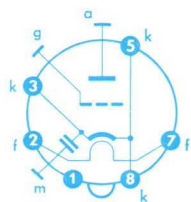
Absolute Maxima
 $U_a = 1000 \text{ V}$
 $Q_a = 100 \text{ W}$
 $U_{\text{gsp}} = -400 \text{ V}$
 $U_{\text{gsp}} = +30 \text{ V}$
 $Q_g = 2 \text{ W}$
 $I_g = 50 \text{ mA}$
 $I_k = 125 \text{ mA}$
 $t_{\text{Kolben}} = 175 \text{ }^\circ\text{C}$
(2 C 39 A)
 $t_{\text{Kolben}} = 200 \text{ }^\circ\text{C}$
(2 C 39 BA)

Kapazitäten
Capacitances
 $c_{ga} = 1,86 \dots 2,16 \text{ pF}$
 $c_{gk} = 5,6 \dots 7,6 \text{ pF}$
 $c_{ak} \leq 0,035 \text{ pF}$

Bei $f > 400 \text{ MHz}$ und Vollast ist U_f zu reduzieren.
At $f > 400 \text{ Mc/s}$ and full load is U_f to reduce.

2 C 40

Scheiben-Triode
Lighthouse triode



Oktal
Größe 36 · Outlines 36

$U_f = 6,3 \text{ V}$
 $I_f = 0,75 \pm 0,05 \text{ A}$
indirekt geheizt
indirectly heated
Anheizzeit
Warm-up time
ca. 1 min
 $U_a = 250 \text{ V}$
 $R_k = 200 \text{ } \Omega$
 $I_a = 17,5 \pm 4,5 \text{ mA}$
 $S = 5 \begin{smallmatrix} +0,7 \\ -0,6 \end{smallmatrix} \text{ mA/V}$
 $\mu = 36$

$f = 2300 \text{ } 3300 \text{ MHz}$
 $U_a = 250 \text{ } 250 \text{ V}$
 $U_g = -10 \text{ } -5 \text{ V}$
 $I_a = 20 \text{ } 20 \text{ mA}$
 $I_g = 1,2 \text{ } 0,3 \text{ mA}$
 $N_{\text{HF}} = 0,5 \text{ } 0,075 \text{ W}$

Absolute Maxima
 $U_a = 500 \text{ V}$
 $Q_a = 6,5 \text{ W}$
 $I_k = 25 \text{ mA}$
 $t_{\text{Kolben}} = 200 \text{ }^\circ\text{C}$

Kapazitäten
Capacitances
 $c_{ga} = 1,15 \dots 1,4 \text{ pF}$
 $c_{gk} = 1,9 \dots 2,35 \text{ pF}$
 $c_{ak} \leq 0,03 \text{ pF}$

Reflexklystrons

Type · Anwendung Type · Application	Allgemeine Daten General data	Betriebswerte Typical operation	Grenzwerte Maximum ratings														
TK 6																	
Reflexklystron	$U_f = 6,3 \text{ V} \pm 5\%$ $I_f \text{ ca. } 0,4 \text{ A}$ indirekt geheizt indirectly heated Anheizzeit Warm-up time = 1,5 min $U_o = 300 \text{ V}$ $U_R = -50 \text{ V}$ $f = 7 \text{ GHz}$ (nicht schwingend) (not excited) $I_o = 18...30 \text{ mA}$ $I_R \leq 3 \mu\text{A}$	$n = 3$ $f = 6,3...7,7 \text{ GHz}$ $U_o = 300 \text{ V}$ $I_o = 28 \text{ mA}$ $U_R = -280...-40 \text{ V}$ $\Delta f_{1/2}^1) = 40 \text{ MHz}$ $N_{HFopt} = 200 \text{ mW}$	Absolute Maxima $U_o = 330 \text{ V}$ $I_o = 35 \text{ mA}$ $U_R = -400...0 \text{ V}$ $U_{fk} = 50 \text{ V}$ $t_{Kolben} = 160 \text{ }^\circ\text{C}$ $t_{Auskopplung} = 75 \text{ }^\circ\text{C}$														
		1) $\Delta f_{1/2}$ = elektronische Bandbreite zwischen Punkten halber Leistung half-power electronic-tuning range															
TK 8																	
Reflexklystron	$U_f = 6,3 \text{ V} \pm 5\%$ $I_f \text{ ca. } 0,4 \text{ A}$ indirekt geheizt indirectly heated Anheizzeit Warm-up time = 1,5 min $U_o = 300 \text{ V}$ $U_R = -50 \text{ V}$ $f = 4 \text{ GHz}$ (nicht schwingend) (not excited) $I_o = 20...30 \text{ mA}$ $I_R \leq 3 \mu\text{A}$	<table border="0"> <tr> <td>$n = 3$</td> <td>2</td> </tr> <tr> <td>$f = 3,7...4,3$</td> <td>$3,7...4,3 \text{ GHz}$</td> </tr> <tr> <td>$U_o = 300$</td> <td>300 V</td> </tr> <tr> <td>$I_o = 26$</td> <td>26 mA</td> </tr> <tr> <td>$U_R = -180...-70$</td> <td>$-400...-150 \text{ V}$</td> </tr> <tr> <td>$\Delta f_{1/2}^1) = 60$</td> <td>21 MHz</td> </tr> <tr> <td>$N_{HFopt} = 120$</td> <td>250 mW</td> </tr> </table>	$n = 3$	2	$f = 3,7...4,3$	$3,7...4,3 \text{ GHz}$	$U_o = 300$	300 V	$I_o = 26$	26 mA	$U_R = -180...-70$	$-400...-150 \text{ V}$	$\Delta f_{1/2}^1) = 60$	21 MHz	$N_{HFopt} = 120$	250 mW	Absolute Maxima $U_o = 330 \text{ V}$ $I_o = 35 \text{ mA}$ $U_R = -400...0 \text{ V}$ $U_{fk} = 50 \text{ V}$ $t_{Kolben} = 160 \text{ }^\circ\text{C}$ $t_{Auskopplung} = 75 \text{ }^\circ\text{C}$
$n = 3$	2																
$f = 3,7...4,3$	$3,7...4,3 \text{ GHz}$																
$U_o = 300$	300 V																
$I_o = 26$	26 mA																
$U_R = -180...-70$	$-400...-150 \text{ V}$																
$\Delta f_{1/2}^1) = 60$	21 MHz																
$N_{HFopt} = 120$	250 mW																
		1) $\Delta f_{1/2}$ = elektronische Bandbreite zwischen Punkten halber Leistung half-power electronic-tuning range															
TK 76																	
Reflexklystron mit Luftkühlung ¹⁾	$U_f = 6,3 \text{ V} \pm 5\%$ $I_f \text{ ca. } 1,55 \text{ A}$ indirekt geheizt indirectly heated Anheizzeit Warm-up time = 2 min $U_o = 500 \text{ V}$ $U_R = -100 \text{ V}$ $f = 4 \text{ GHz}$ (nicht schwingend) (not excited) $I_o = 40...52 \text{ mA}$ $I_R \leq 5 \mu\text{A}$	<table border="0"> <tr> <td>$n = 1$</td> <td>2</td> </tr> <tr> <td>$f = 3,5...4$</td> <td>$3,7...4,3 \text{ GHz}$</td> </tr> <tr> <td>$U_o = 500$</td> <td>500 V</td> </tr> <tr> <td>$I_o = 46$</td> <td>46 mA</td> </tr> <tr> <td>$U_R = -900...-500$</td> <td>$-470...-170 \text{ V}$</td> </tr> <tr> <td>$\Delta f_{1/2}^2) = 12$</td> <td>35 MHz</td> </tr> <tr> <td>$N_{HFopt} = 900$</td> <td>550 mW</td> </tr> </table>	$n = 1$	2	$f = 3,5...4$	$3,7...4,3 \text{ GHz}$	$U_o = 500$	500 V	$I_o = 46$	46 mA	$U_R = -900...-500$	$-470...-170 \text{ V}$	$\Delta f_{1/2}^2) = 12$	35 MHz	$N_{HFopt} = 900$	550 mW	Absolute Maxima $U_o = 600 \text{ V}$ $I_o = 70 \text{ mA}$ $U_w = -500...0 \text{ V}$ $U_R = -1000...0 \text{ V}$ $t_{Kolben} = 110 \text{ }^\circ\text{C}$
$n = 1$	2																
$f = 3,5...4$	$3,7...4,3 \text{ GHz}$																
$U_o = 500$	500 V																
$I_o = 46$	46 mA																
$U_R = -900...-500$	$-470...-170 \text{ V}$																
$\Delta f_{1/2}^2) = 12$	35 MHz																
$N_{HFopt} = 900$	550 mW																
Reflexklystron with forced-air cooling ¹⁾		1) Bei Betrieb ohne Hohlleiter ist Luftkühlung erforderlich At operation without cavity conductor air-cooling is necessary															
		2) $\Delta f_{1/2}$ = elektronische Bandbreite zwischen Punkten halber Leistung half-power electronic-tuning range															

Reflexklystrons

Type · Anwendung
Type · Application

Allgemeine Daten
General data

Betriebswerte
Typical operation

Grenzwerte
Maximum ratings

2 K 25

Reflexklystron

$$U_f = 6,3 \text{ V} \pm 5\%$$

$$I_f \text{ ca. } 0,44 \text{ A}$$

$$n = 1$$

$$f = 8,5...9,66 \text{ GHz}$$

$$U_o = 300 \text{ V}$$

$$I_o = 22 \text{ mA}$$

$$U_R = -190...-130 \text{ V}$$

$$\Delta f^{1/2}{}^1) = 40 \text{ MHz}$$

$$N_{HFopt} = 35 \text{ mW}$$

Absolute Maxima

$$U_o = 330 \text{ V}$$

$$I_o = 37 \text{ mA}$$

$$U_R = -400...0 \text{ V}$$

$$U_{fk} = 50 \text{ V}$$

$$t_{Kolben} = 110 \text{ }^\circ\text{C}$$

$$t_{Auskopplung} = 70 \text{ }^\circ\text{C}$$

¹⁾ $\Delta f^{1/2}$ = elektronische Bandbreite zwischen Punkten halber Leistung
half-power electronic-tuning range

723 A/B

Reflexklystron

$$U_f = 6,3 \text{ V} \pm 5\%$$

$$I_f \text{ ca. } 0,44 \text{ A}$$

$$n = 1$$

$$f = 8,7...9,5 \text{ GHz}$$

$$U_o = 300 \text{ V}$$

$$I_o = 25 \text{ mA}$$

$$U_R = -190...-130 \text{ V}$$

$$\Delta f^{1/2}{}^1) = 40 \text{ MHz}$$

$$N_{HFopt} = 30 \text{ mW}$$

Absolute Maxima

$$U_o = 330 \text{ V}$$

$$I_o = 37 \text{ mA}$$

$$U_R = -400...0 \text{ V}$$

$$U_{fk} = 50 \text{ V}$$

$$t_{Kolben} = 110 \text{ }^\circ\text{C}$$

$$t_{Auskopplung} = 70 \text{ }^\circ\text{C}$$

¹⁾ $\Delta f^{1/2}$ = elektronische Bandbreite zwischen Punkten halber Leistung
half-power electronic-tuning range

Wanderfeld-Röhren • Travelling wave tubes

Type · Anwendung Type · Application	Allgemeine Daten General data	Betriebswerte Typical operation	Grenzwerte Maximum ratings
TL 4			
Wanderfeldröhre Travelling wave tube	$U_f = 6,3 \text{ V}$ $I_f \text{ ca. } 1 \text{ A}$ indirekt geheizt indirectly heated Anheizzeit Warm-up time ca. 3 min	HF-Verstärker RF-amplifier $f = 2 \text{ GHz}$ $U_a \text{ ca. } 0,75 \text{ kV}$ $U_{h^1) = 0,76 \text{ kV}$ $U_h = 0,9 \text{ kV}$ $U_c \text{ ca. } 1,1 \text{ kV}$ $I_a \leq 2 \text{ mA}$ $I_h = 1...3 \text{ mA}$ $I_c = 60 \text{ mA}$ $G^1) \text{ ca. } 45 \text{ dB}$ $G \text{ (bei } 12 \text{ W)}$ = 30 dB $N^2) \text{ (bei } I_c = 60 \text{ mA)}$ = 12 W $b > 30 \text{ MHz}$	Absolute Maxima bei $f = 1,65...2,5 \text{ GHz}$ $U_a = 0,85 \text{ kV}$ $U_h = 1,1 \text{ kV}$ $U_c = 1,3 \text{ kV}$ $I_a = 3 \text{ mA}$ $I_h = 4 \text{ mA}$ $I_c = 70 \text{ mA}$ $N_h = 5 \text{ W}$ $N_c = 80 \text{ W}$ $t_{\text{Kühltopf}} = 150 \text{ }^\circ\text{C}$
Luftkühlung 250 l/min (Röhre und Magnet) Forced-air cooling (tube and magnet)			
		1) Für kleine Signale · For small signals 2) Sättigungsleistung · Saturation power	

TL 6			
Wanderfeldröhre Travelling wave tube	$U_f = 6,3 \text{ V}$ $I_f \text{ ca. } 1 \text{ A}$ indirekt geheizt indirectly heated Anheizzeit Warm-up time ca. 2 min	HF-Verstärker RF-amplifier $f = 4 \text{ GHz}$ $U_a \text{ ca. } 0,85 \text{ kV}$ $U_w = 0 \text{ V}$ $U_{h^1) = 1,15 \text{ kV}$ $U_h = 1,25 \text{ kV}$ $U_c = 1,4 \text{ kV}$ $I_a \leq 1 \text{ mA}$ $I_h = 1...2 \text{ mA}$ $I_c = 30 \text{ mA}$ $G^1) \text{ ca. } 38 \text{ dB}$ $G \text{ (bei } 5 \text{ W)}$ ca. 33 dB $N^2) \text{ (bei } I_c = 30 \text{ mA)}$ = 6,5 W $b > 30 \text{ MHz}$	Absolute Maxima bei $f = 3,4...4,5 \text{ GHz}$ $U_a = 1 \text{ kV}$ $U_w = -40...+40 \text{ V}$ $U_h = 1,4 \text{ kV}$ $U_c = 1,6 \text{ kV}$ $I_a = 1 \text{ mA}$ $I_h = 2,5 \text{ mA}$ $I_c = 33 \text{ mA}$ $N_h = 3,5 \text{ W}$ $N_c = 55 \text{ W}$ $t_{\text{Kühltopf}} = 150 \text{ }^\circ\text{C}$
Luftkühlung 150 l/min (Röhre und Magnet) Forced-air cooling (tube and magnet)			
		1) Für kleine Signale · For small signals 2) Sättigungsleistung · Saturation power	

Magnetrons

Type · Anwendung Type · Application	Allgemeine Daten General data	Betriebswerte Typical operation	Grenzwerte Maximum ratings
MG 8			
Luftgekühltes Magnetron Forced-air-cooled magnetron	U_f ca. 4,5 V $I_f^{1)}$ = 2,5 A indirekt geheizt indirectly heated Anheizzeit Warm-up time = 2 min	U_f ca. 3,5 V I_f = 2,1 A f = 2,425 ± 0,025 GHz U_a ca. 1300 V _{eff} I_a für $U_{a\sim}$ = 280 mA für $U_{a=}$ = 320 mA B = 1500 Gauß N ca. 250 W	Absolute Maxima für B = 1500 Gauß U_a = 1500 V _{eff} N_a = 450 W I_k für $U_{a\sim}$ = 300 mA für $U_{a=}$ = 350 mA $R_{a\min}$ = 200 Ω t_{Kolben} = 110 °C
1) Während des Schwingbetriebes muß I_f reduziert werden During oscillating operation I_f must be reduced			
MG 20			
Luftgekühltes Magnetron Forced-air-cooled magnetron	U_f ca. 3,5 V $I_f^{1)}$ = 3 A indirekt geheizt indirectly heated Anheizzeit Warm-up time = 1 min	U_f ca. 2,5 V I_f = 2,6 A f = 5,85 ± 0,075 GHz U_a ca. 825 V _{eff} I_a für $U_{a\sim}$ = 70 mA für $U_{a=}$ = 100 mA B = 2400 Gauß N ca. 40 W	Absolute Maxima für B = 2400 Gauß U_a = 1000 V _{eff} N_a = 50 W I_k für $U_{a\sim}$ = 85 mA für $U_{a=}$ = 120 mA $R_{a\min}$ = 300 Ω t_{Kolben} = 100 °C
1) Während des Schwingbetriebes muß I_f reduziert werden During oscillating operation I_f must be reduced			
MG 2000			
Wassergekühltes Magnetron Water-cooled magnetron	U_f ca. 9 V $I_f^{1)}$ = 5 A indirekt geheizt indirectly heated Anheizzeit Warm-up time = 3 min	U_f = 0...5 V I_f = 0...3 A f = 2,425 ± 0,025 GHz U_a ca. 2300 V _{eff} I_a für $U_{a\sim}$ = 1000 mA für $U_{a=}$ = 1250 mA B = 1200 Gauß N ca. 1800 W	Absolute Maxima für B = 1100 Gauß U_a = 2500 V _{eff} N_a = 2000 W I_k für $U_{a\sim}$ = 1100 mA für $U_{a=}$ = 1500 mA $R_{a\min}$ = 150 Ω t_{Kolben} = 100 °C
1) Während des Schwingbetriebes muß I_f reduziert werden During oscillating operation I_f must be reduced			

Senderöhren · Transmitting tubes

Type · Anwendung
Type · Application

Allgemeine Daten
General data

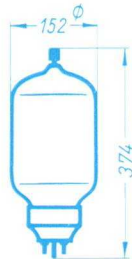
Betriebswerte
Typical operation

Grenzwerte
Maximum ratings

RS 285

Strahlungsgekühlte
1,2 kW-Triode
für Nachrichtentechnik

Radiation-cooled
1.2 kW-triode
for communication
transmitters



$U_f = 11 \text{ V}$
 $I_f \text{ ca. } 13,5 \text{ A}$
 $S \text{ ca. } 12 \text{ mA/V}$
 $D \text{ ca. } 5 \%$

Zubehör · Accessories
Fassung Lg.-Nr. 30 225
Socket stock no. 30 225

Gewicht · Weight
ca. 1600 g

HF-Verstärker
RF-amplifier

class B
 $f = 6$
 $U_a = 2500$
 $U_g = -120$
 $U_{g\sim sp} = 260$
 $I_{ao} \text{ ca. } 35$
 $I_a \text{ ca. } 750$
 $I_g \text{ ca. } 85$
 $N_{stHF} \text{ ca. } 22$
 $N_{a\sim} \text{ ca. } 1200$
 $R_a = 2,25$
 $R_g = -$

Anodenmodulation
(Trägerwerte)
Plate modulation
(Carrier values)
 6 MHz
 2000 V
 -305 V
 690 V
 $- \text{ mA}$
 700 mA
 190 mA
 130 W
 1000 W
 $1,575 \text{ k}\Omega$
 $1 \text{ k}\Omega$

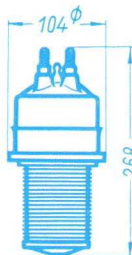
$U_a = 2500 \text{ V}$
 $U_{asp} = 10000 \text{ V}$
 $Q_a = 750 \text{ W}$
 $Q_g = 100 \text{ W}$
 $f = 6 \text{ MHz}$

Kapazitäten
Capacitances
 $c_{gk} \text{ ca. } 25 \text{ pF}$
 $c_{ak} \text{ ca. } 6 \text{ pF}$
 $c_{ga} \text{ ca. } 42 \text{ pF}$

RS 520

Wassergekühlte
20 kW-Triode für
Nachrichtentechnik und
Industriegeneratoren

Water-cooled
20 kW-triode for
communication
transmitters and
industrial generators



$U_f = 5,1 \text{ V}$
 $I_f \text{ ca. } 135 \text{ A}$
 $S \text{ ca. } 25 \text{ mA/V}$
 $D \text{ ca. } 3,2 \%$

Zubehör:
Kühltopf Lg.-Nr. 30 357
Anschlußklemme
Lg.-Nr. 30 302

Accessories:
Cooling jacket
stock no. 30 357
Connection clip
stock no. 30 302

Gewicht · Weight
ca. 2200 g

HF-Verstärker
RF-amplifier

class B class C
 $f \leq 30 \quad 30$
 $U_a = 10 \quad 10$
 $U_g = -320 \quad -600$
 $I_{ao} = 0,4 \quad -$
 $I_a \text{ ca. } 2,6 \quad 2,4$
 $U_{g\sim sp} \text{ ca. } 530 \quad 900$
 $I_g \text{ ca. } 0,4 \quad 0,5$
 $N_{stHF} \text{ ca. } 210 \quad 450$
 $N_{a\sim} = 20 \quad 20$
 $R_a = 2,4 \quad 2,35$

HF-Oszillator
RF-oscillator

 30 MHz
 $10^1) \text{ kV}$
 $- \text{ V}$
 $- \text{ A}$
 $3,8 \text{ A}$
 600 V
 $0,65 \text{ A}$
 $- \text{ W}$
 28 kW
 $1,7 \text{ k}\Omega$

1) 3-Phasen-Graetz-Gleichrichter ohne Filter
3 phase-Graetz-rectifier without filter

$U_a (f \leq 30 \text{ MHz}) = 10 \text{ kV}$
 $U_{asp} (f \leq 30 \text{ MHz}) = 30 \text{ kV}$
 $Q_a = 12 \text{ kW}$
 $Q_g = 350 \text{ W}$
 $f = 60 \text{ MHz}$

Kapazitäten
Capacitances
 $c_{gk} = 60 \text{ pF}$
 $c_{ak} = 3 \text{ pF}$
 $c_{ga} = 25 \text{ pF}$

RS 522

Wassergekühlte
35 kW-Triode für
UKW- und FS-Sender

Water-cooled
35 kW-triode for VHF-
and TV-transmitters



$U_f = 5 \text{ V}$
 $I_f \text{ ca. } 150 \text{ A}$
 $S \text{ ca. } 55 \text{ mA/V}$
 $D \text{ ca. } 1,6 \%$

Zubehör:
Kühltopf Lg.-Nr. 30 370
Heizanschluß
Lg.-Nr. 30 367
Gitterring Lg.-Nr. 30 372

Accessories:
Cooling jacket
stock no. 30 370
Heater clip
stock no. 30 367
Grid clip stock no. 30 372

Gewicht · Weight
ca. 3500 g

HF-Verstärker
RF-amplifier

class B class C
 $f \leq 30 \quad 30$
 $U_a = 12 \quad 12$
 $U_g = -185 \quad -375$
 $R_g = - \quad -$
 $I_{ao} = 0,3 \quad -$
 $I_a \text{ ca. } 3,95 \quad 4$
 $I_g \text{ ca. } 0,6 \quad 0,7$
 $U_{g\sim sp} \text{ ca. } 375 \quad 610$
 $N_{stHF} \text{ ca. } 225 \quad 430$
 $N_{a\sim} = 35 \quad 40$

Anodenmodulation
(Trägerwerte)
Plate modulation
(Carrier values)
 30 MHz
 8 kV
 $-150^1) \text{ V}$
 200Ω
 $- \text{ A}$
 $2,6 \text{ A}$
 1 A
 620 V
 620 W
 18 kW

1) Fest · Fixed

$f < 30 \quad 220 \text{ MHz}$
 $U_a = 12 \quad 4 \text{ kV}$
 $U_{asp} = 32 \quad - \text{ kV}$
 $U_g = -600 \quad -200 \text{ V}$
 $U_{g\sim sp} = 750 \quad 250 \text{ V}$
 $Q_a = 20 \quad 20 \text{ kW}$
 $Q_g = 350 \quad 350 \text{ W}$
 $I_k = 6,5 \quad 6,5 \text{ A}$
 $I_{asp} = 30 \quad 25 \text{ A}$

Kapazitäten
Capacitances
 $c_{gk} \text{ ca. } 80 \text{ pF}$
 $c_{ak} \text{ ca. } 1 \text{ pF}$
 $c_{ga} \text{ ca. } 36 \text{ pF}$

Senderöhren • Transmitting tubes

Type · Anwendung
Type · Application

Allgemeine Daten
General data

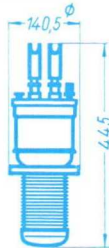
Betriebswerte
Typical operation

Grenzwerte
Maximum ratings

RS 523

Wassergekühlte
40 kW-Triode für
Industriegeratoren
und Nachrichtensender

Water-cooled
40 kW-triode for
industrial generators
and communication
transmitters



$U_f = 6,5 \text{ V}$
 $I_f \text{ ca. } 180 \text{ A}$
 $S \text{ ca. } 30 \text{ mA/V}$
 $D \text{ ca. } 1,8 \text{ ‰}$

Zubehör:
Kühltopf Lg.-Nr. 30 414
Gitterring Lg.-Nr. 30 415

Accessories:
Cooling jacket
stock no. 30 414
Grid clip stock no. 30 415

Gewicht · Weight
ca. 7000 g

	class B		class C	HF-Oszillator RF-oscillator
	class B	class C	class C	
f	≤ 30	30	30	30 MHz
U_a	≤ 10	11	$11,1^1)$	kV
U_g	ca. -165	-500	—	V
I_{ao}	ca. 0,3	—	—	A
I_a	ca. 5	4,75	4,9	A
$U_{g\sim sp}$	ca. 595	970	970	V
I_g	ca. 1	0,83	0,85	A
N_{stHF}	ca. 595	800	—	W
$N_{a\sim}$	$= 36$	40	40	kW
R_g	$=$	$—$	600	Ω
R_a	$=$	$—$	1250	Ω
K	$=$	$—$	$1:10,5$	

$f \leq 30 \text{ MHz}$
 $U_a = 11 \text{ kV}$
 $U_{asp} = 40 \text{ kV}$
 $U_g = -800 \text{ V}$
 $U_{g\sim sp} = 1200 \text{ V}$
 $Q_a = 25 \text{ kW}$
 $Q_g = 900 \text{ W}$
 $I_k = 12 \text{ A}$
 $I_{asp} = 30 \text{ A}$
 $f = 30 \text{ MHz}$

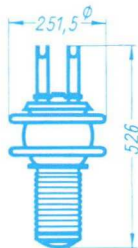
Kapazitäten
Capacitances
 $C_{ak} = 0,7 \text{ pF}$
 $C_{gk} = 91 \text{ pF}$
 $C_{ga} = 44 \text{ pF}$

¹⁾ 3-Phasen-Graetz-Gleichrichter ohne Filter
3 phase-Graetz-rectifier without filter

RS 526

Wassergekühlte
120 kW-Triode für
Nachrichtentechnik und
Industriegeratoren

Water-cooled
120 kW-triode
for communication
transmitters and
industrial generators



$U_f = 11 \text{ V}$
 $I_f \text{ ca. } 155 \text{ A}$
 $S \text{ ca. } 60 \text{ mA/V}$
 $D \text{ ca. } 1,1 \text{ ‰}$

Zubehör:
Kühltopf Lg.-Nr. 30 359
Gitterring Lg.-Nr. 30 373

Accessories:
Cooling jacket
stock no. 30 359
Grid clip stock no. 30 373

Gewicht · Weight
ca. 12000 g

	class B		class C	HF-Oszillator RF-oscillator
	class B	class C	class C	
f	≤ 30	30	30	30 MHz
U_a	≤ 12	14	$11,4^1)$	kV
U_g	ca. -115	-350	—	V
I_{ao}	$= 1$	—	—	A
I_a	ca. 12	11,3	8,7	A
$U_{g\sim sp}$	ca. 690	910	780	V
I_g	ca. 2,4	2,4	1,2	A
N_{stHF}	ca. 1,65	2,2	—	kW
$N_{a\sim}$	$= 100$	120	75	kW
R_g	$=$	$—$	235	Ω
R_a	$=$	$—$	880	Ω
K	$=$	$—$	$1:15$	

$f < 10 \text{ 30 MHz}$
 $U_a = 14 \text{ 12 kV}$
 $U_{asp} = 44 \text{ 40 kV}$
 $U_g = -750 \text{ -750 V}$
 $U_{g\sim sp} = 1250 \text{ 1250 V}$
 $Q_a = 50 \text{ 50 kW}$
 $Q_g = 1,5 \text{ 1,5 kW}$
 $I_k = 15 \text{ 15 A}$
 $I_{asp} = 50 \text{ 50 A}$
 $f = 30 \text{ MHz}$

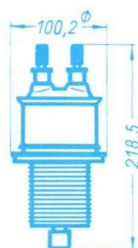
Kapazitäten
Capacitances
 $C_{gk} \text{ ca. } 130 \text{ pF}$
 $C_{ak} \text{ ca. } 1 \text{ pF}$
 $C_{ga} \text{ ca. } 75 \text{ pF}$

¹⁾ 3-Phasen-Graetz-Gleichrichter ohne Filter
3 phase-Graetz-rectifier without filter

RS 533

Wassergekühlte
10 kW-Triode für
Industriegeratoren
und Nachrichtensender

Water-cooled
10 kW-triode for
industrial generators
and communication
transmitters



$U_f = 5 \text{ V}$
 $I_f \text{ ca. } 85 \text{ A}$
 $S \text{ ca. } 33 \text{ mA/V}$
 $D \text{ ca. } 3 \text{ ‰}$

Zubehör:
Kühltopf Lg.-Nr. 30 371
Heizanschluß Lg.-Nr. 30 302
Gitterring Lg.-Nr. 30 375

Accessories:
Cooling jacket
stock no. 30 371
Heater clip
stock no. 30 302
Grid clip stock no. 30 375

Gewicht · Weight
ca. 1700 g

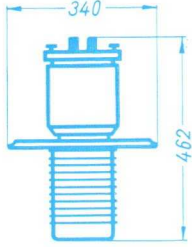
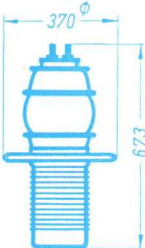
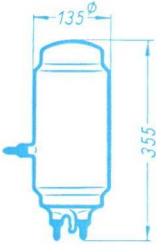
	class B		class C	HF-Oszillator RF-oscillator
	class B	class C	class C	
f	≤ 30	30	30	30 MHz
U_a	≤ 10	10	$10^1)$	kV
U_g	ca. -325	-750	—	V
R_g	$=$	$—$	1700	Ω
I_{ao}	$= 0,2$	—	—	A
I_a	ca. 1,6	1,5	1,95	A
I_g	ca. 0,15	0,4	0,45	A
$U_{g\sim sp}$	ca. 440	970	—	V
N_{stHF}	ca. 66	390	—	W
$N_{a\sim}$	$= 11$	12	15	kW
R_a	$=$	$—$	2900	Ω
K	$=$	$—$	$1:9$	

$U_a = 10 \text{ kV}$
 $U_{asp} = 28 \text{ kV}$
 $U_g = -900 \text{ V}$
 $U_{g\sim sp} = 1100 \text{ V}$
 $Q_a = 7 \text{ kW}$
 $Q_g = 200 \text{ W}$
 $I_k = 4 \text{ A}$
 $I_{asp} = 12 \text{ A}$
 $f = 30 \text{ MHz}$

Kapazitäten
Capacitances
 $C_e = 55 \text{ pF}$
 $C_a = 1,2 \text{ pF}$
 $C_{ga} = 27 \text{ pF}$

¹⁾ 3-Phasen-Graetz-Gleichrichter ohne Filter
3 phase-Graetz-rectifier without filter

Senderöhren • Transmitting tubes

Type • Anwendung Type • Application	Allgemeine Daten General data	Betriebswerte Typical operation	Grenzwerte Maximum ratings																																		
RS 565 Wassergekühlte 150 kW-Triode für MW/KW-Sender und Industriegeneratoren Water-cooled 150 kW-triode for MF/SW-transmitters and industrial generators	$U_f = 18 \text{ V}$ $I_f \text{ ca. } 170 \text{ A}$ $S \text{ ca. } 100 \text{ mA/V}$ $D \text{ ca. } 2 \text{ ‰}$ Zubehör: Kühltopf Lg.-Nr. 30 435 Heizanschluß Lg.-Nr. 30 436 Accessories: Cooling jacket stock no. 30 435 Heater clip stock no. 30 436 Gewicht • Weight ca. 17 000 g	HF-Verstärker RF-amplifier <table border="1"> <thead> <tr> <th></th> <th>class B</th> <th>class C</th> </tr> </thead> <tbody> <tr> <td>$f \leq$</td> <td>10</td> <td>10</td> </tr> <tr> <td>$U_a =$</td> <td>15</td> <td>14</td> </tr> <tr> <td>$U_g =$</td> <td>-285</td> <td>-650</td> </tr> <tr> <td>$U_{g\sim sp} =$</td> <td>605</td> <td>1150</td> </tr> <tr> <td>$I_{ao} =$</td> <td>1</td> <td>—</td> </tr> <tr> <td>$I_a \text{ ca.}$</td> <td>13,7</td> <td>17,6</td> </tr> <tr> <td>$I_g \text{ ca.}$</td> <td>2,2</td> <td>3,8</td> </tr> <tr> <td>$N_{stHF} \text{ ca.}$</td> <td>1,3</td> <td>4</td> </tr> <tr> <td>$N_{a\sim} \text{ ca.}$</td> <td>150</td> <td>200</td> </tr> <tr> <td>$R_a =$</td> <td>700</td> <td>442</td> </tr> </tbody> </table>		class B	class C	$f \leq$	10	10	$U_a =$	15	14	$U_g =$	-285	-650	$U_{g\sim sp} =$	605	1150	$I_{ao} =$	1	—	$I_a \text{ ca.}$	13,7	17,6	$I_g \text{ ca.}$	2,2	3,8	$N_{stHF} \text{ ca.}$	1,3	4	$N_{a\sim} \text{ ca.}$	150	200	$R_a =$	700	442	Anodenmodulation (Trägerwerte) Plate modulation (Carrier values) 30 MHz 11 kV $-200^1) \text{ V}$ 940 V $— \text{ A}$ $11,4 \text{ A}$ $4,7 \text{ A}$ $4,3 \text{ kW}$ 100 kW $600 \text{ } \Omega$	$f \leq 10 \text{ } 30 \text{ MHz}$ $U_a = 15^2) 12^2) \text{ kV}$ $U_g = -1000 \text{ V}$ $I_k = 30 \text{ A}$ $I_{ksp} = 100 \text{ A}$ $Q_a = 60 \text{ kW}$ $Q_g = 2 \text{ kW}$ $f = 30 \text{ MHz}$ 2) Für Anodenmodulation 11 kV For plate modulation 11 kV Kapazitäten Capacitances $c_{gk} = 170 \text{ pF}$ $c_{ak} = 4 \text{ pF}$ $c_{ga} = 70 \text{ pF}$
				class B	class C																																
$f \leq$	10	10																																			
$U_a =$	15	14																																			
$U_g =$	-285	-650																																			
$U_{g\sim sp} =$	605	1150																																			
$I_{ao} =$	1	—																																			
$I_a \text{ ca.}$	13,7	17,6																																			
$I_g \text{ ca.}$	2,2	3,8																																			
$N_{stHF} \text{ ca.}$	1,3	4																																			
$N_{a\sim} \text{ ca.}$	150	200																																			
$R_a =$	700	442																																			
																																					
RS 567 Wassergekühlte 250 kW-Triode für MW/KW-Sender und Industriegeneratoren Water-cooled 250 kW-triode for MF/SW-transmitters and industrial generators	$U_f = 18 \text{ V}$ $I_f \text{ ca. } 280 \text{ A}$ $S \text{ ca. } 130 \text{ mA/V}$ $D \text{ ca. } 1,9 \text{ ‰}$ Zubehör: auf Anfrage! Accessories: on request! Gewicht • Weight ca. 32 500 g	HF-Verstärker RF-amplifier <table border="1"> <thead> <tr> <th></th> <th>class B</th> <th>class C</th> </tr> </thead> <tbody> <tr> <td>$f \leq$</td> <td>10</td> <td>10</td> </tr> <tr> <td>$U_a =$</td> <td>15</td> <td>15</td> </tr> <tr> <td>$U_g =$</td> <td>-275</td> <td>-520</td> </tr> <tr> <td>$I_a \text{ ca.}$</td> <td>24,8</td> <td>29,3</td> </tr> <tr> <td>$U_{g\sim sp} \text{ ca.}$</td> <td>695</td> <td>1090</td> </tr> <tr> <td>$I_g \text{ ca.}$</td> <td>4,7</td> <td>6,8</td> </tr> <tr> <td>$N_{stHF} \text{ ca.}$</td> <td>3</td> <td>7</td> </tr> <tr> <td>$N_{a\sim} \text{ ca.}$</td> <td>270</td> <td>360</td> </tr> <tr> <td>$R_a =$</td> <td>378</td> <td>284</td> </tr> </tbody> </table>		class B	class C	$f \leq$	10	10	$U_a =$	15	15	$U_g =$	-275	-520	$I_a \text{ ca.}$	24,8	29,3	$U_{g\sim sp} \text{ ca.}$	695	1090	$I_g \text{ ca.}$	4,7	6,8	$N_{stHF} \text{ ca.}$	3	7	$N_{a\sim} \text{ ca.}$	270	360	$R_a =$	378	284	Anodenmodulation (Trägerwerte) Plate modulation (Carrier values) 30 MHz 11 kV $-160^1) \text{ V}$ $19,6 \text{ A}$ 1000 V 9 A $8,1 \text{ kW}$ 165 kW $360 \text{ } \Omega$	$f \leq 10 \text{ } 30 \text{ MHz}$ $U_a = 15^2) 12^2) \text{ kV}$ $U_g = -1200 \text{ V}$ $I_k = 40 \text{ A}$ $I_{ksp} = 150 \text{ A}$ $Q_a = 120 \text{ kW}$ $Q_g = 4 \text{ kW}$ $f = 30 \text{ MHz}$ 2) Für Anodenmodulation 11 kV For plate modulation 11 kV Kapazitäten Capacitances $c_{gk} = 240 \text{ pF}$ $c_{ak} = 7,5 \text{ pF}$ $c_{ga} = 110 \text{ pF}$			
				class B	class C																																
$f \leq$	10	10																																			
$U_a =$	15	15																																			
$U_g =$	-275	-520																																			
$I_a \text{ ca.}$	24,8	29,3																																			
$U_{g\sim sp} \text{ ca.}$	695	1090																																			
$I_g \text{ ca.}$	4,7	6,8																																			
$N_{stHF} \text{ ca.}$	3	7																																			
$N_{a\sim} \text{ ca.}$	270	360																																			
$R_a =$	378	284																																			
																																					
RS 607 Strahlungsgekühlte 2,5 kW-Triode für Industriegeneratoren und Nachrichtentechnik Radiation-cooled 2.5 kW-triode for industrial generators and communication transmitters	$U_f = 16,5 \text{ V}$ $I_f \text{ ca. } 15 \text{ A}$ $S \text{ ca. } 5 \text{ mA/V}$ $D \text{ ca. } 2,1 \text{ ‰}$ Zubehör: Röhrenhalterung Lg.-Nr. 30 377 Anschlußklemme Lg.-Nr. 30 302 Accessories: Tube-support stock no. 30 377 Connection clip stock no. 30 302 Gewicht • Weight ca. 920 g	HF-Verstärker RF-amplifier <table border="1"> <thead> <tr> <th></th> <th>class B</th> </tr> </thead> <tbody> <tr> <td>$f \leq$</td> <td>30</td> </tr> <tr> <td>$U_a =$</td> <td>10</td> </tr> <tr> <td>$U_g =$</td> <td>-160</td> </tr> <tr> <td>$U_{g\sim sp} \text{ ca.}$</td> <td>450</td> </tr> <tr> <td>$I_{ao} =$</td> <td>70</td> </tr> <tr> <td>$I_a \text{ ca.}$</td> <td>370</td> </tr> <tr> <td>$I_g \text{ ca.}$</td> <td>45</td> </tr> <tr> <td>$N_{stHF} \text{ ca.}$</td> <td>20</td> </tr> <tr> <td>$N_{a\sim} =$</td> <td>2,5</td> </tr> <tr> <td>$R_a =$</td> <td>19</td> </tr> <tr> <td>$R_g =$</td> <td>—</td> </tr> <tr> <td>$K =$</td> <td>—</td> </tr> </tbody> </table>		class B	$f \leq$	30	$U_a =$	10	$U_g =$	-160	$U_{g\sim sp} \text{ ca.}$	450	$I_{ao} =$	70	$I_a \text{ ca.}$	370	$I_g \text{ ca.}$	45	$N_{stHF} \text{ ca.}$	20	$N_{a\sim} =$	2,5	$R_a =$	19	$R_g =$	—	$K =$	—	HF-Oszillator RF-oscillator 30 MHz $5^1) \text{ kV}$ $— \text{ V}$ 880 V $— \text{ mA}$ 800 mA 175 mA $— \text{ W}$ 3 kW $3 \text{ k}\Omega$ $2,3 \text{ k}\Omega$ $1: 4,8$	$U_a (f \leq 30 \text{ MHz}) = 10 \text{ kV}$ $U_{asp} (f \leq 30 \text{ MHz}) = 25 \text{ kV}$ $Q_a = 1,25 \text{ kW}$ $Q_g = 300 \text{ W}$ $f = 60 \text{ MHz}$ Reduzierte Anodenspannung für $f > 30 \text{ MHz}$ auf Anfrage Reduced plate voltage for $f > 30 \text{ Mc/s}$ on request Kapazitäten Capacitances $c_{gk} = 14,5 \text{ pF}$ $c_{ak} = 1,5 \text{ pF}$ $c_{ga} = 10 \text{ pF}$							
				class B																																	
$f \leq$	30																																				
$U_a =$	10																																				
$U_g =$	-160																																				
$U_{g\sim sp} \text{ ca.}$	450																																				
$I_{ao} =$	70																																				
$I_a \text{ ca.}$	370																																				
$I_g \text{ ca.}$	45																																				
$N_{stHF} \text{ ca.}$	20																																				
$N_{a\sim} =$	2,5																																				
$R_a =$	19																																				
$R_g =$	—																																				
$K =$	—																																				
																																					

Senderöhren • Transmitting tubes

Type · Anwendung
Type · Application

Allgemeine Daten
General data

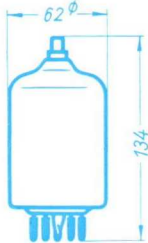
Betriebswerte
Typical operation

Grenzwerte
Maximum ratings

RS 614

Strahlungsgekühlte
350 W-Triode für
Industriegeratoren,
elektromed. Geräte,
Nachrichtentechnik
und UKW-Sender

Radiation-cooled
350 W-triode for
industrial generators,
electromedical equip-
ments, communication
transmitters and
VHF-transmitters



$U_f = 6,3 \text{ V}$
 $I_f \text{ ca. } 5,8 \text{ A}$
 $S \text{ ca. } 3,2 \text{ mA/V}$
 $D \text{ ca. } 4 \text{ ‰}$

Zubehör:
Fassung Lg.-Nr. 30 226
Anodenanschluß
Lg.-Nr. 30 339

Accessories:
Socket stock no. 30 226
Anode clip
stock no. 30 339

Gewicht · Weight
ca. 110 g

	class B		class C	HF-Oszillator
	class B	class C		RF-oscillator
$f \leq$	75	75	41 MHz	
$U_a =$	2500	2500	2000 ¹⁾ V	
$U_g =$	-86	-200	— V	
$I_{ao} =$	30	—	— mA	
$I_a =$	178	205	170 mA	
$I_g =$	42	40	34 mA	
$U_{g\sim sp} =$	206	390	— V	
$N_{stHF} =$	8,6	15	— W	
$N_{a\sim} =$	350	390	290 W	
$R_g =$	—	—	3,75 k Ω	

¹⁾ 1-Phasen-Doppelweg-Gleichrichter ohne Filter
1 phase-full-wave-rectifier without filter

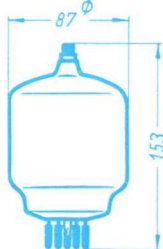
$U_a (f < 100 \text{ MHz}) = 2,5 \text{ kV}$
 $U_a (f < 200 \text{ MHz}) = 2 \text{ kV}$
 $U_{asp} (f < 100 \text{ MHz}) = 8 \text{ kV}$
 $Q_a = 150 \text{ W}$
 $Q_g = 35 \text{ W}$
 $I_k = 300 \text{ mA}$
 $I_{ksp} = 1,8 \text{ A}$
 $f = 200 \text{ MHz}$

Kapazitäten
Capacitances
 $c_{gk} \text{ ca. } 5,8 \text{ pF}$
 $c_{ak} \text{ ca. } 0,13 \text{ pF}$
 $c_{ga} \text{ ca. } 5,3 \text{ pF}$

RS 630

Strahlungsgekühlte
750 W-Triode für
Industriegeratoren,
elektromed. Geräte
und Nachrichtentechnik

Radiation-cooled
750 W-triode for
industrial generators,
electromedical equip-
ments and communi-
cation transmitters



$U_f = 5 \text{ V}$
 $I_f \text{ ca. } 15 \text{ A}$
 $S \text{ ca. } 5,5 \text{ mA/V}$
 $D \text{ ca. } 4 \text{ ‰}$

Zubehör:
Fassung Lg.-Nr. 30 226
Anodenanschluß
Lg.-Nr. 30 339

Accessories:
Socket stock no. 30 226
Anode clip
stock no. 30 339

Gewicht · Weight
ca. 170 g

	class C		HF-Oszillator
	class C		RF-oscillator
$f \leq$	100	41 MHz	
$U_a =$	3000	2700 ¹⁾ V	
$U_g =$	-250	— V	
$I_a =$	363	320 mA	
$I_g =$	69	65 mA	
$U_{g\sim sp} =$	430	— V	
$N_{stHF} =$	27	— W	
$N_{a\sim} =$	840	810 W	
$R_g =$	—	3,5 k Ω	

¹⁾ 1-Phasen-Doppelweg-Gleichrichter ohne Filter
1 phase-full-wave-rectifier without filter

$U_a (f \leq 30 \text{ MHz}) = 4000 \text{ V}$
 $Q_a = 350 \text{ W}$
 $Q_g = 40 \text{ W}$
 $I_k = 480 \text{ mA}$
 $I_{ksp} = 3 \text{ A}$
 $R_g = 100 \text{ k}\Omega$
 $f = 150 \text{ MHz}$

Reduzierte Anodenspannung
für $f > 30 \text{ MHz}$ auf Anfrage
Reduced plate voltage
for $f > 30 \text{ Mc/s}$ on request

Kapazitäten
Capacitances
 $c_{gk} \text{ ca. } 8,3 \text{ pF}$
 $c_{ak} \text{ ca. } 0,2 \text{ pF}$
 $c_{ga} \text{ ca. } 6,4 \text{ pF}$

RS 631

Strahlungsgekühlte
1,25 kW-Triode für
Nachrichtentechnik und
Industriegeratoren

Radiation-cooled
1.25 kW-triode
for communication
transmitters and
industrial generators



$U_f = 10 \text{ V}$
 $I_f \text{ ca. } 11 \text{ A}$
 $S \text{ ca. } 5,3 \text{ mA/V}$
 $D \text{ ca. } 3,3 \text{ ‰}$

Zubehör:
Fassung Lg.-Nr. 30 229
Anodenanschluß
Lg.-Nr. 30 393

Accessories:
Socket stock no. 30 229
Anode clip
stock no. 30 393

Gewicht · Weight
ca. 380 g

	class B		class C	HF-Oszillator
	class B	class C		RF-oscillator
$f \leq$	100	100	100 MHz	
$U_a =$	4000	4000	3600 ¹⁾ V	
$U_g =$	-135	-350	— V	
$I_{ao} =$	70	—	— mA	
$I_a =$	368	535	450 mA	
$I_g =$	93	115	100 mA	
$U_{g\sim sp} =$	283	580	— V	
$N_{stHF} =$	26	67	— W	
$N_{a\sim} =$	1145	1690	1500 W	
$R_g =$	—	—	3 k Ω	

¹⁾ 1-Phasen-Doppelweg-Gleichrichter ohne Filter
1 phase-full-wave-rectifier without filter

$U_a (f < 100 \text{ MHz}) = 4 \text{ kV}$
 $U_{asp} (f < 100 \text{ MHz}) = 12 \text{ kV}$
 $Q_a = 500 \text{ W}$
 $Q_g = 50 \text{ W}$
 $f = 100 \text{ MHz}$

Kapazitäten
Capacitances
 $c_{gk} \text{ ca. } 10,5 \text{ pF}$
 $c_{ak} \text{ ca. } 0,3 \text{ pF}$
 $c_{ga} \text{ ca. } 8 \text{ pF}$

Senderöhren · Transmitting tubes

Type · Anwendung
Type · Application

Allgemeine Daten
General data

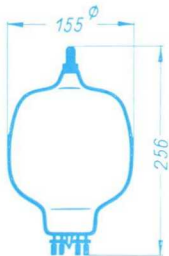
Betriebswerte
Typical operation

Grenzwerte
Maximum ratings

RS 635

Strahlungsgekühlte
3 kW-Triode für
Industriegeratoren

Radiation-cooled
3 kW-triode for
industrial generators



$U_f = 6,3 \text{ V}$
 $I_f \text{ ca. } 32 \text{ A}$
 $S \text{ ca. } 5 \text{ mA/V}$
 $D \text{ ca. } 4,5 \text{ ‰}$

Zubehör:
Fassung Lg.-Nr. 30233
Anodenanschluß
Lg.-Nr. 30393

Accessories:
Socket stock no. 30233
Anode clip
stock no. 30393

Gewicht · Weight
ca. 650 g

HF-Oszillator
RF-oscillator

$f \leq 50 \text{ MHz}$
 $U_a = 6000^1) \text{ V}$
 $U_{T\text{reff}} = 5100 \text{ V}$
 $I_a = 660 \text{ mA}$
 $I_g = 150 \text{ mA}$
 $R_g = 2500 \text{ } \Omega$
 $K = 1:8$
 $N_{a\sim} = 3 \text{ kW}$

¹⁾ 3-Phasen-Halbweg-Gleichrichter
3 phase-half-wave-rectifier

$U_a = 7000 \text{ V}$
 $Q_a = 1000 \text{ W}$
 $Q_g = 170 \text{ W}$
 $f = 50 \text{ MHz}$

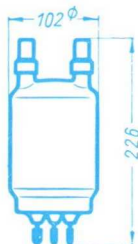
Kapazitäten
Capacitances

$c_{gk} = 10,5 \text{ pF}$
 $c_{ak} = 0,25 \text{ pF}$
 $c_{ga} = 6,2 \text{ pF}$

RS 684

Strahlungsgekühlte
800 W-Pentode für
Nachrichtentechnik

Radiation-cooled
800 W-pentode
for communication
transmitters



$U_f = 12,6 \text{ V}$
 $I_f \text{ ca. } 8,1 \text{ A}$
 $S \text{ ca. } 5,3 \text{ mA/V}$
 $D_2 \text{ ca. } 30 \text{ ‰}$

Zubehör:
Fassung Lg.-Nr. 30211
Anschluß für g_3 und a
Lg.-Nr. 30366

Accessories:
Socket stock no. 30211
Clip for g_3 and a
stock no. 30366

Gewicht · Weight
ca. 450 g

HF-Verstärker
RF-amplifier

	class C	B	C
$f \leq$	55	20	6 MHz
$U_a =$	1500	2500	3000 V
$U_{g2} =$	600	600	600 V
$U_{g1} =$	-200	-140	-250 V
$U_{g1\sim sp} \text{ ca.}$	250	190	350 V
$I_{ao} =$	—	130	— mA
$I_a \text{ ca.}$	530	455	500 mA
$I_{g2} \text{ ca.}$	125	135	100 mA
$I_{g1} \text{ ca.}$	10	7	7 mA
$N_{stHF} \text{ ca.}$	10	1,4	2,5 W
$N_{a\sim} \text{ ca.}$	450	800	1100 W
$R_a =$	1,5	3,4	3,3 k Ω

$U_a (f < 6 \text{ MHz}) = 3 \text{ kV}$
 $U_a (f < 20 \text{ MHz}) = 2,5 \text{ kV}$
 $U_a (f < 55 \text{ MHz}) = 1,5 \text{ kV}$
 $U_{asp} (f < 6 \text{ MHz}) = 8 \text{ kV}$
 $Q_a = 450 \text{ W}$
 $U_{g2} = 600 \text{ V}$
 $Q_{g2} = 100 \text{ W}$
 $Q_{g1} = 10 \text{ W}$
 $f = 55 \text{ MHz}$

Kapazitäten
Capacitances

$c_{gk} = 25 \text{ pF}$
 $c_{ak} = 23 \text{ pF}$
 $c_{ga} < 0,1 \text{ pF}$

RS 685

Strahlungsgekühlte
300 W-Tetrode für
Nachrichtentechnik
und UKW-Sender

Radiation-cooled
300 W-tetrode
for communication
transmitters and
VHF-transmitters



$U_f = 5 \text{ V}$
 $I_f \text{ ca. } 6,5 \text{ A}$
 $S \text{ ca. } 2,4 \text{ mA/V}$
 $D_2 \text{ ca. } 16 \text{ ‰}$

Zubehör:
Fassung Lg.-Nr. 30226
Anodenanschluß
Lg.-Nr. 30339

Accessories:
Socket stock no. 30226
Anode clip
stock no. 30339

Gewicht · Weight
ca. 100 g

HF-Verstärker
RF-amplifier

	class B	class C
$f \leq$	120	120 MHz
$U_a =$	2500	3000 V
$U_{g2} =$	350	350 V
$U_{g1} =$	-51	-150 V
$I_{ao} =$	50	— mA
$I_a \text{ ca.}$	151	167 mA
$I_{g2} \text{ ca.}$	18	30 mA
$I_{g1} \text{ ca.}$	8,5	6,5 mA
$U_{g1\sim sp} \text{ ca.}$	120	300 V
$N_{stHF} \text{ ca.}$	1	2 W
$N_{a\sim} =$	275	375 W

$U_a (f < 120 \text{ MHz}) = 3 \text{ kV}$
 $U_a (f = 200 \text{ MHz}) = 2 \text{ kV}$
 $U_{asp} (f < 120 \text{ MHz}) = 10 \text{ kV}$
 $U_{g2} = 600 \text{ V}$
 $Q_a = 125 \text{ W}$
 $Q_{g2} = 20 \text{ W}$
 $Q_{g1} = 5 \text{ W}$
 $f = 200 \text{ MHz}$

Kapazitäten
Capacitances

$c_e \text{ ca. } 10,8 \text{ pF}$
 $c_a \text{ ca. } 3,1 \text{ pF}$
 $c_{ga} \text{ ca. } 0,05 \text{ pF}$

Senderöhren · Transmitting tubes

Type · Anwendung
Type · Application

Allgemeine Daten
General data

Betriebswerte
Typical operation

Grenzwerte
Maximum ratings

RS 686

Strahlungsgekühlte
750 W-Tetrode für
Nachrichtentechnik
und UKW-Sender

Radiation-cooled
750 W-tetrode
for communication
transmitters and
VHF-transmitters

$U_f = 5 \text{ V}$
 $I_f \text{ ca. } 14,5 \text{ A}$
 $S \text{ ca. } 4,3 \text{ mA/V}$
 $D_2 \text{ ca. } 19,6 \text{ ‰}$

HF-Verstärker
RF-amplifier

	class B	class C
$f \leq$	75	75
$U_a =$	3	4
$U_{g2} =$	300	500
$U_{g1} \text{ ca.}$	-55	-225
$I_{a0} =$	50	—
$I_a \text{ ca.}$	275	312
$I_{g2} \text{ ca.}$	35	45
$I_{g1} \text{ ca.}$	15	9
$U_{g\sim sp} \text{ ca.}$	140	303
$N_{stHF} \text{ ca.}$	2,1	2,7
$N_{a\sim} =$	620	1000

Anodenmodulation
(Trägerwerte)

Plate modulation
(Carrier values)

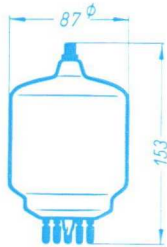
f	75 MHz
$U_a =$	3 kV
$U_{g2} =$	400 V
$U_{g1} =$	-310 V
$I_{a0} =$	— mA
$I_a =$	225 mA
$I_{g2} =$	30 mA
$I_{g1} =$	9 mA
$U_{g\sim sp} =$	400 V
$N_{stHF} =$	3,6 W
$N_{a\sim} =$	510 W

$f <$	75	120 MHz
$U_a =$	4	2,5 kV
$U_{asp} =$	12,8	8 kV
$U_{g2} =$	600	375 V
$U_{g1} =$	-500	-350 V
$Q_a =$	400	400 W
$U_{g1\sim sp} =$	500	350 V
$Q_{g2} =$	35	35 W
$Q_{g1} =$	10	10 W
$I_k =$	0,48	0,48 A
$I_{asp} =$	2	2 A
$f =$	120	MHz

Zubehör:
Fassung Lg.-Nr. 30 226
Anodenanschluß
Lg.-Nr. 30 339

Accessories:
Socket stock no. 30 226
Anode clip
stock no. 30 339

Gewicht · Weight
ca. 185 g



Kapazitäten
Capacitances

$c_e \text{ ca. } 12,7 \text{ pF}$
 $c_a \text{ ca. } 4,5 \text{ pF}$
 $c_{g1a} \text{ ca. } 0,12 \text{ pF}$

RS 687

Strahlungsgekühlte
1750 W-Tetrode für
Nachrichtentechnik

Radiation-cooled
1,750 W-tetrode
for communication
transmitters

$U_f = 10 \text{ V}$
 $I_f \text{ ca. } 11 \text{ A}$
 $S \text{ ca. } 6 \text{ mA/V}$
 $D_2 \text{ ca. } 11,5 \text{ ‰}$

HF-Verstärker
RF-amplifier

	class B	class C
$f \leq$	60	60
$U_a =$	5	5
$U_{g2} =$	600	600
$U_{g1} =$	-62,5	-200
$I_{a0} =$	50	—
$I_a \text{ ca.}$	290	440
$I_{g2} \text{ ca.}$	43	80
$I_{g1} \text{ ca.}$	13	35
$U_{g\sim sp} \text{ ca.}$	130	350
$N_{stHF} \text{ ca.}$	1,7	12,3
$N_{a\sim} =$	1110	1760

Anoden-Schirmg.-
Modulation

Plate-screen-grid-
modulation
(Carrier values)

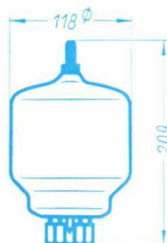
f	60 MHz
$U_a =$	4 kV
$U_{g2} =$	600 V
$U_{g1} =$	-240 V
$I_{a0} =$	— mA
$I_a =$	380 mA
$I_{g2} =$	80 mA
$I_{g1} =$	20 mA
$U_{g\sim sp} =$	415 V
$N_{stHF} =$	8,3 W
$N_{a\sim} =$	1200 W

$U_a (f \leq 75 \text{ MHz}) =$	5 kV
$U_a (f \leq 110 \text{ MHz}) =$	4,5 kV
$U_{asp} =$	16 kV
$U_{g2} =$	700 V
$U_{g1} =$	-500 V
$U_{g1\sim sp} =$	600 V
$Q_a =$	500 W
$Q_{g2} =$	65 W
$Q_{g1} =$	25 W
$I_k =$	0,7 A
$I_{asp} =$	3,8 A
$f =$	110 MHz

Zubehör:
Fassung Lg.-Nr. 30 229
Anodenanschluß
Lg.-Nr. 30 393

Accessories:
Socket stock no. 30 229
Anode clip
stock no. 30 393

Gewicht · Weight
ca. 375 g



Kapazitäten
Capacitances

$c_e \text{ ca. } 24 \text{ pF}$
 $c_a \text{ ca. } 8,3 \text{ pF}$
 $c_{g1a} \text{ ca. } 0,25 \text{ pF}$

Senderöhren • Transmitting tubes

Type • Anwendung
Type • Application

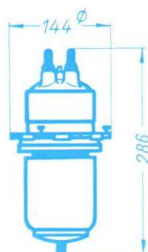
Allgemeine Daten
General data

Betriebswerte
Typical operation

Grenzwerte
Maximum ratings

RS 720

Luftgekühlte
12 kW-Triode für
Nachrichtentechnik
Forced-air-cooled
12 kW-triode
for communication
transmitters



$U_f = 5,1 \text{ V}$
 $I_f \text{ ca. } 130 \text{ A}$
 $S \text{ ca. } 25 \text{ mA/V}$
 $D \text{ ca. } 3,2 \text{ ‰}$
Zubehör:
Doppelwandkühltopf
Lg.-Nr. 30355
oder Saugkühltopf
Lg.-Nr. 30356
Anschlußklemme
Lg.-Nr. 30302
Accessories:
Double-wall cooling
jacket stock no. 30355
or suction-cooling
jacket stock no. 30356
Connection clip
stock no. 30302

HF-Verstärker
RF-amplifier
class B class C
 $f \leq 30 \text{ MHz}$
 $U_a = 7,5 \text{ kV}$
 $U_g = -220 \text{ V}$
 $I_{ao} = 0,4 \text{ A}$
 $I_a \text{ ca. } 2 \text{ A}$
 $I_g \text{ ca. } 0,3 \text{ A}$
 $U_{g\sim sp} \text{ ca. } 400 \text{ V}$
 $N_{stHF} = 120$
 $N_{a\sim} = 11$
 $R_a = 2,4 \text{ k}\Omega$

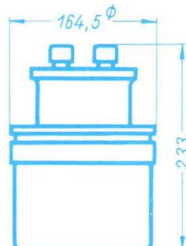
$U_a (f \leq 30 \text{ MHz}) = 10 \text{ kV}$
 $U_{asp} (f \leq 30 \text{ MHz}) = 30 \text{ kV}$
 $Q_a = 6 \text{ kW}$
 $Q_g = 350 \text{ W}$
 $f = 60 \text{ MHz}$

Gewicht • Weight
ca. 3400 g

Kapazitäten
Capacitances
 $c_{gk} \text{ ca. } 60 \text{ pF}$
 $c_{ak} \text{ ca. } 3 \text{ pF}$
 $c_{ga} \text{ ca. } 25 \text{ pF}$

RS 722

Luftgekühlte
35 kW-Triode
für UKW- und
Fernsehsender
Forced-air-cooled
35 kW-triode
for VHF- and
TV-transmitters



$U_f = 5 \text{ V}$
 $I_f \text{ ca. } 150 \text{ A}$
 $S \text{ ca. } 55 \text{ mA/V}$
 $D \text{ ca. } 1,6 \text{ ‰}$
Zubehör:
Heizanschluß
Lg.-Nr. 30367
Gitterring Lg.-Nr. 30372
Accessories:
Heater clip
stock no. 30367
Grid clip stock no. 30372

HF-Verstärker
RF-amplifier
Fernsehbetrieb¹⁾
Klasse B, Gitterbasis
Bandbreite = 8 MHz
Television amplifier
class B, grid-grounded
bandwidth = 8 Mc/s
class B class C
 $f < 30 \text{ MHz}$
 $U_a = 12 \text{ kV}$
 $U_g = -185 \text{ V}$
 $I_{ao} = 0,3 \text{ A}$
 $I_a \text{ ca. } 3,95 \text{ A}$
 $I_g \text{ ca. } 0,6 \text{ A}$
 $U_{g\sim sp} \text{ ca. } 375 \text{ V}$
 $N_{stHF} \text{ ca. } 225$
 $N_{a\sim} = 35$

$f < 30 \text{ MHz}$
 $U_a = 12 \text{ kV}$
 $U_{asp} = 32 \text{ kV}$
 $U_g = -600 \text{ V}$
 $U_{g\sim sp} = 750 \text{ V}$
 $Q_a = 15 \text{ kW}$
 $Q_g = 350 \text{ W}$
 $I_k = 6,5 \text{ A}$
 $I_{asp} = 30 \text{ A}$
 $f = 220 \text{ MHz}$

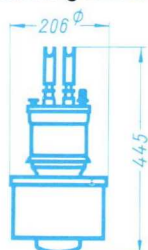
Gewicht • Weight
ca. 8000 g

¹⁾ Synchronisationspegel
²⁾ einschl. Kreisverluste und durchgereicher Leistung

Kapazitäten
Capacitances
 $c_{gk} \text{ ca. } 80 \text{ pF}$
 $c_{ak} \text{ ca. } 1 \text{ pF}$
 $c_{ga} \text{ ca. } 36 \text{ pF}$

RS 723

Luftgekühlte
40 kW-Triode für
MW/KW-Sender und
Industriegeneratoren
Forced-air-cooled
40 kW-triode for
MF/SW-transmitters
and
industrial generators



$U_f = 6,5 \text{ V}$
 $I_f \text{ ca. } 180 \text{ A}$
 $S \text{ ca. } 30 \text{ mA/V}$
 $D \text{ ca. } 1,8 \text{ ‰}$
Zubehör:
Gitterring Lg.-Nr. 30415
Accessories:
Grid clip stock no. 30415

HF-Verstärker
RF-amplifier
HF-Oszillator
RF-oscillator
class B class C
 $f = 30 \text{ MHz}$
 $U_a = 10 \text{ kV}$
 $U_g \text{ ca. } -165 \text{ V}$
 $I_{ao} \text{ ca. } 0,3 \text{ A}$
 $I_a \text{ ca. } 5 \text{ A}$
 $I_g \text{ ca. } 1 \text{ A}$
 $U_{g\sim sp} \text{ ca. } 595 \text{ V}$
 $N_{stHF} \text{ ca. } 595$
 $N_{a\sim} = 36$
 $R_g = 600 \text{ }\Omega$
 $R_a = 1250 \text{ }\Omega$
 $K = 1:10,5$

$f \leq 30 \text{ MHz}$
 $U_a = 11 \text{ kV}$
 $U_{asp} = 40 \text{ kV}$
 $U_g = -800 \text{ V}$
 $U_{g\sim sp} = 1200 \text{ V}$
 $Q_a = 20 \text{ kW}$
 $Q_g = 900 \text{ W}$
 $I_k = 12 \text{ A}$
 $I_{asp} = 30 \text{ A}$
 $f = 30 \text{ MHz}$

Gewicht • Weight
ca. 14000 g

¹⁾ 3-Phasen-Graetz-Gleichrichter ohne Filter
3 phase-Graetz-rectifier without filter

Kapazitäten
Capacitances
 $c_{ak} = 0,7 \text{ pF}$
 $c_{gk} = 91 \text{ pF}$
 $c_{ga} = 44 \text{ pF}$

Senderöhren · Transmitting tubes

Type · Anwendung
Type · Application

Allgemeine Daten
General data

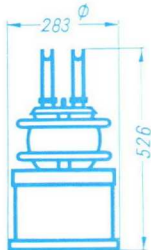
Betriebswerte
Typical operation

Grenzwerte
Maximum ratings

RS 726

Luftgekühlte
80 kW-Triode für
Nachrichtentechnik

Forced-air-cooled
80 kW-triode
for communication
transmitters



$U_f = 11 \text{ V}$
 $I_f \text{ ca. } 155 \text{ A}$
 $S \text{ ca. } 60 \text{ mA/V}$
 $D \text{ ca. } 1,1 \text{ ‰}$

Zubehör:
Gitterring Lg.-Nr. 30 373

Accessories:
Grid clip stock no. 30 373

Gewicht · Weight
ca. 40 000 g

HF-Verstärker
RF-amplifier

	class B		class C
	30	30	30
$f \leq$	30	30	10 MHz
$U_a =$	12	12	11 kV
$U_g \text{ ca.}$	-115	-300	-150 ¹⁾ V
$R_g =$	—	—	250 Ω
$I_{a0} =$	1	—	— A
$I_a \text{ ca.}$	9,3	11	6 A
$U_{g\sim sp} \text{ ca.}$	620	820	1200 V
$I_g =$	2,5	2,4	2,3 A
$N_{stHF} \text{ ca.}$	1,55	2	2,8 kW
$N_{a\sim} =$	80	100	55 kW

Anodenmodulation
(Trägerwerte)
Plate modulation
(Carrier values)

¹⁾ Fest · Fixed

$f < 10$ 30 MHz
 $U_a = 14$ 12 kV
 $U_{asp} = 44$ 40 kV
 $U_g = -750$ -750 V
 $U_{g\sim sp} = 1250$ 1250 V
 $Q_a = 35$ 35 kW
 $Q_g = 1,5$ 1,5 kW
 $I_k = 15$ 15 A
 $I_{asp} = 50$ 50 A
 $f = 30$ MHz

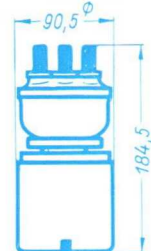
Kapazitäten
Capacitances

$c_{ak} \text{ ca. } 1 \text{ pF}$
 $c_{ga} \text{ ca. } 75 \text{ pF}$
 $c_{gk} \text{ ca. } 130 \text{ pF}$

RS 732

Luftgekühlte
5 kW-Triode
für UKW- und
Fernsehsender

Forced-air-cooled
5 kW-triode
for VHF- and
TV-transmitters



$U_f = 10 \text{ V}$
 $I_f \text{ ca. } 46 \text{ A}$
 $S \text{ ca. } 20 \text{ mA/V}$
 $D \text{ ca. } 3,2 \text{ ‰}$

Zubehör:
Anschlußklemme
Lg.-Nr. 30 302

Gitterring Lg.-Nr. 30 374

Accessories:
Connection clip
stock no. 30 302

Grid clip stock no. 30 374

Gewicht · Weight
ca. 2500 g

HF-Verstärker · RF-amplifier · Class C

Gitterbasisschaltung
Grounded-grid

	30		100
	30	100	MHz
$f \leq$	30	100	MHz
$U_a =$	6	4	kV
$U_g =$	-320	-200	V
$U_{g\sim sp} =$	460	500	V
$I_a =$	1,25	1,2	A
$I_g =$	120	200	mA
$N_{stHF} =$	55	600	W
$N_{a\sim} =$	6	3,5	kW
$R_a =$	2,8	1,8	k Ω

Kapazitäten · Capacitances

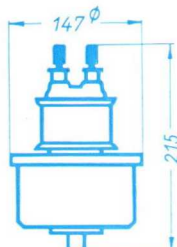
$c_{gk} \text{ ca. } 24 \text{ pF}$
 $c_{ak} \text{ ca. } 0,6 \text{ pF}$
 $c_{ga} \text{ ca. } 13 \text{ pF}$

$U_a (f \leq 30 \text{ MHz}) = 6 \text{ kV}$
 $U_a (f \leq 100 \text{ MHz}) = 5 \text{ kV}$
 $U_a (f \leq 200 \text{ MHz}) = 4 \text{ kV}$
 $Q_a = 2,5 \text{ kW}$
 $U_g = -450 \text{ V}$
 $U_{g\sim sp} (f \leq 100 \text{ MHz}) = 750 \text{ V}$
 $U_{g\sim sp} (f \leq 200 \text{ MHz}) = 400 \text{ V}$
 $Q_g = 100 \text{ W}$
 $I_a = 1,5 \text{ A}$
 $I_{asp} = 6 \text{ A}$
 $I_g = 300 \text{ mA}$
 $f = 300 \text{ MHz}$

RS 733

Luftgekühlte
10 kW-Triode für
Industriegeratoren
und Nachrichtentechnik

Forced-air-cooled
10 kW-triode for
industrial generators
and communication
transmitters



$U_f = 5 \text{ V}$
 $I_f \text{ ca. } 85 \text{ A}$
 $S \text{ ca. } 33 \text{ mA/V}$
 $D \text{ ca. } 3 \text{ ‰}$

Zubehör:
Heizanschluß
Lg.-Nr. 30 302

Gitterring Lg.-Nr. 30 375

Luftführung
Lg.-Nr. 30 394

Accessories:
Heater clip
stock no. 30 302

Grid clip stock no. 30 375

Air leading
stock no. 30 394

Gewicht · Weight
ca. 5200 g

HF-Verstärker
RF-amplifier

	class B		class C
	30	30	30
$f \leq$	30	30	30 MHz
$U_a =$	10	10	10 ¹⁾ kV
$U_g =$	-325	-750	— V
$R_g =$	—	—	1700 Ω
$I_{a0} =$	0,2	—	— A
$I_a \text{ ca.}$	1,6	1,5	1,95 A
$I_g \text{ ca.}$	0,15	0,4	0,45 A
$U_{g\sim sp} \text{ ca.}$	440	970	— V
$N_{stHF} =$	66	390	— W
$N_{a\sim} =$	11	12	15 kW
$R_a =$	—	—	2900 Ω
$K =$	—	—	1:9

HF-Oszillator
RF-oscillator

¹⁾ 3-Phasen-Graetz-Gleichrichter ohne Filter
3 phase-Graetz-rectifier without filter

$f < 30$ MHz
 $U_a = 10$ kV
 $U_{asp} = 28$ kV
 $U_g = -900$ V
 $U_{g\sim sp} = 1100$ V
 $Q_a = 7$ kW
 $Q_g = 200$ W
 $I_k = 4$ A
 $I_{asp} = 12$ A
 $f = 30$ MHz

Kapazitäten
Capacitances

$c_e = 55 \text{ pF}$
 $c_a = 1,2 \text{ pF}$
 $c_{ga} = 27 \text{ pF}$

Senderöhren · Transmitting tubes

Type · Anwendung
Type · Application

Allgemeine Daten
General data

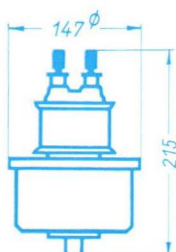
Betriebswerte
Typical operation

Grenzwerte
Maximum ratings

RS 770

Luftgekühlte Triode
für Modulatoren von
10...20 kW-Sendern

Forced-air-cooled
triode for modulators
of 10...20 kW-
transmitters



$U_f = 5 \text{ V}$
 $I_f \text{ ca. } 85 \text{ A}$
 $S \text{ ca. } 24 \text{ mA/V}$
 $D \text{ ca. } 6 \%$

Zubehör:
Gitterring Lg.-Nr. 30375
Heizanschluß
Lg.-Nr. 30302

Accessories:
Grid clip stock no. 30375
Heater clip
stock no. 30302

Gewicht · Weight
ca. 5200 g

Betriebswerte auf Anfrage
Typical operation on request

$U_a = 10 \text{ kV}$
 $U_{asp} = 20 \text{ kV}$
 $U_g = -900 \text{ V}$
 $U_{g\sim sp} = 1000 \text{ V}$
 $Q_a = 7 \text{ kW}$
 $Q_g = 100 \text{ W}$
 $I_k = 4 \text{ A}$
 $I_{asp} = 12 \text{ A}$

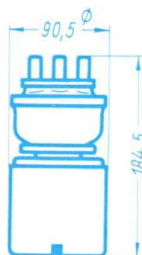
Kapazitäten
Capacitances

$c_{gk} \text{ ca. } 55 \text{ pF}$
 $c_{ak} \text{ ca. } 2 \text{ pF}$
 $c_{ga} \text{ ca. } 27 \text{ pF}$

RS 782

Luftgekühlte
5 kW-Tetrode
für UKW-Sender

Forced-air-cooled
5 kW-tetrode
for VHF-transmitters



$U_f = 10 \text{ V}$
 $I_f \text{ ca. } 46 \text{ A}$
 $S \text{ ca. } 15 \text{ mA/V}$
 $D_2 \text{ ca. } 15 \%$

Zubehör:
Anschlußklemme
Lg.-Nr. 30302
Gitterring Lg.-Nr. 30374

Accessories:
Connection clip
stock no. 30302
Grid clip stock no. 30374

Gewicht · Weight
ca. 2500 g

HF-Verstärker, C-Betrieb
RF-amplifier, class C

$f \leq 100 \text{ MHz}$
 $U_a = 4 \text{ kV}$
 $U_{g2} = 500 \text{ V}$
 $U_{g1} = -180 \text{ V}$
 $U_{g\sim sp} \text{ ca. } 360 \text{ V}$
 $I_a \text{ ca. } 1,2 \text{ A}$
 $I_{g2} \text{ ca. } 150 \text{ mA}$
 $I_{g1} \text{ ca. } 115 \text{ mA}$
 $N_{stHF} \text{ ca. } 40 \text{ W}$
 $N_{a\sim} = 3 \text{ kW}$
 $R_a = 1,8 \text{ k}\Omega$

Kapazitäten · Capacitances

$c_e \text{ ca. } 57 \text{ pF}$
 $c_a \text{ ca. } 10,5 \text{ pF}$
 $c_{g1a} \text{ ca. } 0,75 \text{ pF}$

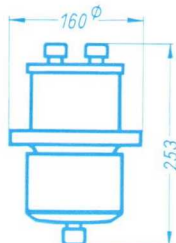
$U_a (f \leq 30 \text{ MHz}) = 6 \text{ kV}$

$U_a (f \leq 100 \text{ MHz}) = 5 \text{ kV}$
 $Q_a = 2,5 \text{ kW}$
 $Q_{g2} = 600 \text{ V}$
 $Q_{g2} = 200 \text{ W}$
 $U_{g1} = -300 \text{ V}$
 $Q_{g1} = 80 \text{ W}$
 $U_{g1\sim sp} = 550 \text{ V}$
 $I_a = 1,4 \text{ A}$
 $I_{asp} = 5 \text{ A}$
 $I_{g2} = 250 \text{ mA}$
 $I_{g1} = 200 \text{ mA}$
 $I_k = 1,8 \text{ A}$
 $f = 100 \text{ MHz}$

RS 822

Siedegekühlte
35 kW-Triode
für UKW- und
Fernsehsender

Vapor-cooled
35 kW-triode for VHF-
and TV-transmitters



$U_f = 5 \text{ V}$
 $I_f \text{ ca. } 150 \text{ A}$
 $S \text{ ca. } 55 \text{ mA/V}$
 $D \text{ ca. } 1,6 \%$

Zubehör:
Heizanschluß
Lg.-Nr. 30367
Gitterring Lg.-Nr. 30372

Accessories:
Heater clip
stock no. 30367
Grid clip stock no. 30372

Gewicht · Weight
ca. 8000 g

HF-Verstärker
RF-amplifier

	class B	class C
$f \leq$	30	30
$U_a =$	12	12
$U_g =$	-185	-375
$R_g =$	—	—
$I_{a0} =$	0,3	—
$I_a \text{ ca.}$	3,95	4
$I_g \text{ ca.}$	0,6	0,7
$U_{g\sim sp} \text{ ca.}$	375	610
$N_{stHF} \text{ ca.}$	225	430
$N_{a\sim} =$	35	40

1) Fest · Fixed

Anodenmodulation
(Trägerwerte)
Plate modulation
(Carrier values)

$f < 30 \text{ MHz}$
 $U_a = 8 \text{ kV}$
 $U_g = -150^1 \text{ V}$
 $R_g = 200 \Omega$
 $I_a = \text{— A}$
 $I_a = 2,6 \text{ A}$
 $I_a = 1 \text{ A}$
 $U_{g\sim sp} = 620 \text{ V}$
 $N_{stHF} = 620 \text{ W}$
 $N_{a\sim} = 18 \text{ kW}$

$f < 30 \text{ MHz}$
 $U_a = 12 \text{ kV}$
 $U_{asp} = 32 \text{ kV}$
 $U_g = -600 \text{ V}$
 $U_{g\sim sp} = 750 \text{ V}$
 $Q_a = 30 \text{ kW}$
 $Q_g = 350 \text{ W}$
 $I_k = 6,5 \text{ A}$
 $I_{asp} = 30 \text{ A}$
 $f = 220 \text{ MHz}$

Kapazitäten
Capacitances

$c_{gk} \text{ ca. } 80 \text{ pF}$
 $c_{ak} \text{ ca. } 1 \text{ pF}$
 $c_{ga} \text{ ca. } 36 \text{ pF}$

Senderöhren · Transmitting tubes

Type · Anwendung
Type · Application

Allgemeine Daten
General data

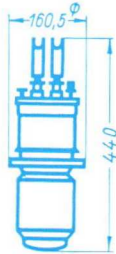
Betriebswerte
Typical operation

Grenzwerte
Maximum ratings

RS 823

Verdampfungsgekühlte
40 kW-Triode für
MW/KW-Sender und
Industriegeneratoren

Vapor-cooled
40 kW-triode for
MF/SW-transmitters
and
industrial generators



$U_f = 6,5 \text{ V}$
 $I_f \text{ ca. } 180 \text{ A}$
 $S \text{ ca. } 30 \text{ mA/V}$
 $D \text{ ca. } 1,8 \text{ ‰}$

Zubehör:
Gitterring Lg.-Nr. 30415

Accessories:
Grid clip stock no. 30415

Gewicht · Weight
ca. 11000 g

	class B		class C	HF-Oszillator RF-oscillator
	class B	class C	class C	
$f \leq$	30	30	30	30 MHz
$U_a =$	10	11	11 ¹⁾	kV
$U_g =$	-165	-500	—	V
$I_{ao} =$	0,3	—	—	A
$I_a \text{ ca.}$	5	4,75	4,9	A
$I_g \text{ ca.}$	1	0,83	0,85	A
$U_{g\sim sp} \text{ ca.}$	595	970	970	V
$R_g =$	—	—	600	Ω
$N_{stHF} \text{ ca.}$	595	800	—	W
$N_{a\sim} =$	36	40	40	kW
$R_a =$	—	—	1250	Ω
$K =$	—	—	1:10,5	

¹⁾ 3-Phasen-Graetz-Gleichrichter ohne Filter
3 phase-Graetz-rectifier without filter

$f \leq 30 \text{ MHz}$
 $U_a = 11 \text{ kV}$
 $U_{asp} = 40 \text{ kV}$
 $U_g = -800 \text{ V}$
 $U_{g\sim sp} = 1200 \text{ V}$
 $Q_a = 35 \text{ kW}$
 $Q_g = 900 \text{ W}$
 $I_k = 12 \text{ A}$
 $I_{asp} = 30 \text{ A}$
 $f = 30 \text{ MHz}$

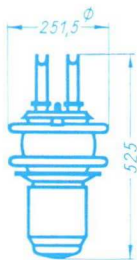
Kapazitäten
Capacitances

$C_{ak} = 0,7 \text{ pF}$
 $C_{gk} = 91 \text{ pF}$
 $C_{ga} = 44 \text{ pF}$

RS 826

Siedegekühlte
120 kW-Triode für
MW- und KW-Sender

Vapor-cooled
120 kW-triode for MF-
and SW-transmitters



$U_f = 11 \text{ V}$
 $I_f \text{ ca. } 155 \text{ A}$
 $S \text{ ca. } 60 \text{ mA/V}$
 $D \text{ ca. } 1,1 \text{ ‰}$

Zubehör:
Gitterring Lg.-Nr. 30373

Accessories:
Grid clip stock no. 30373

Gewicht · Weight
ca. 20000 g

	class B		class C	HF-Oszillator RF-oscillator
	class B	class C	class C	
$f \leq$	30	10	30	30 MHz
$U_a =$	12	14	11,4 ¹⁾	kV
$U_g =$	-115	-350	—	V
$R_g =$	—	—	235	Ω
$I_{ao} =$	1	—	—	A
$I_a \text{ ca.}$	12	11,3	8,7	A
$U_{g\sim sp} \text{ ca.}$	690	910	—	V
$I_g \text{ ca.}$	2,4	2,4	1,2	A
$N_{stHF} \text{ ca.}$	1,65	2,2	—	kW
$N_{a\sim} =$	100	120	75	kW
$R_a =$	—	—	880	Ω
$K =$	—	—	1:15	

¹⁾ 3-Phasen-Graetz-Gleichrichter ohne Filter
3 phase-Graetz-rectifier without filter

$f < 10 \text{ 30 MHz}$
 $U_a = 14 \text{ 12 kV}$
 $U_{asp} = 44 \text{ 40 kV}$
 $U_g = -750 \text{ -750 V}$
 $U_{g\sim sp} = 1250 \text{ 1250 V}$
 $Q_a = 60 \text{ 60 kW}$
 $Q_g = 1,5 \text{ 1,5 kW}$
 $I_k = 15 \text{ 15 A}$
 $I_{asp} = 50 \text{ 50 A}$
 $f = 30 \text{ MHz}$

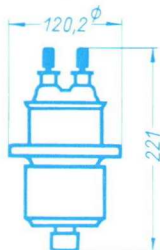
Kapazitäten
Capacitances

$C_{gk} \text{ ca. } 130 \text{ pF}$
 $C_{ak} \text{ ca. } 1 \text{ pF}$
 $C_{ga} \text{ ca. } 75 \text{ pF}$

RS 833

Siedegekühlte
10 kW-Triode für
MW/KW-Sender und
Industriegeneratoren

Vapor-cooled
10 kW-triode for
MF/SW-transmitters
and
industrial generators



$U_f = 5 \text{ V}$
 $I_f \text{ ca. } 85 \text{ A}$
 $S \text{ ca. } 33 \text{ mA/V}$
 $D \text{ ca. } 3 \text{ ‰}$

Zubehör:
Gitterring Lg.-Nr. 30375
Heizanschluß
Lg.-Nr. 30302

Accessories:
Grid clip stock no. 30375
Heater clip
stock no. 30302

Gewicht · Weight
ca. 3500 g

	class B		class C	Anodenmodulation (Trägerwerte) Plate modulation (Carrier values)
	class B	class C	class C	
$f \leq$	30	30	30	30 MHz
$U_a =$	10	10	6,5	kV
$U_g =$	-325	-750	-250 ¹⁾	V
$R_g =$	—	—	500	Ω
$I_{ao} =$	0,2	—	—	A
$I_a \text{ ca.}$	1,6	1,5	1,1	A
$U_{g\sim sp} \text{ ca.}$	440	970	600	V
$I_g \text{ ca.}$	0,15	0,4	0,35	A
$N_{stHF} \text{ ca.}$	66	390	210	W
$N_{a\sim} =$	11	12	6	kW

¹⁾ Fest · Fixed

$f < 30 \text{ MHz}$
 $U_a = 10 \text{ kV}$
 $U_{asp} = 28 \text{ kV}$
 $U_g = -900 \text{ V}$
 $U_{g\sim sp} = 1100 \text{ V}$
 $Q_a = 7 \text{ kW}$
 $Q_g = 200 \text{ W}$
 $I_k = 4 \text{ A}$
 $I_{asp} = 12 \text{ A}$
 $f = 30 \text{ MHz}$

Kapazitäten
Capacitances

$C_e \text{ ca. } 55 \text{ pF}$
 $C_a \text{ ca. } 1,2 \text{ pF}$
 $C_{ga} \text{ ca. } 27 \text{ pF}$

Senderöhren · Transmitting tubes

Type · Anwendung
Type · Application

Allgemeine Daten
General data

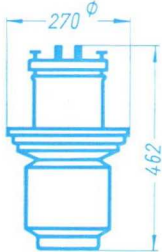
Betriebswerte
Typical operation

Grenzwerte
Maximum ratings

RS 865

Verdampfungsgekühlte
150 kW-Triode für
MW/KW-Sender und
Industriegeratoren

Vapor-cooled
150 kW-triode for
MF/SW-transmitters
and
industrial generators



$U_f = 18 \text{ V}$
 $I_f \text{ ca. } 170 \text{ A}$
 $S \text{ ca. } 100 \text{ mA/V}$
 $D \text{ ca. } 2 \%$

Zubehör:
Kühltopf Lg.-Nr. 30 448
Heizanschluß
Lg.-Nr. 30 436

Accessories:
Cooling jacket
stock no. 30 448
Heater clip
stock no. 30 436

Gewicht · Weight
ca. 39 000 g

HF-Verstärker
RF-amplifier

	class B	class C
$f \leq$	10	10
$U_a =$	15	14
$U_g =$	-285	-650
$U_{g\sim sp} =$	605	1150
$I_{ao} =$	1	—
$I_a \text{ ca.}$	13,7	17,6
$I_g \text{ ca.}$	2,2	3,8
$N_{stHF} \text{ ca.}$	1,3	4
$N_{a\sim} \text{ ca.}$	150	200
$R_a =$	700	442

1) Fest · Fixed

Anodenmodulation
(Trägerwerte)
Plate modulation
(Carrier values)

$f \leq$	10	30
$U_a =$	15 ²⁾	12 ²⁾
$U_g =$	-1000	V
$I_k =$	30	A
$I_{ksp} =$	100	A
$Q_a =$	80	kW
$Q_g =$	2	kW
$f =$	30	MHz

$f \leq 10 \text{ 30 MHz}$
 $U_a = 15^2) 12^2) \text{ kV}$
 $U_g = -1000 \text{ V}$
 $I_k = 30 \text{ A}$
 $I_{ksp} = 100 \text{ A}$
 $Q_a = 80 \text{ kW}$
 $Q_g = 2 \text{ kW}$
 $f = 30 \text{ MHz}$

2) Für Anodenmodulation 11 kV
For plate modulation 11 kV

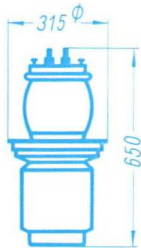
Kapazitäten
Capacitances

$c_{gk} = 170 \text{ pF}$
 $c_{ak} = 4 \text{ pF}$
 $c_{ga} = 70 \text{ pF}$

RS 867

Verdampfungsgekühlte
350 kW-Triode für
MW/KW-Sender und
Industriegeratoren

Vapor-cooled
350 kW-triode for
MF/SW-transmitters
and
industrial generators



$U_f = 18 \text{ V}$
 $I_f \text{ ca. } 280 \text{ A}$
 $S \text{ ca. } 130 \text{ mA/V}$
 $D \text{ ca. } 1,9 \%$

Zubehör:
auf Anfrage!

Accessories:
on request!

Gewicht · Weight
ca. 50 000 g

HF-Verstärker
RF-amplifier

	class B	class C
$f \leq$	10	10
$U_a =$	15	15
$U_g =$	-275	-520
$I_{ao} \text{ ca.}$	24,8	29,3
$U_{g\sim sp} \text{ ca.}$	695	1090
$I_g \text{ ca.}$	4,7	6,8
$N_{stHF} \text{ ca.}$	3	7
$N_{a\sim} \text{ ca.}$	270	360
$R_a =$	378	284

1) Fest · Fixed

Anodenmodulation
(Trägerwerte)
Plate modulation
(Carrier values)

$f \leq$	10	30
$U_a =$	15 ²⁾	12 ²⁾
$U_g =$	-1200	V
$I_k =$	40	A
$I_{ksp} =$	150	A
$Q_a =$	150	kW
$Q_g =$	4	kW
$f =$	30	MHz

$f \leq 10 \text{ 30 MHz}$
 $U_a = 15^2) 12^2) \text{ kV}$
 $U_g = -1200 \text{ V}$
 $I_k = 40 \text{ A}$
 $I_{ksp} = 150 \text{ A}$
 $Q_a = 150 \text{ kW}$
 $Q_g = 4 \text{ kW}$
 $f = 30 \text{ MHz}$

2) Für Anodenmodulation 11 kV
For plate modulation 11 kV

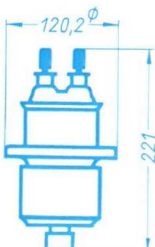
Kapazitäten
Capacitances

$c_{gk} = 240 \text{ pF}$
 $c_{ak} = 7,5 \text{ pF}$
 $c_{ga} = 110 \text{ pF}$

RS 870

Siedegekühlte Triode
für Modulatoren von
10...20 kW-Sendern

Vapor-cooled triode
for modulators of
10...20 kW-transmitters



$U_f = 5 \text{ V}$
 $I_f \text{ ca. } 85 \text{ A}$
 $S \text{ ca. } 24 \text{ mA/V}$
 $D \text{ ca. } 6 \%$

Zubehör:
Gitterring Lg.-Nr. 30 375
Heizanschluß
Lg.-Nr. 30 302

Accessories:
Grid clip stock no. 30 375
Heater clip
stock no. 30 302

Gewicht · Weight
ca. 3500 g

NF-Modulator-B-Betrieb
2 Röhren in Gegentakt

AF-modulator, class B
2 tubes push-pull

$U_a =$	6	kV
$U_g =$	-380	V
$I_{ao} =$	2 × 0,2	A
$I_{a \text{ ausgest.}} \text{ ca.}$	2 × 2,2	A
$I_{g \text{ ausgest.}} \text{ ca.}$	2 × 0,1	A
$U_{g\sim sp} \text{ ca.}$	2 × 480	V
$R_{aa} \text{ ca.}$	2640	Ω
$N_{a\sim} =$	16	kW

$U_a = 10 \text{ kV}$
 $U_{asp} = 20 \text{ kV}$
 $U_g = -900 \text{ V}$
 $U_{g\sim sp} = 1000 \text{ V}$
 $Q_a = 7 \text{ kW}$
 $Q_g = 100 \text{ W}$
 $I_k = 4 \text{ A}$
 $I_{asp} = 12 \text{ A}$

Kapazitäten
Capacitances

$c_{gk} \text{ ca. } 55 \text{ pF}$
 $c_{ak} \text{ ca. } 2 \text{ pF}$
 $c_{ga} \text{ ca. } 27 \text{ pF}$

Senderöhren • Transmitting tubes

Type • Anwendung
Type • Application

Allgemeine Daten
General data

Betriebswerte
Typical operation

Grenzwerte
Maximum ratings

RS 873

Siedegekühlte Triode
für Modulatoren von
50...100 kW-Sendern

Vapor-cooled triode
for modulators
of 50...100 kW-
transmitters



$U_f = 6,5 \text{ V}$
 $I_f \text{ ca. } 180 \text{ A}$
 $S \text{ ca. } 25 \text{ mA/V}$
 $D \text{ ca. } 8 \text{ ‰}$

Zubehör:
Gitterring Lg.-Nr. 30 415

Accessories:
Grid clip stock no. 30 415

Gewicht • Weight
ca. 11 000 g

NF-Modulator-B-Betrieb
2 Röhren in Gegentakt

AF-modulator, class B
2 tubes push-pull

$U_a = 10 \text{ kV}$
 $U_g = -740 \text{ V}$
 $I_{ao} = 2 \times 1 \text{ A}$
 $I_{a \text{ ausgest.}} \text{ ca. } 2 \times 6,8 \text{ A}$
 $I_{g \text{ ausgest.}} \text{ ca. } 2 \times 0,22 \text{ A}$
 $U_{g \sim sp} \text{ ca. } 2 \times 1150 \text{ V}$
 $R_{aa} \text{ ca. } 1500 \text{ } \Omega$
 $N_{a \sim} = 75 \text{ kW}$

$U_a = 12 \text{ kV}$
 $U_{asp} = 24 \text{ kV}$
 $U_g = -1500 \text{ V}$
 $U_{g \sim sp} = 1500 \text{ V}$
 $Q_a = 35 \text{ kW}$
 $Q_g = 350 \text{ W}$
 $I_k = 12 \text{ A}$
 $I_{asp} = 30 \text{ A}$

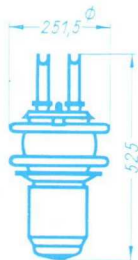
Kapazitäten
Capacitances

$c_{ak} \text{ ca. } 2,3 \text{ pF}$
 $c_{gk} \text{ ca. } 93 \text{ pF}$
 $c_{ga} \text{ ca. } 44 \text{ pF}$

RS 876

Siedegekühlte Triode
für Modulatoren von
200...250 kW-Sendern

Vapor-cooled triode
for modulators
of 200...250 kW-
transmitters



$U_f = 11 \text{ V}$
 $I_f \text{ ca. } 155 \text{ A}$
 $S \text{ ca. } 40 \text{ mA/V}$
 $D \text{ ca. } 7 \text{ ‰}$

Zubehör:
Gitterring Lg.-Nr. 30 373

Accessories:
Grid clip stock no. 30 373

Gewicht • Weight
ca. 24 000 g

NF-Modulator-B-Betrieb
2 Röhren in Gegentakt

AF-modulator, class B
2 tubes push-pull

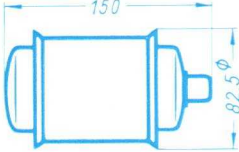
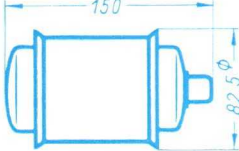
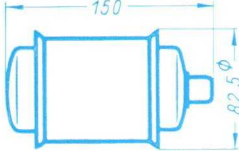
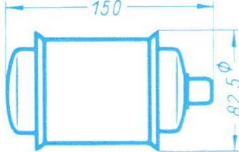
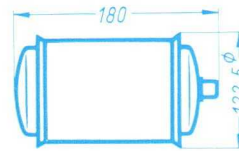
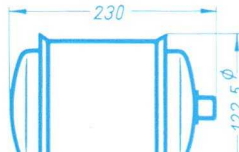
$U_a = 11,5 \text{ kV}$
 $U_g = -720 \text{ V}$
 $I_{ao} = 2 \times 1 \text{ A}$
 $I_{a \text{ ausgest.}} \text{ ca. } 2 \times 14,5 \text{ A}$
 $I_{g \text{ ausgest.}} \text{ ca. } 2 \times 0,6 \text{ A}$
 $U_{g \sim sp} \text{ ca. } 2 \times 1120 \text{ V}$
 $R_{aa} \text{ ca. } 820 \text{ } \Omega$
 $N_{a \sim} = 200 \text{ kW}$

$f < 3 \text{ MHz}$
 $U_a = 12 \text{ kV}$
 $U_{asp} = 25 \text{ kV}$
 $U_g = -1500 \text{ V}$
 $U_{g \sim sp} = 1800 \text{ V}$
 $Q_a = 60 \text{ kW}$
 $Q_g = 0,5 \text{ kW}$
 $I_k = 15 \text{ A}$
 $I_{asp} = 50 \text{ A}$

Kapazitäten
Capacitances

$c_{gk} \text{ ca. } 130 \text{ pF}$
 $c_{ak} \text{ ca. } 1 \text{ pF}$
 $c_{ga} \text{ ca. } 75 \text{ pF}$

Vakuum-Kondensatoren • Vacuum capacitors

Type	Kapazität Capacitance	Grenzwerte Maximum ratings	Zubehör Accessories	Lager-Nr. Stock no.
RK 25 	25 pF ± 5%	Spitzenspannung Peak voltage 24 kV Gleichspannungsanteil DC-component 12 kV HF-Strom, Effektivwert } f ≤ 30 MHz 40 A RF-current, RMS-value } f = 100 MHz 20 A	Anschlußkappe Connection cap 30 361 Zwischenkappe Intermediate cap 30 362 Gewicht · Weight ca. 600 g	
RK 50 	50 pF ± 5%	Spitzenspannung Peak voltage 24 kV Gleichspannungsanteil DC-component 12 kV HF-Strom, Effektivwert } f ≤ 30 MHz 40 A RF-current, RMS-value } f = 100 MHz 20 A	Anschlußkappe Connection cap 30 361 Zwischenkappe Intermediate cap 30 362 Gewicht · Weight ca. 650 g	
RK 100 	100 pF ± 5%	Spitzenspannung Peak voltage 24 kV Gleichspannungsanteil DC-component 12 kV HF-Strom, Effektivwert } f ≤ 30 MHz 40 A RF-current, RMS-value } f = 100 MHz 20 A	Anschlußkappe Connection cap 30 361 Zwischenkappe Intermediate cap 30 362 Gewicht · Weight ca. 750 g	
RK 200 	200 pF ± 5%	Spitzenspannung Peak voltage 24 kV Gleichspannungsanteil DC-component 12 kV HF-Strom, Effektivwert } f ≤ 30 MHz 40 A RF-current, RMS-value } f = 100 MHz 20 A	Anschlußkappe Connection cap 30 361 Zwischenkappe Intermediate cap 30 362 Gewicht · Weight ca. 950 g	
RK 500 	500 pF ± 10%	Spitzenspannung Peak voltage 24 kV Gleichspannungsanteil DC-component 12 kV HF-Strom, Effektivwert } f ≤ 30 MHz 80 A RF-current, RMS-value } f = 100 MHz 50 A	Anschlußkappe Connection cap 30 363 Zwischenkappe Intermediate cap 30 364 Gewicht · Weight ca. 2200 g	
RK 1000 	1000 pF ± 10%	Spitzenspannung Peak voltage 24 kV Gleichspannungsanteil DC-component 12 kV HF-Strom, Effektivwert } f ≤ 30 MHz 80 A RF-current, RMS-value } f = 100 MHz 50 A	Anschlußkappe Connection cap 30 363 Zwischenkappe Intermediate cap 30 364 Gewicht · Weight ca. 3900 g	

This list is up to date for all the types we are interested in (see item 9, 1961/62) EQU

TELEFUNKEN

Äquivalenz- und Austauschliste · Equivalent types

Direkt austauschbare Typen · Direct replacement types

Type	Äquivalente TELEFUNKEN- Type	Type	Äquivalente TELEFUNKEN- Type	Type	Äquivalente TELEFUNKEN- Type
AG 5209	STV 85/10	CV 2792	2 K 25	PL 6569	RS 630
AG 5210	STV 108/30	CV 2901	EF 86	QB 3/300	RS 685
AG 5211	STV 150/30	CV 2975	EL 84	QB 3,5/750	RS 686
ASG 5121	2 D 21	CV 2984	6080	QB 5/1750	RS 687
ASG 5696	5696	CV 3512	5696	QY 3-125	RS 685
ASG 5823	5823	CV 3522	RS 687	QY 4-250	RS 686
ASG 5823 A	5823 A	CV 3998	E 180 F	QY 5-500	RS 687
ASG OA-4	OA 4-G	CV 4003	ECC 802 S	RGQZ 1,4/0,4	RG 105
B 1135	RS 630	CV 4004	ECC 803 S	RHK 6332	723 A/B
C 1108	RS 685	CV 4007	EAA 901 S	RS 1002	RS 686
C 1112	RS 686	CV 4009	6 BA 6 W	RS 1006	RS 613
CC α	E 88 CC	CV 4010	5654 / 6 AK 5 W	RS 1006 B	RS 614
CK 546 DX	DL 651	CV 4016	ECC 802 S	RS 1007	RS 685
CK 549 DX	DF 651	CV 4019	6005	RS 1016	RS 631
CK 5672	5672	CV 4020	OA 2 WA	RS 1041 V	RS 867
CK 5678	5678	CV 4024	ECC 801 S	RS 1041 W	RS 567
CK 5886	DF 703	CV 4028	OB 2 WA	RS 2001 V	RS 865
CV 449	OG 3	CV 4032	ECC 802 S	RS 2001 W	RS 565
CV 455	ECC 801 S	DF 60	5678	SR 2	STV 85/10
CV 491	ECC 802 S	DF 62	1 AD 4	SR 3	STV 108/30
CV 492	ECC 803 S	DL 620	5672	Ste 1300/01/05	2 D 21
CV 753	1 A 3	E 81 CC	ECC 801 S	T 54 P 1	DG 13-58
CV 797	2 D 21	E 82 CC	ECC 802 S	T 54 P 2	DN 13-58
CV 1350	RS 630	E 83 CC	ECC 803 S	T 54 P 11	DB 13-58
CV 1351	RS 631	E 86 C	EC 806 S	TB 2,5/300	RS 613
CV 1741	EL 34	E 91 AA	EAA 901 S	TB 2,5/400	RS 614
CV 1795	723 A/B	E 91 H	EH 900 S	TB 3/750	RS 630
CV 1832	OA 2	E 95 F	5654	TB 4/1250	RS 631
CV 1833	OB 2	ECC 960	E 90 CC	TB 5/2500	RS 635
CV 2128	ECH 81	ECC 962	E 92 CC	TH 2225	2 K 25
CV 2130	RS 685	EF 861	E 180 F	TS 49	C 3 m
CV 2132	FZ 9011 V	KS 9-20	723 A/B	TY 2-125	RS 613
CV 2133	FZ 9012 G	KS 9-20 A	2 K 25	TY 3-250	RS 630
CV 2134	FZ 9012 V	M 8100	6 AK 5 W	TY 4-500	RS 631
CV 2237	1 AD 4	M 8137	ECC 803 S	Z 729	EF 86
CV 2238	5672	ME 1100	723 A/B	1 EP 1	DG 3-12 A
CV 2239	5676	OA 2	STV 150/30	1 U 4	DF 904
CV 2254	5678	OB 2	STV 108/30	2 C 39 B	2 C 39 BA
CV 2270	FZ 9011 G	OG 3	STV 85/10	3 ACP 1	DG 7-14
CV 2516	2 C 39 A	PL 21	2 D 21	3 ACP 7	DP 7-14
CV 2643	2 C 40	PL 1267	OA 4-G	3 ACP 11	DB 7-14

Type	Äquivalente TELEFUNKEN- Type	Type	Äquivalente TELEFUNKEN- Type	Type	Äquivalente TELEFUNKEN- Type
3 JP 1	DG 7-14	6 AL 5 W	EAA 901 S	5868	RS 631
3 JP 7	DP 7-14	6 AQ 5 W	6005	5915	EH 900 S
3 JP 11	DB 7-14	6 CA 7	EL 34	5920	E 90 CC
4 D 21	RS 685	6 CK 6	EL 803	6057	ECC 803 S
4-125 A	RS 685	12 AT 7 WA	ECC 801 S	6060	ECC 801 S
4-250 A	RS 686	12 AU 7 WA	ECC 802 S	6067	ECC 802 S
5 A/170 K	E 180 F	85 A 2	STV 85/10	6079	RS 687
5 BHP 1	DG 13-58	90 AG	FZ 9011 G	6155	RS 685
5 BHP 2	DN 13-58	90 AV	FZ 9011 V	6156	RS 686
5 BHP 11	DB 13-58	90 CG	FZ 9012 G	6189	ECC 802 S
5 D 22	RS 686	90 CV	FZ 9012 V	6201	ECC 801 S
5 FP 7	MP 13-39	108 C 1	STV 108/30	6267	EF 86
5 FP 19	MF 13-39	150 C 2	STV 150/30	6681	ECC 803 S
5 TO 1 A	MF 13-39	5726	EAA 901 S	6687	EH 900 S
5 TO 3 A	MF 13-39	5749	6 BA 6 W	6688	E 180 F
5 YP 1	DG 13-54	5814 A	ECC 802 S	6922	E 88 CC
5 YP 7	DP 13-54	5814 WA	ECC 802 S	7092	RS 635
5 YP 11	DB 13-54	5866	RS 613	55390	2 K 25
6 AK 5 W	5654	5867	RS 630	55391	723 A/B

Die RS 614 kann anstelle der RS 613 und der entsprechenden äquivalenten Fremd­röhren ohne Änderung verwendet werden, nicht aber umgekehrt.

Furthermore the type RS 614 may be used without any modification instead of our tube RS 613 and its equivalent types, but not vice versa.

Die eingeklammerten Mikrowellenröhren sind nahezu äquivalent und können im allgemeinen ohne wesentliche Änderung ausgetauscht werden.

The micro wave tubes in brackets are almost equivalent and in most cases they can be exchanged without modification.

2 K 56 (TK 8) 3 CX 100 A 5 (2 C 39 BA) 3 X 100 A 5 (2 C 39 A) 5976 (TK 6)

Kurzzeichen für Elektrodenanschlüsse

a	Anode
d	Dioden-Anode
f	Heizfadenanschluß
f_m	Heizfaden-Mitte
+f	positiver Heizfadenanschluß
-f	negativer Heizfadenanschluß
g	Gitter
k	Kathode
L	Leuchtschirm für Abstimmanzeigeröhre
m	äußere Abschirmung
pk_1, pk_2	kathodennahe Ablenkplattenpaar
ps_1, ps_2	schirmnahe Ablenkplattenpaar
r_g	Raumladegitter
s	innere Abschirmung
S	Schirm bei Oszillographen- und Fernsehbild-Röhren
st	Starter Steuersteg

Durch arabische Ziffern als Indizes werden mehrere Gitter (Anoden) desselben Systems in der Reihenfolge von der Kathode zur Anode bezeichnet. Durch hinzugefügte römische Ziffern werden bei Verbundröhren mit gleichwertigen Systemen (ECC 85) die Elektroden der einzelnen Systeme unterschieden.

Bei Verbundröhren mit unterschiedlichen Systemen (ECH 81) dagegen werden die Elektroden der einzelnen Systeme durch hinzugefügte große Buchstaben gekennzeichnet. Dabei bedeuten

H	Heptode/Hexode
L	Leuchtsystem
P	Pentode
T	Triode
Te	Tetrode

Kurzzeichen für Spannungen

$U_{=}$	von einem Gleichrichter gelieferte Gleichspannung
U_a	Gleichspannung zwischen Anode und Kathode
$U_{a\sim}$	Wechselspannung zwischen Anode und Masse
U_{aB}	Brennspannung (Anode-Kathode)
U_{ag2}	Gleichspannung Anode und Schirmgitter gegen Kathode bei Pentoden, die als Trioden geschaltet sind
U_{asp}	Anodenspitzenspannung
U_{aZ}	Anodenzündspannung
U_{ao}	Anodenkaltspannung, Gleichspannung, die entweder im nichtgeheizten Zustand und/oder im gesperrten Zustand der Röhre ($I_a = 0$ mA) zwischen Anode und Kathode stehen darf
$U_{a1/psp}$	Spitzenspannung zwischen Anode 1 und einer Ablenkplatte bei Oszillographenröhren

Symbols for electrodes

plate
diode-plate
filament terminal
filament center tap
positive filament terminal
negative filament terminal
grid
cathode
target
external shield
cathode-side deflection plates (D_2, D_4 plates)
screen-side deflection plates (D_1, D_2 plates)
space-charge-grid
internal shield
fluorescent-screen of cathode-ray and TV kinescope tubes
starter
ray control electrode

Arabic numbers as index indicate the order of several grids (plates) of the same tube section, counting from the cathode to the plate. Roman numbers are added to distinguish between electrodes in multi-unit tubes with equivalent sections.

The electrodes of composite tubes consisting of different sections, however, are indicated by added capital letters. They designate

heptode/hexode
magic eye section
pentode
triode
tetrode

Symbols for voltages

DC-voltage supplied by a rectifier
DC-voltage between plate and cathode
signal-voltage between plate and ground
operating voltage in gas-filled tubes (plate-cathode)
DC-voltage between plate and screen-grid and cathode in pentodes connected as triodes
plate peak voltage
plate breakdown voltage
cold-cathode plate voltage, the DC-voltage allowed between plate and cathode of the unheated tube and/or the tube operation under plate-current cutoff condition ($I_a = 0$ mA)
peak voltage between plate 1 and one deflection plate of cathode-ray tubes

U_{a1a}	Anodenspannung, Astigmatismuskorrektur	astigmatism control voltage
U_{a1b}	Geometriekorrekturspannung	voltage for adjustment of pattern
U_{a1c}	Linearitätskorrekturspannung	voltage for adjustment of deflection uniformity
U_{a2}	Gesamtbeschleunigungsspannung	total acceleration voltage
U_b	Betriebsspannung bzw. Speisespannung, Gleichspannung, die der Röhre R_a oder R_{g2} oder R_{g2g4} zugeführt wird	supply voltage, i.e. the DC-voltage applied directly to the tube or the plate load or series dropping resistor
U_c	Auffängerspannung	collector voltage
U_d	Diodenspannung	diode plate voltage
U_{de}	Diodenstrom-Einsatzpunkt ($I_d \leq +0,3 \mu A$)	diode current starting point ($I_d \leq +0,3 \mu A$)
U_{dsp}	Diodenspitzenspannung	diode plate peak voltage
$U_{e\sim}$	Eingangswechselspannung	input AC-voltage
U_f	Heizspannung	heater or filament voltage
U_{fk}	Spannung zwischen Faden und Kathode	voltage between heater and cathode
U_{fksp}	Spitzen-spannung zwischen Faden und Kathode	peak voltage between heater and cathode
U_g, U_{g1}	Vorspannung des Gitter 1	grid bias 1
U_{g1e}	Gitterstrom-Einsatzpunkt ($I_{g1} \leq +0,3 \mu A$)	contact potential ($I_{g1} \leq +0,3 \mu A$)
$U_{g1\sim} (N)$	Wechselspannung in V_{eff} am Gitter 1 zum Erzielen der angegebenen Sprechleistung	signal rms volts required at grid 1 to obtain given power output
$U_{g1\sim} (50 mW)$	Empfindlichkeit, notwendige Gitterwechselspannung in V_{eff} für 50 mW Ausgangsleistung	power sensitivity, the necessary AC-signal voltage at the grid in volts rms to obtain 50 mW power output
$U_{g\sim sp}, U_{g1\sim sp}$	Wechselspannung (Spitze) am Gitter 1	signal peak voltage
$U_{g2...7}$	Gleichspannung, die zwischen Gitter 2...7 und Kathode gemessen wird	DC-voltage measured between grids 2...7 and cathode
U_{g20}	Schirmgitterkaltspannung, Gleichspannung, die entweder im nichtgeheizten Zustand und/oder im gesperrten Zustand der Röhre ($I_a = 0 mA$) zwischen Schirmgitter und Kathode stehen darf	cold-cathode screen-grid voltage, the DC-voltage allowed between the screen-grid and the cathode of the unheated tube and/or the tube operating under plate-current cutoff condition
U_{gsperr}	negative Gittervorspannung für Fernsehbild- und Oszillographenröhren, bei der der nichtabgelenkte, aber fokussierte Leuchtfleck verschwindet	negative grid bias for TV kinescope and cathode-ray tubes necessary to make an undeflected but focussed light spot disappear
U_h	Wendelspannung	helix voltage
U_{HF}	Hochfrequenzspannung	RF-voltage
U_L	Leuchtschirmspannung bei Abstimmanzeigeröhren	target voltage (of magic eye tubes)
U_{Lo}	Leuchtschirm-Kaltspannung	cold-cathode target voltage
U_o	Resonator-Gleichspannung	DC-resonator voltage
U_R	Reflektor-Gleichspannung	DC-reflector voltage
U_{rg}	Spannung am Raumladegitter	voltage of the space-charge grid
U_{st}	Starterspannung	starter voltage
U_{st}	Spannung am Steuersteg von Abstimmanzeigeröhren	ray control voltage
U_{stB}	Brennspannung (Starter-Kathode)	conducting voltage (starter-cathode)
U_{stsp}	Startersteuerspannung	starter control voltage
U_{stZ}	Starterzündspannung	starter breakdown voltage
U_{Tr}	Trafospannung in V_{eff}	transformer voltage in rms volts
U_W	Wehneltspannung	voltage of the Wehnelt cylinder

Kurzzeichen für Ströme

I_a	Anodenstrom
$I_{a\text{ ausgest.}}$	Anodenstrom, der bei Aussteuerung fließt
I_{a+g2}	Strom von Anode und Schirmgitter bei Pentoden, die als Trioden geschaltet sind

Symbols for current values

I_a	plate current
$I_{a\text{ ausgest.}}$	maximum signal plate current
I_{a+g2}	current of plate and screen-grid of pentodes connected as triodes

I_{ao}	Anodenruhestrom, der bei Röhren, z. B. in Gegentakt-B-Schaltung, in nichtausgesteuertem Betriebszustand ($U_{g1\sim} = 0\text{ V}$) fließt	zero signal current flowing e.g. in tubes operating as push-pull class B amplifiers under zero signal condition ($U_{g1\sim} = 0\text{ V}$)
I_{asp}	Anodenspitzenstrom	peak plate current
I_c	Auffängerstrom	collector current
I_d	Diodenstrom	diode plate current
I_{dsp}	Diodenspitzenstrom	diode peak plate current
I_f	Heizstrom	heater or filament current
I_{g2}	Schirmgitterstrom	screen-grid current
I_{g2+g4}	Strom des Gitter 2 + Strom des Gitter 4	current of grid 2 + current of grid 4
$I_{g2\text{ ausgest.}}$	Schirmgitterstrom ausgesteuert	maximum-signal grid 2 current
I_{g2o}	Schirmgitterruhestrom	screen-grid current flowing under zero signal condition
I_{gT+g3}	Gitterstrom der Triode + Gitter 3-Strom der Hexode bei Oszillator/Mischer, z. B. ECH 81	grid current of the triode section + current of grid 3 of the hexode section of converter tubes e.g. ECH 81
I_h	Wendelstrom	helix current
I_k	Kathodenstrom	cathode current
I_0	Dunkelstrom bei Photozellen	dark current in photo tubes
I_o	Resonatorstrom	resonator current
I_s	Schirmstrom bei Fernsehbild- bzw. Oszillographenröhren	fluorescent screen current of TV kinescope and/or cathode-ray tubes
I_{st}	Starterstrom	starter current
$I_{=}$	von einem Gleichrichter gelieferter Strom	DC-current delivered by rectifier

Kurzzeichen für Widerstände

R	Schutzwiderstand bei Gleichrichterröhren, Minimalwert	(safety) protection resistor for rectifier tubes, minimum value
R_a	Außenwiderstand	load resistance
R_{aa}	Außenwiderstand bei Gegentaktstufen von Anode zu Anode	load resistance for push-pull amplifiers (plate to plate)
r_{aeq}	äquivalenter Gitterauschwiderrstand	equivalent noise resistance
R_{ag2}	für Anode und Schirmgitter gemeinsamer Außenwiderstand bei Pentoden, die als Trioden geschaltet sind	common load resistance for plate and screen-grid of pentodes connected as triodes
r_o	Eingangswiderstand	input resistance
r_{e100}	Eingangswiderstand bei 100 MHz	input resistance for 100 Mc/s
R_{g}, R_{g1}	Gitterableitwiderstand	grid resistance
R_{g1}'	Gitterableitwiderstand der folgenden Stufe	grid resistance for next stage
R_{g2}	Schirmgittervorwiderstand	grid 2 series dropping resistor
R_{g2g4}	gemeinsamer Schirmgittervorwiderstand für Gitter 2 und Gitter 4	common screen-grid resistance for screen-grid 2 and 4
R_{gTg3}	gemeinsamer Gitterableitwiderstand von Gitter (Triode) und Gitter 3 (Hexode) bei Mischstufen	common grid resistance for grid of the triode section and grid 3 of the hexode section
R_i	Innenwiderstand	plate resistance
R_k	Kathodenwiderstand	cathode resistor
R_p	Plattenableitwiderstand bei Oszillographenröhren	resistance in deflecting electrode for cathode-ray tubes
R_{sieb}	Sieb-widerstand bei NF-Vorstufen	filter resistance at AF-pre-stages
R_{\sim}	Wechselstromwiderstand	AC-resistance
Z_{g1}	Wechselstromwiderstand an Gitter 1	impedance to grid 1

Kurzzeichen für Leistungen

N	Sprechleistung von Endröhren
N (10%)	Sprechleistung von Endröhren bei k = 10%
N _a	Anodenbelastung
N _c	Auffängerbelastung
N _{g2}	Schirmgitterbelastung
N _{g2 + g4}	Schirmgitterbelastung bei Heptoden
N _h	Wendelbelastung
Q _a	Anodenverlustleistung, Q _a = N _a - N
Q _{g1}	Steuergitterverlustleistung
Q _{g2}	Schirmgitterverlustleistung

Sonstige Kurzzeichen

AF _{pk}	Ablenkfaktor des kathodennahen Ablenkplattenpaares in V/cm
AF _{ps}	Ablenkfaktor des schirmnahen Ablenkplattenpaares in V/cm
b	Bandbreite
D	Anodendurchgriff = $\frac{1}{\mu}$
D ₂	Schirmgitterdurchgriff = $\frac{1}{\mu_{g2g1}}$
DF _{pk}	Ablenkfaktor des kathodennahen Ablenkplattenpaares in V/inch.
DF _{ps}	Ablenkfaktor des schirmnahen Ablenkplattenpaares in V/inch.
F	Rauschzahl, Rauschfaktor
F	Kathodenfläche
k	Klirrfaktor, Klirrgrad
K	Koppelfaktor
s	Empfindlichkeit bei Photozellen
S	Steilheit im angegebenen Arbeitspunkt
S _c	Mischsteilheit, bestimmt durch den Zwischenfrequenzstrom im Anodenkreis, bezogen auf eine HF-Eingangsspannung von 1 V _{eff}
S _{eff}	mittlere Steilheit beim Arbeiten auf der gesamten Kennlinie einer Röhre, z. B. beim Schwingbetrieb
S _o	Anschwingsteilheit, U _g = 0 V
t _{amb}	Umgebungstemperatur
t _d	Entionisierungszeit
T _{Farbe}	Farbtemperatur
t _{Heizung}	Anheizzeit
t _i	Ionisationszeit
t _{Kolben}	Kolbentemperatur
V	Verstärkung U _{a~} /U _{g1~} , z. B. bei Widerstandsverstärker-Schaltungen
μ	Verstärkungsfaktor = $\frac{1}{D}$
μ _{g2g1}	Verstärkungsfaktor Gitter 2/Gitter 1 = $\frac{1}{D_2}$
τ	Integrationszeit

Symbols for power values

AF-power output of power tubes
AF-power output of power tubes at a distortion of 10%
plate input
collector dissipation
screen-grid input
screen-grid 2 + 4 input
helix dissipation
plate dissipation
control-grid dissipation
screen-grid dissipation

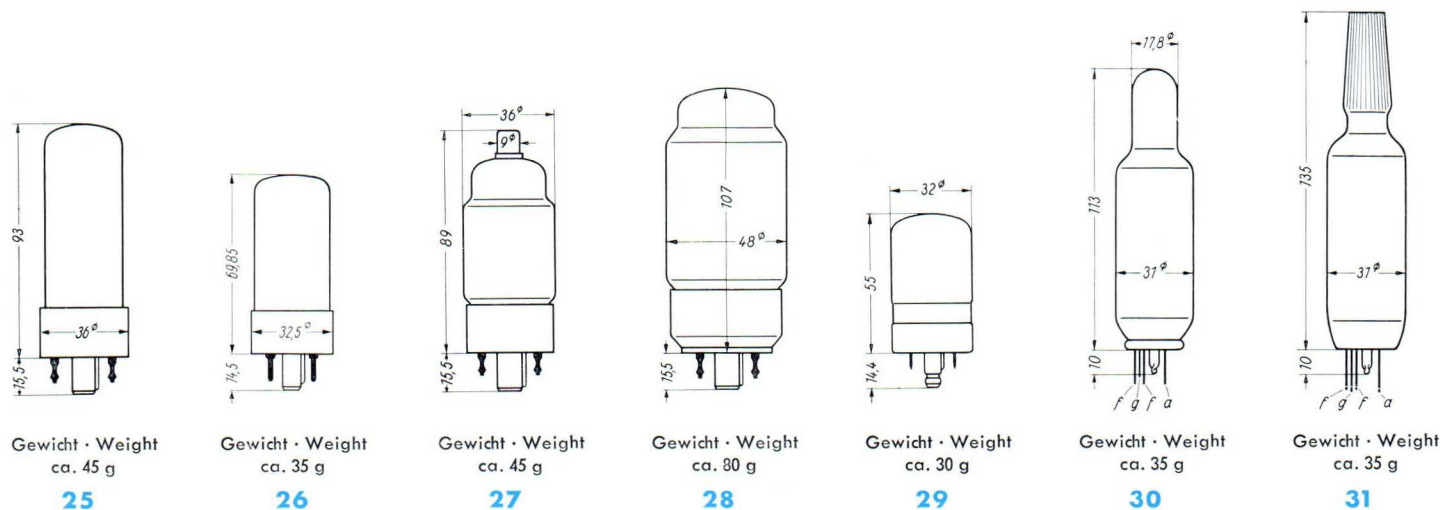
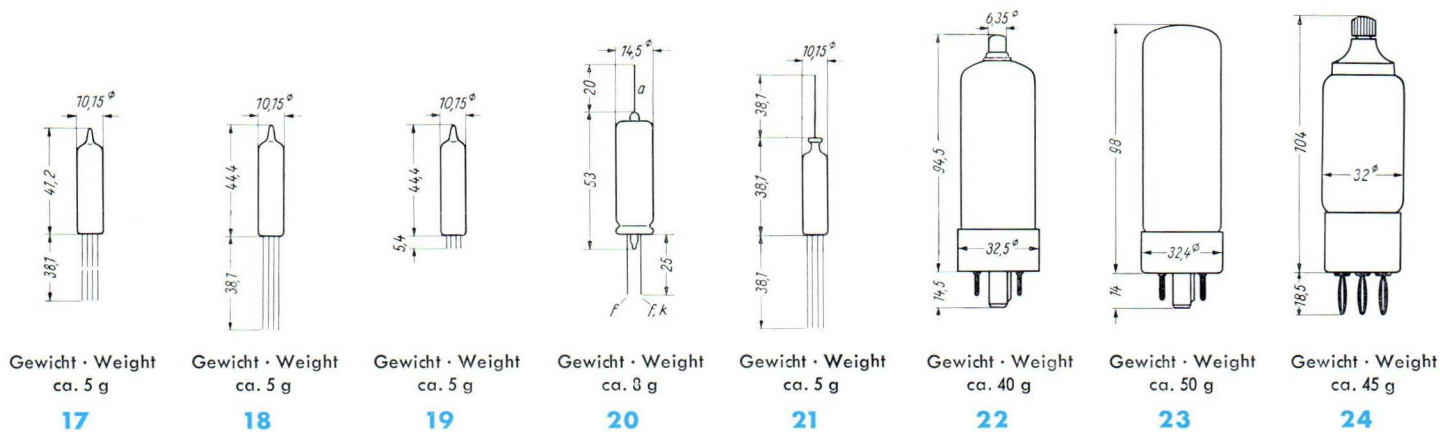
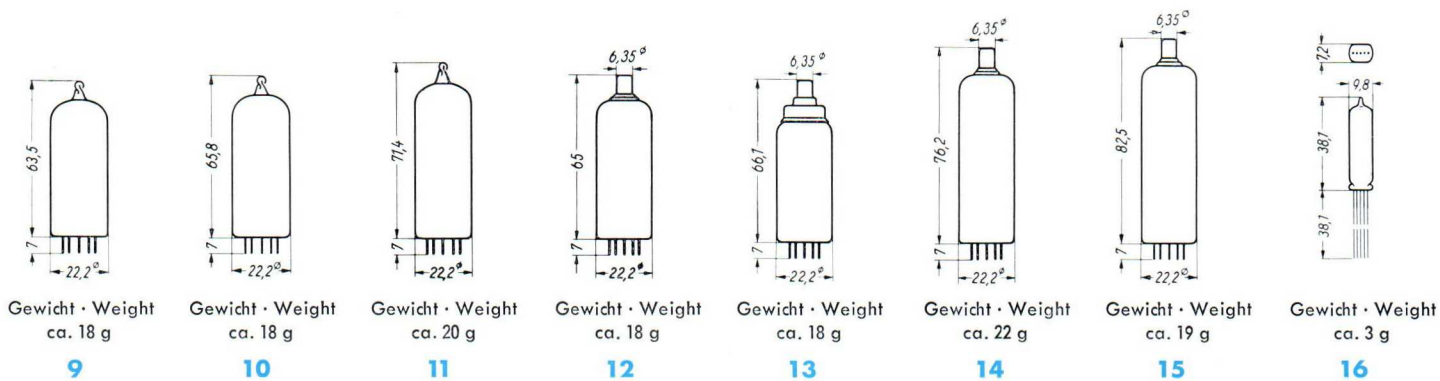
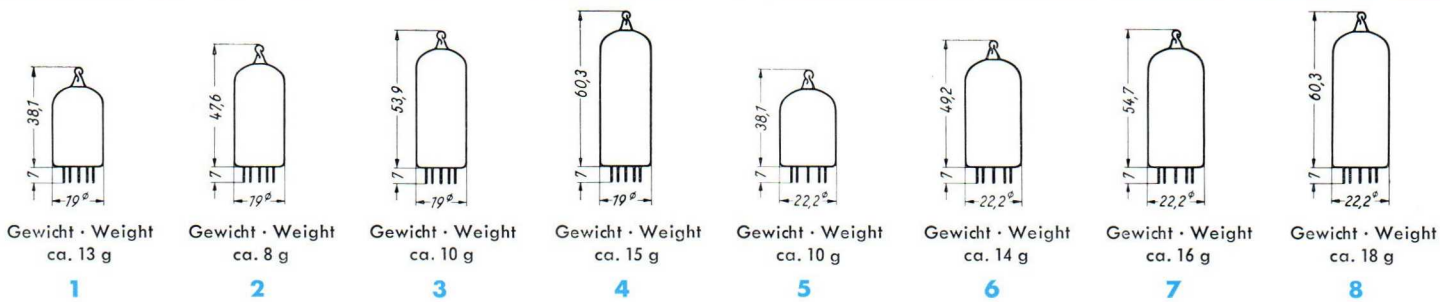
Other symbols

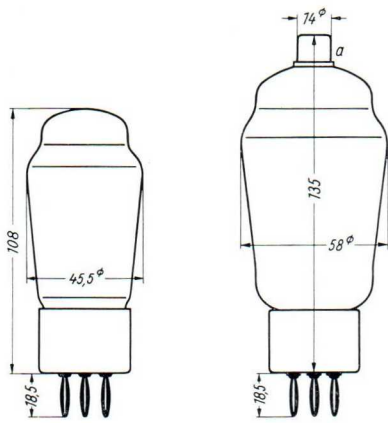
deflection factor of the cathode-side deflection plates in V/cm
deflection factor of the screen-side deflection plates in V/cm
bandwidth
reciprocal of amplification factor = $\frac{1}{\mu}$
reciprocal of amplification factor of grid 2/grid 1 = $\frac{1}{\mu_{g2g1}}$
deflection factor of the cathode-side deflection plates in V/inch.
deflection factor of the screen-side deflection plates in V/inch.
noise factor
cathode surface
distortion percentage
coupling factor
sensitivity of photo tubes
mutual conductance at the given operating point
conversion transconductance as fixed by the IF-current in the plate circuit for a RF-signal voltage of 1 V rms
medium transconductance when operating on the entire characteristic of a tube e.g. when operating as an oscillator
oscillation build-up transconductance, U _g = 0 V
ambient temperature
deionisation time
colour temperature
warm-up time
ionisation time
bulb temperature
voltage gain U _{a~} /U _{g1~} , e.g. for resistance coupled amplifiers
amplification factor = $\frac{1}{D}$
amplification factor of grid 2/grid 1 = $\frac{1}{D_2}$
integration time

Abmessungen · Outlines

Anschlußkappen sind in Nenn-Maßen angegeben.
Alle anderen Maße sind Maximal-Maße.
Sämtliche Maße in mm.

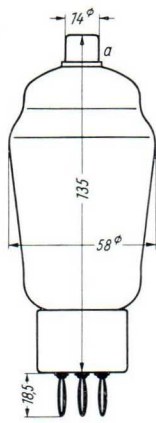
Connection caps are stated in nominal dimensions.
All other dimensions are maximal dimensions.
All dimensions in mm.





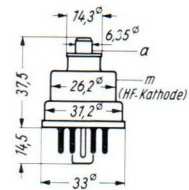
Gewicht · Weight
ca. 55 g

32



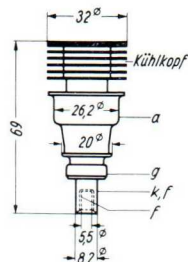
Gewicht · Weight
ca. 80 g

33



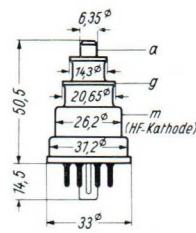
Gewicht · Weight
ca. 35 g

34



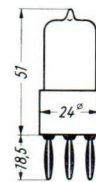
Gewicht · Weight
ca. 85 g

35



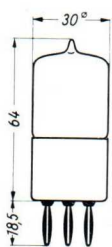
Gewicht · Weight
ca. 45 g

36



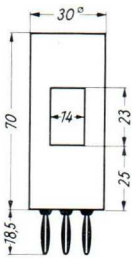
Gewicht · Weight
ca. 15 g

37



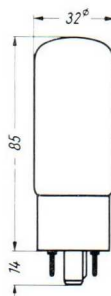
Gewicht · Weight
ca. 25 g

38



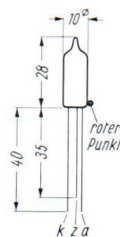
Gewicht · Weight
ca. 70 g

39



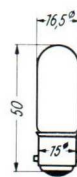
Gewicht · Weight
ca. 35 g

40



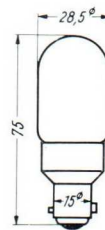
Gewicht · Weight
ca. 3 g

41



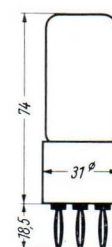
Gewicht · Weight
ca. 10 g

42



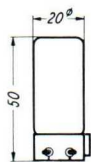
Gewicht · Weight
ca. 30 g

43



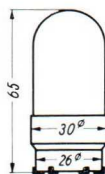
Gewicht · Weight
ca. 30 g

44



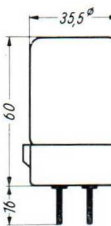
Gewicht · Weight
ca. 10 g

45



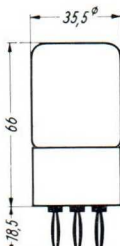
Gewicht · Weight
ca. 35 g

46



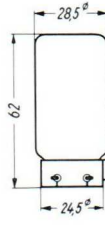
Gewicht · Weight
ca. 40 g

47



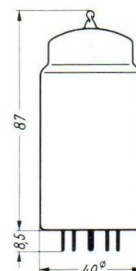
Gewicht · Weight
ca. 40 g

48



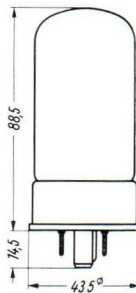
Gewicht · Weight
ca. 20 g

49



Gewicht · Weight
ca. 45 g

50



Gewicht · Weight
ca. 85 g

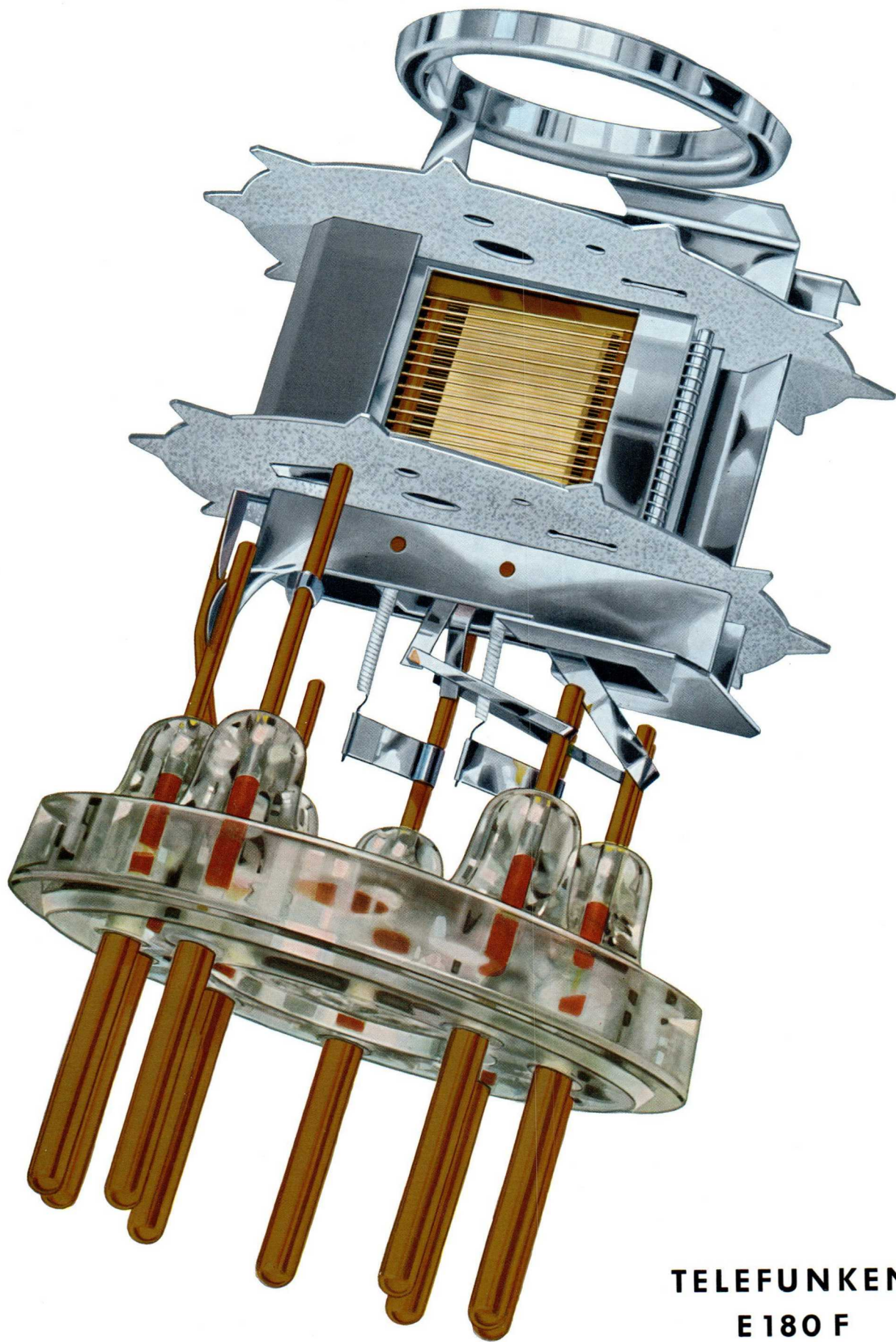
51

DIN-Bezeichnungen zu den Röhren-Abbildungen

DIN-denotation of the tubes figures

- 1** Nenngröße 28 nach DIN 41 537 (Form A)
nominal size 28 according to DIN 41 537 (form A)
- 2** Nenngröße 38 nach DIN 41 537 (Form A)
nominal size 38 according to DIN 41 537 (form A)
- 3** Nenngröße 44 nach DIN 41 537 (Form A)
nominal size 44 according to DIN 41 537 (form A)
- 4** Nenngröße 50 nach DIN 41 537 (Form A)
nominal size 50 according to DIN 41 537 (form A)
- 5** Nenngröße 28 nach DIN 41 539 (Form A)
nominal size 28 according to DIN 41 539 (form A)

- 6** Nenngröße 40 nach DIN 41 539 (Form A)
nominal size 40 according to DIN 41 539 (form A)
- 7** Nenngröße 45 nach DIN 41 539 (Form A)
nominal size 45 according to DIN 41 539 (form A)
- 8** Nenngröße 50 nach DIN 41 539 (Form A)
nominal size 50 according to DIN 41 539 (form A)
- 11** Nenngröße 62 nach DIN 41 539 (Form A)
nominal size 62 according to DIN 41 539 (form A)
- 12** Nenngröße 50 nach DIN 41 539 (Form B)
nominal size 50 according to DIN 41 539 (form B)
- 14** Nenngröße 62 nach DIN 41 539 (Form B)
nominal size 62 according to DIN 41 539 (form B)



TELEFUNKEN
E 180 F



Die deutsche Weltmarke

